

İSTANBUL TEKNİK ÜNİVERSİTESİ ★ FEN BİLİMLERİ ENSTİTÜSÜ

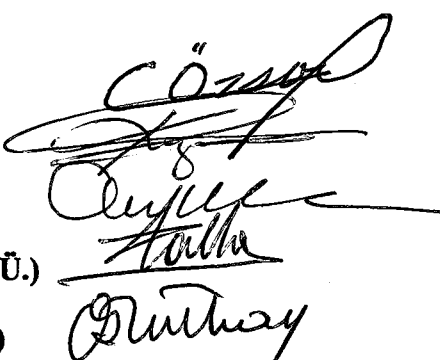
126698

**PNÖMATİK BİR SİSTEMİN DENEYSEL  
MODELLENMESİ VE SİMÜLASYONU**

**DOKTORA TEZİ  
Y. Müh. Ahmet ZORLU  
(503920034012)**

**Tezin Enstitüye Verildiği Tarih : 6 Şubat 2002  
Tezin Savunulduğu Tarih : 19 Haziran 2002**

**Tez Danışmanı :** Prof.Dr. Can ÖZSOY  
**Diğer Jüri Üyeleri** Prof.Dr. Ahmet KUZUCU (İ.T.Ü.)  
Prof.Dr. N. Aydın HIZAL (İ.T.Ü.)  
Prof.Dr. A. Talha DİNİBÜTÜN (D.Ü.)  
Prof.Dr. Osman S. TÜRKAY (B.Ü.)



HAZİRAN 2002

126698

## **ÖNSÖZ**

Endüstride yaygın bir kullanım alanı bulunan pnömatik teknolojisile hassas kontrol uygulamalarına yönelik araştırmalar son yıllarda önemli artış göstermektedir. Kontrol edilecek sistemin modelinin, yapısının ve parametrelerinin iyi bilinmesi hassas kontrolun başarısını artıracaktır. Bu sebeple; bu çalışmada deneysel olarak bir pnömatik sistemin modellenmesi, tanılanması ve simülasyonu konusu araştırılmaktadır.

Bu konuda çalışmamı öneren ve çalışmanın her safhasında bana destek olan, yönlendiren değerli hocam Sayın Prof.Dr. Can ÖZSOY'a teşekkürlerimi sunarım.

Bu çalışmadan önce yapılan çalışmalarla tesis edilen deney düzeneğinin kurulması ve geliştirilmesine önyayak olan hocam Sayın Prof.Dr. Ahmet KUZUCU'ya, SMC ENTEK firması yetkililerine, titizlikle uğraşarak hem elektronik hemde mekanik olarak hassas bu düzeneği çalışır hale getiren Ar. Gör. Y. Müh. İlker Murat KOÇ'a ve Y. Müh. Murat BÜYÜKSAVCI'ya, her türlü laboratuvar kolaylığını sağlayan başta Ar. Gör. Y. Müh. Ertan ÖZNERGİZ ve Ar. Gör. Y. Müh. Bülent BÖLAT olmak üzere tüm laboratuvar personeline, tezin yazımındaki yardımlarından ötürü Y. Müh. Mustafa BOSTANOĞLU'na teşekkür ederim.

Şubat 2002

Ahmet ZORLU

## **İÇİNDEKİLER**

<b>KISALTMALAR</b>	<b>v</b>
<b>TABLO LİSTESİ</b>	<b>vi</b>
<b>ŞEKİL LİSTESİ</b>	<b>vii</b>
<b>SEMBOL LİSTESİ</b>	<b>ix</b>
<b>ÖZET</b>	<b>xii</b>
<b>SUMMARY</b>	<b>xiii</b>
<b>1. GİRİŞ</b>	<b>1</b>
<b>1.1. Giriş</b>	<b>1</b>
<b>1.2. Pnömatik Sistemlere Yönlik Çalışmalar</b>	<b>3</b>
<b>2. PNÖMATİK DENEY SİSTEMİNİN TANITIMI</b>	<b>5</b>
<b>2.1. Giriş</b>	<b>5</b>
<b>2.2. Silindir</b>	<b>5</b>
<b>2.3. Oransal Basınç Kontrol Valfleri</b>	<b>6</b>
<b>2.4. Ölçme Sistemi</b>	<b>8</b>
<b>2.4.1. Konum Ölçümü</b>	<b>8</b>
<b>2.4.2. Basınç Ölçümü</b>	<b>9</b>
<b>2.5. Sistemin Bilgisayarla Bağlantısı Ve Arayüzler</b>	<b>9</b>
<b>2.5.1. Bilgisayar</b>	<b>9</b>
<b>2.5.2. Endüstriyel Kart</b>	<b>10</b>
<b>2.5.3. Sinyal Bölme Kartı</b>	<b>11</b>
<b>2.5.4. DAC Kartı</b>	<b>13</b>
<b>2.5.5. Analog Anti-aliasing Filtre Kartı</b>	<b>13</b>
<b>2.5.6. Ana Dağıtım Kartı</b>	<b>17</b>
<b>2.5.7. Pnömatik Deney Sistemi Genel Yapısı</b>	<b>18</b>
<b>3. VERİ TOPLAMA VE İŞLEME</b>	<b>20</b>
<b>3.1. Giriş</b>	<b>20</b>
<b>3.2. Örnekleme Teoremi</b>	<b>20</b>
<b>3.3. Analog Anti-aliasing Filtreleri</b>	<b>23</b>
<b>3.4. A/D Çeviriciler</b>	<b>25</b>
<b>3.5. Sayısal Alçak Geçiren Filtreler</b>	<b>27</b>
<b>3.6. Sayısal Türev Ahıclar</b>	<b>31</b>
<b>3.7. Desimatörler</b>	<b>34</b>
<b>4. PNÖMATİK SİSTEMİN MATEMATİK MODELİ</b>	<b>36</b>
<b>4.1. Giriş</b>	<b>36</b>
<b>4.2. Silindir Modeli</b>	<b>36</b>
<b>4.3. Basınç Modeli</b>	<b>38</b>
<b>4.4. Valf Modeli</b>	<b>43</b>
<b>4.5. Silindir, Basınç Ve Valf Modellerinin Deney Düzeneğine Uygulanması</b>	<b>45</b>

<b>5. SİSTEM TANILAMA VE MODELLEME</b>	<b>51</b>
<b>5.1. Giriş</b>	<b>51</b>
<b>5.2. Sistem Tanılamanın Uygulamaya Yönelik Ayrıntıları</b>	<b>52</b>
5.2.1. Örnekleme Frekansının Seçimi	52
5.2.2. PRBS Sinyali	52
5.2.3. Sinyal Şartlandırma	54
5.2.3.1. Giriş Ve Çıkışların Ölçeklendirilmesi	54
5.2.3.2. DC Bileşenlerin Yokedilmesi	54
<b>5.3. Sistem Tanılama İlkeleri</b>	<b>55</b>
<b>5.4. Model Karmaşıklığının Tahmini</b>	<b>57</b>
5.4.1. Gürültüsüz Sistemin Model Karmaşıklığının Tahmini	57
5.4.2. Beyaz Gürültülü Sistemin Model Karmaşıklığının Tahmini	58
<b>5.5. Parametre Uyum Algoritmaları</b>	<b>58</b>
5.5.1. Ardışık En Küçük Kareler Yöntemi (RLS)	59
5.5.2. Genişletilmiş En Küçük Kareler Yöntemi (ELS)	62
<b>5.6. Modelin Geçerliliği</b>	<b>63</b>
5.6.1. Beyazlık Testi	63
<b>6. PNÖMATİK SİSTEMİN TANILANMASI VE MODELLENMESİ</b>	<b>65</b>
<b>6.1. Giriş</b>	<b>65</b>
<b>6.2. Yükselme Zamanının Hesabı</b>	<b>66</b>
<b>6.3. Modelleme Örnekleme Periyodu</b>	<b>67</b>
<b>6.4. Sistem Tanılama İçin Giriş Sinyali</b>	<b>67</b>
<b>6.5. Verilerin Modelleme İçin Hazırlanması</b>	<b>69</b>
6.5.1. Faz Kaymalarının Düzeltilmesi	69
6.5.2. Sayısal Alçak Geçiren Filtreleme	70
6.5.3. Sayısal Türev Alma	70
6.5.4. Desimatör	72
<b>6.6. Basınç Modelleri</b>	<b>72</b>
<b>6.7. Hız Modeli</b>	<b>75</b>
<b>7. PNÖMATİK SİSTEMİN SİMÜLASYONU</b>	<b>78</b>
<b>7.1. Giriş</b>	<b>78</b>
<b>7.2. Pnömatik Simülasyon Modeli</b>	<b>78</b>
<b>8. SONUÇLAR VE ÖNERİLER</b>	<b>83</b>
<b>KAYNAKLAR</b>	<b>87</b>
<b>ÖZGEÇMİŞ</b>	<b>90</b>

## **KISALTMALAR**

<b>A/D</b>	: Analog/Digital
<b>D/A</b>	: Digital/Analog
<b>DAC</b>	: Digital to Analog Converter
<b>DC</b>	: Direct Current
<b>ELS</b>	: Extended Least Squares
<b>FIR</b>	: Finite Impulse Response
<b>MV</b>	: Mean Value
<b>PRBS</b>	: Pseudo Random Binary Sequences
<b>PWM</b>	: Pulse Width Modulation
<b>RLS</b>	: Recursive Least Squares

## TABLO LİSTESİ

	<u>Sayfa No</u>
<b>Tablo 4.1</b> Valflerin çalışma durumuna göre $P_{u1}$ , $P_{u2}$ , $P_{vc1}$ ve $P_{vc2}$ 'nin değerleri .....	48
<b>Tablo 4.2a</b> $u_1$ sinyaline karşılık gelen $P_{1ref}$ değerleri .....	48
<b>Tablo 4.2b</b> $u_2$ sinyaline karşılık gelen $P_{2ref}$ değerleri .....	48
<b>Tablo 4.3</b> Üçgen dalga dizisiyle elde edilen kuru sürtünme katsayıları .....	50
<b>Tablo 6.1a</b> $P_1$ parametrik basınç modeli .....	73
<b>Tablo 6.1b</b> $P_2$ parametrik basınç modeli .....	73
<b>Tablo 6.2a</b> Ayrik zamanlı $P_1$ basıncı durum-uzay gösterimi .....	73
<b>Tablo 6.2b</b> Ayrik zamanlı $P_2$ basıncı durum-uzay gösterimi .....	74
<b>Tablo 6.3</b> Parametrik hız modeli .....	76
<b>Tablo 6.4</b> Ayrik zamanlı hız modeli durum-uzay gösterimi .....	76

## **ŞEKİL LİSTESİ**

	<b>Sayfa No</b>
<b>Şekil 2.1</b> : Silindirin ayrıntıları .....	6
<b>Şekil 2.2</b> : Oransal basınç kontrol valfi çalışma ilkesi .....	7
<b>Şekil 2.3</b> : Oransal basınç kontrol valfi akım-basınç grafiği .....	7
<b>Şekil 2.4</b> : Oransal basınç kontrol valfi sinyal akışı .....	8
<b>Şekil 2.5</b> : PCL 812PG kartı ayrıntıları .....	11
<b>Şekil 2.6</b> : Sinyal bölme kartının işleyişi .....	12
<b>Şekil 2.7</b> : Sinyal bölme kartı .....	14
<b>Şekil 2.8</b> : DAC kartı ayrıntıları .....	14
<b>Şekil 2.9</b> : Anti-aliasing filtre ayrıntıları .....	14
<b>Şekil 2.10</b> : 4. mertebeden anti-aliasing filtre genlikler oranı ve faz açısı diyagramı .....	16
<b>Şekil 2.11</b> : 2. mertebeden anti-aliasing filtre genlikler oranı ve faz açısı diyagramı .....	16
<b>Şekil 2.12</b> : Ana dağıtım kartı ayrıntıları .....	17
<b>Şekil 2.13</b> : Pnömatik deney düzeneği genel yapısı .....	18
<b>Şekil 2.14a</b> : Pnömatik deney düzeneği ayrıntıları-1 .....	19
<b>Şekil 2.14b</b> : Pnömatik deney düzeneği ayrıntıları-2 .....	19
<b>Şekil 3.1</b> : Örnekleme sırasında oluşan aliasing etkisi .....	21
<b>Şekil 3.2</b> : Örneklenmiş bir işaretin aliasing olayı olmaksızın Fourier dönüşümü .....	22
<b>Şekil 3.3</b> : Örneklenmiş bir işaretin aliasing olayı varken Fourier dönüşümü .....	23
<b>Şekil 3.4</b> : İdeal anti-aliasing filtre .....	23
<b>Şekil 3.5</b> : Anti-aliasing filtre genlikler oranı ve faz açısı değişimi .....	24
<b>Şekil 3.6</b> : Kuantizasyon işlemi ve kuantizasyon hatası .....	26
<b>Şekil 3.7</b> : a) Aşağıya örnekleyici b) Desimatör .....	34
<b>Şekil 4.1</b> : Çubuksuz silindir dinamiği şematik gösterimi .....	36
<b>Şekil 4.2</b> : Sürtünme-hız ilişkileri: (a) viskoz sürtünme (b) kuru sürtünme .....	37
<b>Şekil 4.3</b> : Pnömatik bir kontrol hacminin basitçe gösterimi .....	38
<b>Şekil 4.4</b> : Daralan geçit (vena conrecta) .....	44
<b>Şekil 4.5</b> : Servovalflerle çubuksuz silindirin şematik diyagramı .....	45
<b>Şekil 4.6</b> : Kuru sürtünmeleri ölçmek amacıyla sisteme uygulanan üçgen dalga giriş .....	49
<b>Şekil 4.7</b> : Üçgen dalga girişe sistemin basınç ve konum olarak tepkileri .....	49
<b>Şekil 5.1</b> : N=5, L=31 olan PRBS sinyalinin üretimi .....	53
<b>Şekil 5.2</b> : PRBS'in en uzun darbesinin seçimi .....	53
<b>Şekil 5.3</b> : Parametre tanılama blok diyagramı .....	56
<b>Şekil 5.4</b> : Parametre uyum algoritmalarının ardışık yapısı .....	56

<b>Şekil 5.5</b>	: ARX model yapısı .....	61
<b>Şekil 5.6</b>	: ARMAX tipi model yapısı .....	62
<b>Şekil 6.1</b>	: Pnömatik sistemin tanılama modeli .....	66
<b>Şekil 6.2</b>	: Kare dalga sinyali ve çıkışlar .....	67
<b>Şekil 6.3</b>	: PRBS sinyali (Genlik=5) .....	68
<b>Şekil 6.4</b>	: Her valfe etkiyen PRBS sinyali .....	68
<b>Şekil 6.5</b>	: 4. mertebe filtre faz açısı düzeltmesi .....	70
<b>Şekil 6.6</b>	: 2. mertebe filtre faz açısı düzeltmesi .....	70
<b>Şekil 6.7</b>	: Sayısal filtre genlikler oranı .....	71
<b>Şekil 6.8</b>	: Çeşitli sayısal türev alıcıların genlikler oranları .....	71
<b>Şekil 6.9</b>	: Türevler oranı (Sayısal türev alıcı genlikler oranı/ideal türev alıcı genlikler oranı .....	72
<b>Şekil 6.10a</b>	: $P_1$ basıncı deney ve model sonuçları (5-1.bfn dosyası için) .....	74
<b>Şekil 6.10b</b>	: $P_2$ basıncı deney ve model sonuçları (5-1.bfn dosyası için) .....	75
<b>Şekil 6.11</b>	: Hız deney ve model sonuçları (5-1.kfn dosyası için) .....	77
<b>Şekil 7.1</b>	: “anasim.m” dosyası .....	78
<b>Şekil 7.2</b>	: “u2pref.m” dosyası .....	79
<b>Şekil 7.3</b>	: “prefpsyz.m” dosyası .....	79
<b>Şekil 7.4</b>	: “p1p2_1.m” dosyası .....	80
<b>Şekil 7.5</b>	: “dp12xv.m” dosyası .....	80
<b>Şekil 7.6a</b>	: $P_1$ basıncı; deney ve simülasyon modeli sonuçları .....	81
<b>Şekil 7.6b</b>	: $P_2$ basıncı; deney ve simülasyon modeli sonuçları .....	81
<b>Şekil 7.7</b>	: Konum; deney ve simülasyon modeli sonuçları .....	82

## SEMBOL LİSTESİ

<b>A</b>	: Piston kesit alanı ( $m^2$ )
<b>A<sub>H(r)</sub></b>	: Hamming pencereli filtre/türev alıcı genlikler oranı
<b>A<sub>min</sub></b>	: Alçak geçiren analog filtrenin durdurma bandı başlangıcındaki genlikler oranı
<b>B</b>	: Viskoz sürtünme katsayısı (kg/s)
<b>C<sub>d</sub>, C<sub>d1</sub>, C<sub>d2</sub></b>	: Valf boşaltma katsayısı
<b>C<sub>M</sub>, C<sub>M1</sub>, C<sub>M2</sub></b>	: Valfe ait kütle akış parametresi
<b>c<sub>P</sub></b>	: Havanın sabit basınçtaki özgül ısısı (kJ/kg <sup>o</sup> K)
<b>c<sub>V</sub></b>	: Havanın sabit hacimdeki özgül ısısı (kJ/kg <sup>o</sup> K)
<b>d</b>	: Gecikme
<b>E</b>	: Kontrol hacmindeki havanın enerjisi (kJ)
<b>f</b>	: Frekans (Hz)
<b>f(n)</b>	: f(t)'nin örneklenmiş değeri
<b>f(t)</b>	: Analog işaret fonksiyonu
<b>f'(t)</b>	: Örneklenmiş işaret fonksiyonu
<b>f<sub>B</sub></b>	: Sistem bant genişliği (Hz)
<b>f<sub>C</sub></b>	: Kesim frekansı (Hz)
<b>f<sub>PRBS</sub></b>	: PRBS üreteci saat frekansı (Hz)
<b>f<sub>q(n)</sub></b>	: f(t)'nin kuantlanmış değeri
<b>f<sub>s</sub></b>	: Örnekleme frekansı (Hz)
<b>f<sub>sm</sub></b>	: Modelleme örnekleme frekansı (Hz)
<b>F<sub>S</sub></b>	: Statik veya dinamik (Coulomb) kuru sürtünme kuvveti (N)
<b>g</b>	: Yerçekimi ivmesi ( $m/s^2$ )
<b>h̃</b>	: Havanın entalpisi (kJ/kg)
<b>h'<sub>ç</sub></b>	: Kontrol hacminden çıkan havanın birim kütlesinin toplam enerjisi (kJ)
<b>h'<sub>g</sub></b>	: Kontrol hacmine giren havanın birim kütlesinin toplam enerjisi (kJ)
<b>h(nT)</b>	: Sayısal birim darbe cevabı
<b>H(z)</b>	: Sayısal darbe transfer fonksiyonu
<b>h<sub>d(nT)</sub></b>	: İdeal (istenen) filtre/türev alıcı birim darbe cevabı
<b>H<sub>d(e<sup>j2πt</sup>)</sub></b>	: İdeal (istenen) filtre/türev alıcı fonksiyonu
<b>h<sub>H(nT)</sub></b>	: Hamming pencereli filtre/türev alıcı birim darbe cevabı
<b>H<sub>H(z)</sub></b>	: Hamming pencereli filtre/türev alıcı darbe transfer fonksiyonu
<b>h<sub>R(nT)</sub></b>	: Dikdörtgen pencereli filtre/türev alıcı birim darbe cevabı
<b>L</b>	: PRBS sinyali uzunluğu (s)
<b>L<sub>S</sub></b>	: Strok (m)
<b>m</b>	: Havanın kütlesi (kg)
<b>m̄</b>	: Havanın kütlesel debisi (kg/s)
<b>ṁ<sub>ç</sub></b>	: Kontrol hacminden çıkan havanın kütlesel debisi (kg/s)
<b>ṁ<sub>g</sub></b>	: Kontrol hacmine giren havanın kütlesel debisi (kg/s)
<b>M</b>	: Dikdörtgen pencere uzunluğu

$\tilde{M}$	: Zamanda ileriye veya geriye kaydırma miktarı
$M_{ds}$	: Aşağıya örneklemede frekans azaltma oranı
$M_T$	: Toplam hareketli kütle (kg)
$\tilde{n}$	: ADC bit sayısı
$n_A$	: A polinomu mertebesi
$n_B$	: B polinomu mertebesi
$N$	: PRBS sinyali üretiminde kullanılan bellek hücresi sayısı
$N_f$	: Filtre uzunluğu
$p$	: Frekans bölücü
$P$	: Odacık (kontrol hacmi) basıncı (bar(m))
$P_{atm}$	: Atmosfer basıncı (bar(m))
$P_b$	: Besleme basıncı (bar(m))
$P_d$	: Valfteki akışın doldurduğu hacmin basıncı (bar(m))
$P_u, P_{u1}, P_{u2}$	: Valfteki akışı yaratan basınç (bar(m))
$P_{vc}, P_{vc1}, P_{vc2}$	: Daralan geçiritteki statik basınç (bar(m))
$P_1, P_2$	: 1. ve 2. odacık basıncı (bar(m))
$P_{1ref}, P_{2ref}$	: Servovalflerin referans basınçları
$q$	: Kuantizasyon adımı
$Q$	: Kontrol hacmine veya kontrol hacminden dışarı olan ısı akışı (kJ)
$r$	: Normalize frekans
$r_d$	: Sayısal alçak geçiren filtre istenen kesim frekansı
$r_p, r_{p1}, r_{p2}$	: Basınçlar oranı
$r_{pc}$	: Kritik basınç oranı
$R$	: Evrensel gaz sabiti (kJ/kg <sup>0</sup> K)
$S, S_1, S_2$	: Valf açıklığı
$t_R$	: Yükselme zamanı (s)
$T, T_s$	: Örnekleme periyodu (s)
$T_{sm}$	: Modelleme örnekleme periyodu (s)
$\tilde{T}, \tilde{T}_1, \tilde{T}_2$	: Odacık (kontrol hacmi) sıcaklığı (°K)
$u, u_1, u_2$	: Valf giriş sinyali (Volt)
$u(t)$	: Giriş sinyali
$u_h$	: Havanın birim kütlesinin iç enerjisi (kJ/kg)
$U_H$	: Hız modeli giriş sinyali
$U_{P1}, U_{P2}$	: Basınç modeli giriş vektörü
$v$	: Hız (m/s)
$V$	: Odacık hacmi (kontrol hacmi) ( $m^3$ )
$v_h$	: Havanın hızı (m/s)
$V_{O1}, V_{O2}$	: Odacık ölü hacmi ( $m^3$ )
$W$	: Kontrol hacminin çevreye yaptığı iş (kJ)
$w_H(n)$	: Hamming pencere fonksiyonu
$w_R(n)$	: Dikdörtgen pencere fonksiyonu
$x$	: Piston konumu (m)
$x_{e1}, x_{e2}$	: Eşdeğer konum (m)
$X_H$	: Hız modeli durum vektörü
$X_{P1}, X_{P2}$	: 1. ve 2. basınç modeli durum vektörü
$y(t)$	: Gerçek sistem çıkışı
$\hat{y}(t)$	: Kestirilen sistem çıkışı
$z_h$	: Yükseklik (m)
$Z$	: Deney uzunluğu (s)
$\epsilon(n)$	: Kuantizasyon hatası

$\epsilon(n)_{rms}$	: Rms kuantizasyon gürültü seviyesi
$\epsilon(t)$	: Kestirim hatası
$\phi(t)$	: Gözlem vektörü
$\gamma$	: Özgül ıslar oranı
$p$	: Havanın yoğunluğu ( $kg/m^3$ )
$\tau$	: Zaman sabiti (s)
$\hat{\theta}(t)$	: Parametre vektörü
$\omega$	: Frekans (rd/s)
$\omega_c$	: Kesim frekansı (rd/s)
$\omega_0$	: Doğal salınım frekansı (rd/s)

## **PNÖMATİK BİR SİSTEMİN DENEYSEL MODELLENMESİ VE SİMÜLASYONU**

### **ÖZET**

Pnömatik sistemlerle hassas kontrol uygulamalarına yönelik çalışmalar son yıllarda önemli artış göstermektedir. Sistemin modelinin, yapısının ve gerçek parametrelerinin iyi bilinmesi; uygulanacak kontrolün başarısını artıracaktır. Bu sebeple; gerçek bir pnömatik sistemin deneysel olarak modellenmesi, parametrelerinin tanılanması ve simülasyonu bu çalışmanın konusunu oluşturmaktadır.

Bu çalışmada İ.T.Ü. Makina Fakültesi Otomatik Kontrol Laboratuvarı'nda bulunan elektropnömatik deney düzeneğinden yararlanılmaktadır. Deney düzeneği, her iki yönde de aynı kesite sahip, çubuksuz, üzerindeki arabaya manyetik olarak bağlı hassas bir silindir, bilgisayardan gelen elektrik sinyalleriyle orantılı olarak belirli referans basınçlarını üreten elektropnömatik oransal servovalfler, manyetik lineer cetvel, analog basınç ölçerler ve arayüz devrelerinden oluşmaktadır.

Sistem tanılama amacıyla sisteme PRBS sinyali gönderilerek, sistemin konum ve basınç olarak tepkileri kaydedilmekte, daha sonra bu veriler sayısal olarak işlenerek, tanılama modelinde kullanılacak giriş ve çıkışlar üretilmektedir.

Pnömatik sistem modeli, silindir odacıklarındaki basınç değişimlerini tanımlayan iki adet iki giriş-tek çıkışlı basınç modeli ve piston hareketini tanımlayan tek giriş-tek çıkışlı hız modelinin birleştirilmesinden oluşmaktadır.

Sistemin matematik modelini de gözönüne alarak kurulan basınç modelleri ve hız modelinin parametreleri Adaptech Midsys tanılama paket programı aracılığıyla elde edildikten sonra; ayrık zamanlı modeller, sürekli zamanlı modellere çevrilerek simülasyon modelinde kullanılmaktadır. Genişletilmiş en küçük kareler yöntemi, azalan kazançlı parametre uyum algoritması ve Guidorzi'nin kanonik parametrizasyonu kullanılarak yapılan tanılamada elde edilen birinci mertebe basınç ve hız modelleri geçerlilik testinden de olumlu çıkmıştır.

Sonuç olarak, sistemin kuru sürtünme katsayıları, viskoz sürtünme katsayısı, hareketli kütle (piston+araba), valfe ait katsayılar gibi birçok parametresi tanılanabilmektedir.

Tanılanan modellerin simülasyon modelinde kullanılmasıyla sistemin kabuller yerine gerçek parametreleri kullanılarak simüle edilmesi mümkündür. Pnömatik sistemin tadil edilmesi düşünülen kısımları son karar öncesinde simülasyon modeliyle denenebilir. Sistemdeki parametrelerin zamanla değişimi incelenerek arıza veya bakım için gerekli tedbirler önceden alınabilir.

## **EXPERIMENTAL MODELLING AND SIMULATION OF A PNEUMATIC SYSTEM**

### **SUMMARY**

Studies on the precise control applications with pneumatic systems have been growing in recent years. To know system model, structure and real parameters very well will increase the success of the control to be applied. So the subject of this study is experimental modelling, identification and simulation of a real pneumatic system.

In the study, an electropneumatic experimental stand which was installed in Automatic Control Laboratory of Mechanical Faculty of I.T.U. is utilised. Experimental stand consists of a magnetically coupled rodless cylinder with high precision guide, and two electropneumatic proportional servovalves producing proportional reference pressures according to electric signals sent from the computer, and a magnetic linear scale, and two analog pressure sensors, and interface circuits.

PRBS signals are sent to the pneumatic system for system identification and system responses as position and chamber pressures are recorded. Later, these data are digitally processed, and input and output data for identification models are created.

Pneumatic system model consists of a combination of two pressure models which have two inputs and one output and define pressure changes in the cylinder chambers and a velocity model which has one input-one output and defines piston motion.

Parameters of the pressure models and the velocity model that are installed considering the mathematical equations of the system are identified by using Adaptech Midsys identification software. And discrete-time models are obtained. Later they are converted into continuous-time models for simulation model. During the identification, extended least squares method, parameter adaptation algorithm with decreasing gain and canonical parametrization of Guidorzi have been applied. Pressure and velocity models are found as first order models with positive validation test results.

As a conclusion, parameters of the pneumatic system such as dry friction coefficients, viscous friction coefficients, moving mass (piston+carriage), valve coefficients, etc. are identifiable.

By transferring identified models into the simulation model, a realistic simulation with actual parameters instead of assumed ones can be performed. If a modification is planned on the system, this modification can be verified before the last decision. Through watching the change of the system parameters by time, precautions can be taken for probable faults or needs of maintenance.

# **1. GİRİŞ**

## **1.1. Giriş**

Pnömatik (basınçlı hava) teknolojisi; temiz bir kaynak olması, atmosferden kolayca temin edilebilmesi, depolanabilmesi, pnömatik sistemi oluşturan elemanların nispeten ucuz ve basit olmaları, kolayca ayarlanabilmeleri, hafif olmaları, bakım kolaylıklarları, özellikle doğrusal (öteleme) hareketlerinde elektrikli sistemlerdeki gibi çevirme-aktarma elemanlarına ihtiyaç göstermemeleri vb. nedenlerle endüstride tercih edilmektedir. Genellikle 1 kW'a kadar güç gereksinimi olan yerlerde elektrik ve hidrolik sistemlere göre daha ucuzdur.

Pnömatik sistemler; otomasyon sistemlerinde, düşük ve orta güç gerektiren endüstriyel robot ve manipülatör uygulamalarında, yanıcı, lekeleyici ortamların istenmediği veya hijyenik ortamların gerektiği boyta, tekstil, gıda, ilaç, otomotiv, ambalaj vs. sektörü de dahil olmak üzere hemen hemen sanayiinin her kolunda kullanım alanı bulmaktadır.

Pnömatik silindir uygulamaları çoğunlukla açık çevrim kontrol modunda iki sınır konumda, piston kolu tam dışında veya tam kapalı konum olarak çalışır. Bu tür uygulamalarla yüksek kuvvet veya torklara ulaşılabilimekte, elektrikli sistemlere göre ucuzluk sağlanabilmektedir.

Pnömatik sistemlerde, kapalı çevrimli hassas konum kontrol uygulamalarında havanın sıkıştırılabilirliği, küçük sönümler, mekanik sürtünmeler, sistemin nonlinear olması, pnömatik silindirin bir ara konumda istenilen hassasiyette sabit tutulması veya çalıştırılmasını güçlendirmektedir.

Pnömatik sistemlerde ara konumda konum kontrolü zorluğunun üstesinden gelmek için mekanik sınırlamalar, kilit veya fren mekanizmaları kullanılır. Ancak bu tür çözümler sistemde şoklar yaratarak mukavemet, malzeme yorulması vs. sorunlarına

yolaçabilmekte ayrıca sistemin verimini de azaltmaktadır. Pnömatik sistemlerin endüstride kullanımı, ancak herhangi bir mekanik sınırlama olmaksızın konum, hız hatta kuvvet yörüngelerini gerçekleştirebilecek sistemlerin geliştirilmesiyle en üst seviyeye ulaşabilecektir.

Pnömatik bir sistemde konum, hız veya kuvvet yörüngesi üzerinde kontrol tasarımlı yapılırken; ancak uygun bir kontrol algoritması (hem izleyici hemde regülatör çevrimleri gibi) kullanılması ve sistemin gerçek parametrelerinin/davranışının iyi bilinmesi (simülasyon çalışmalarında ise; gerçek sistemin, simülasyon modelinde iyi bir şekilde temsil ediliyor olması) halinde başarılı sonuçlar elde edilebilir.

Hassas konum kontrolu gerçekleştirilmek istendiğinde; ikili (aç-kapa) valfler veya oransal pnömatik valfler tercih edilmektedir. İkili valfler ucuz olmalarına karşın, kontrolun başarımı sistem dinamiğinin ne kadar iyi bilindiğine ve anahtarlamaların doğru tanımlanmasına bağlıdır. Oransal valflerle ise konum kontrolu için elde edilmek istenen basınç değerleri kolaylıkla sağlanmakta ancak maliyet yüksek olmaktadır.

Bu çalışmada İTÜ Makine Fakültesi Otomatik Kontrol Laboratuari'nda bulunan pnömatik deney düzeneği ile yapılan deneylerden elde edilen gerçek sistem verilerine dayanan bir simülasyon modeli çıkartılarak gerçek sistemle karşılaştırması yapılacaktır.

Çalışmada kullanılan sistem 1 adet çubuksuz silindir, 1 adet sayısal ölçüm cetveli, 2 adet basınçölçer, 2 adet elektropnömatik kontrol valfi, 1 adet bilgisayar ve arayüz devrelerinden oluşmaktadır.

Sisteme bilgisayardan Adaptech Wintrac paket programı aracılığıyla gönderilen giriş sinyaline sistemin tepkisi konumölçer ve basınçölçerlerden okunarak bilgisayar ortamına aktarılmakta, deneysel modelleme için kullanılmaktadır. Bulunan modellerin Matlab Simulink programıyla simülasyonu gerçekleştirilmektedir.

## **1.2. Pnömatik Sistemlere Yönelik Çalışmalar**

Günümüze kadar pnömatik sistemlerle ilgili yapılmış pek çok sayıda bilimsel araştırma mevcuttur. Bu çalışmada yararlanılan bazı kaynaklar ve konuları aşağıdadır:

Bu çalışmada kullanılan deney düzeneği üzerinde daha önce üç çalışma yapılmıştır. Bunlardan [1] no'lu kaynakta, kullanılan deney düzeneğiyle ilgili ayrıntılar (fiziki özellikler) verilmekte, sözkonusu düzenekle yapılmış hız geribeslemeli ikili kontrol, kayan rejimli ikili kontrol, darbe genişliği modülasyonu, oransal basınç kontrol valfleri ile sürekli kontrol gibi algoritmalar ve elde edilen sonuçlar değerlendirilmektedir.

[2] no'lu kaynakta ise bir önceki kaynaktaki veriler de kullanılarak değişik kontrol teknikleri simülasyon yoluyla incelenmekte ayrıca sisteme ait sürtünme modeli ve valf dinamiği ayrıntılı bir şekilde ele alınmaktadır.

[3] no'lu kaynakta solenoidli oransal valflerin PID kontrol ve kayan rejimli kontrol altındaki davranışları karşılaştırılmaktadır.

[4] no'lu kaynakta pnömatik sistemlerin açık çevrim doğal frekansları, strok ile doğal frekansın ilişkisi, elektropnömatik servovalflerle çubuksuz uzun silindirlerin kontrolu, matematik modelleri, sürtünme modelleri detaylı olarak verilmektedir. Bu makaledeki deney tesisi, bu çalışmada kullanılan ile oldukça benzer yapıdadır.

[5] no'lu kaynakta darbe genişliği modülasyonu ile sürülen solenoid valflerin ayrıntıları verilmekte, valfe ait akış denklemleri, kütle debileri incelenmektedir.

[6] no'lu kaynakta, önerilen çalışmada da kullanılan deney düzeneği kullanılarak, deneysel olarak valflerin frekans cevabı deneyleri yapılmış, valflere ait transfer fonksiyonu elde edilmiş ayrıca basınç geribeslemeli PD kontrolu kullanılarak yörünge üzerinde kontrol yapılmıştır.

[7] no'lu kaynakta lineer olmayan mekanik sürtünme ve akış denklemlerini içeren matematiksel model ile ikili kontrol valfi kullanarak hassas konum kontroluna yönelik simülasyon çalışması verilmektedir. Valfin biri açık tutulurken diğer valfe PWM uygulanarak ikili valfin oransal valf gibi çalışması simüle edilmektedir.

[8] no'lu kaynakta ise lineer mekanik bir sisteme bağlı kapalı pnömatik odacığın nonlineerlik etkileri incelenmektedir.

[9] no'lu kaynakta verilen silindir dinamiği, manyetik oransal valf dinamiğinin yanısıra özellikle silindir odacıklarındaki basınç değişimlerini gerek valf dinamiğine, akış denklemlerine gerekse piston hızına göre ifade eden denklemlerinden önerilen çalışmada da yararlanılmaktadır.

## **2. PNÖMATİK DENEY SİSTEMİNİN TANITIMI**

### **2.1. Giriş**

Bu çalışmada; İTÜ Makina Fakültesi Otomatik Kontrol Laboratuvarı'nda bulunan elektropnömatik deney düzeneği kullanılmaktadır. Söz konusu deney düzeneği ile daha önce birçok çalışma -bitirme çalışma, yüksek lisans tezi- gerçekleştirilmiş olup deney düzeneğinin önceki çalışmalardaki durumu korunarak fakat gerekli yeni eklemeler de yapılarak bu çalışmaya hazır hale gelmesi sağlanmıştır. Bu amaçla sisteme eklenen bir atlatma (anahtar) vasıtasiyla eski çalışma veya yeni çalışma arasında geçiş yapılmaktadır. Deney düzeneğini oluşturan elemanlar ilerleyen alt bölümlerde anlatılmaktadır.

### **2.2. Silindir**

SMC firmasının her iki yönde de aynı kesite sahip, çubuksuz, hassas konum kontrolüne imkan verecek lineer yatakları olan, üzerindeki arabaya manyetik olarak -kalıcı mıknatıslarla- bağlanmış bir adet CY1HT32 silindiri kullanılmakta olup diğer özellikleri aşağıda verilmektedir [10]:

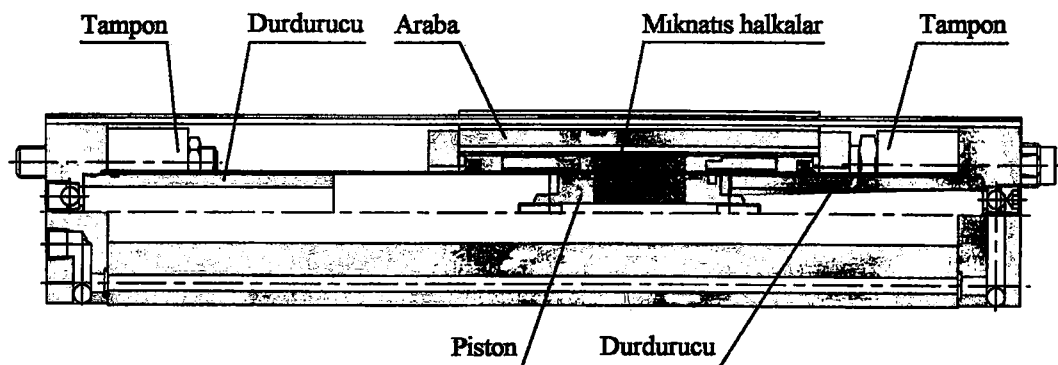
Strok	: 500 mm
Çap	: 32 mm
P <sub>maks</sub>	: 7 bar
P <sub>min</sub>	: 2 bar (fabrika çıkış değeri)
v <sub>maks</sub>	: 1 m/s
Yağlama	: Gerekli değil
Tekrarlanabilir konum hassasiyeti	: $\pm 0,05$ mm
Arabanın hassasiyeti	: $\pm 0,05^\circ$ maks.
Manyetik tutma kuvveti	: 588 N
Taşıyabileceği maksimum yük	: 400 N

Araba üzerine eklenen kütle : 5 kg

Toplam hareketli kütle : Yaklaşık 10 kg.

Viskoz sürtünme katsayısı : Bilinmiyor.

Diğer ayrıntılar Şekil 2.1'de verilmektedir.

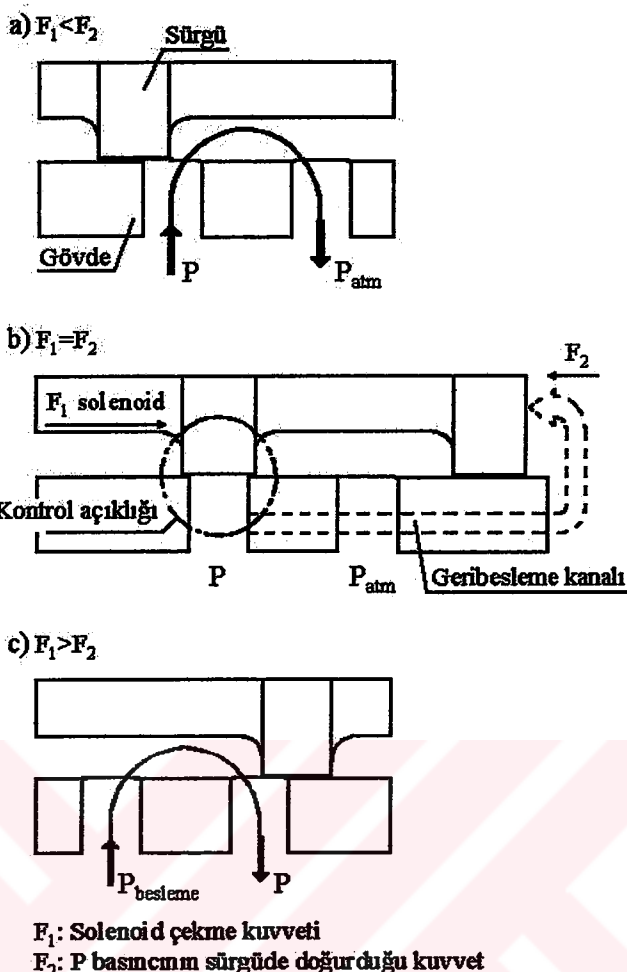


Şekil 2.1. Silindirin ayrıntıları

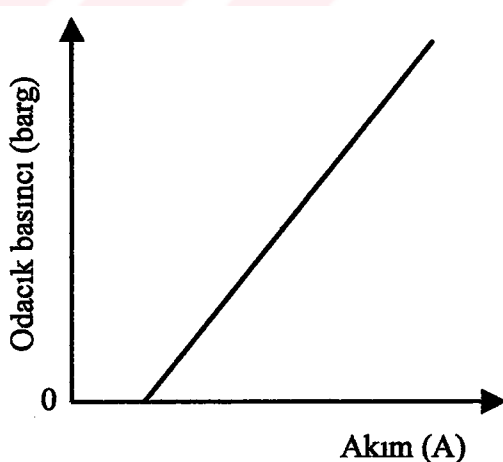
### 2.3. Oransal Basınç Kontrol Valfleri

Sistemde SMC firmasının 2 adet 3 yollu elektropnömatik basınç tipi SMC-VEP-3121-1-02 kodlu valfi kullanılmaktadır. Bu valf, kendisine uygulanan elektrik akımı ile orantılı olarak bir çıkış basıncını sağlamaya çalışmaktadır. Diğer bir deyişle gönderilen akım sinyaline karşılık gelen bir referans basınç değerini gerçekleştirmek üzere kendi iç yapısında basınç geri beslemesi yapmakta olup servo valf özelliğini haizdir. Bu sebeple bu valfe gönderilen akım sinyaliyle valf açılığı değil referans basıncı kontrol edilmektedir. Sürgü ile solenoid arasındaki çalışma ilkesi Şekil 2.2'de, akım ile basınç değişimi ise Şekil 2.3'de gösterilmektedir [11].

Oransal basınç kontrol valfinin çalışması için solenoid bobininden geçen orantılı elektrik akımına ihtiyaç göstermekte olduğu daha önce açıklanmıştır. Bilgisayardaki endüstriyel kart veya diğer bir ara devre kartı gerilim çıkışı verdiklerinden doğrudan valfe bağlanarak kullanılamazlar. Bu amaçla, gerilim sinyalinin gerilimle orantılı akıma dönüştürülmesi zorunludur. SMC firmasının VEA250 tipi oransal valf sürücü kartları bu sorunu çözmek üzere kullanılmaktadır. Bu kartlar 0-5 V arasındaki gerilim sinyalini 0-1 A arasındaki akım sinyaline (orantılı olarak) dönüştürürler. Kartlar üzerinde sıfır, kazanç ve titreştirici ayarları mevcuttur.



Şekil 2.2 Oransal basınç kontrol valfi çalışma ilkesi



Şekil 2.3. Oransal basınç kontrol valfi akım-basınç grafiği

Sürücü devrenin sinyal akışı Şekil 2.4'de verilmektedir.

Oransal basınç kontrol valfleri ile ilgili diğer ayrıntılar aşağıdadır:

$P_{maks}$  : 9,7 bar

Cevap süresi : 30 ms

Histerezis : % 3 (Tam ölçegin)

Tekrarlanabilirlik : % 3 (Tam ölçegin)

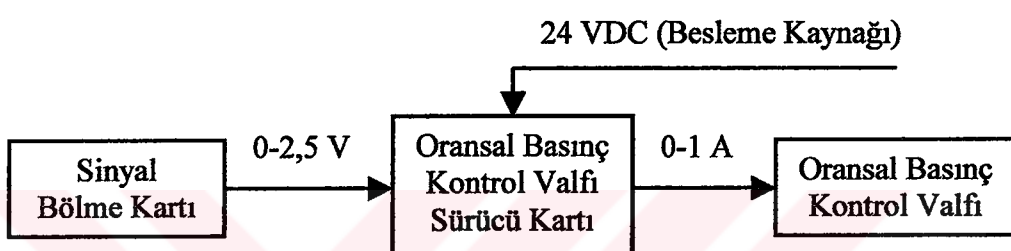
Hassasiyet : % 0,5 (Tam ölçegin)

Lineerlik : % 3 (Tam ölçegin)

Yağlama : Gerekli değil

Kontrol edilebilir basınç aralığı : 0,5-6,5 bar

Besleme gerilimi :  $24 \pm \% 10$  VDC



Şekil 2.4. Oransal Basınç Kontrol Valfi Sinyal Akışı

## 2.4. Ölçme Sistemi

### 2.4.1. Konum Ölçümü

Konum ölçümü SONY Magnescale firmasının 1 adet SR10-060A tipi 600 mm uzunlukta manyetik cetveli ile yapılmaktadır. Cetvel, kirli ortama, titreşimlere ve şoklara dayanıklıdır. İçerisinde özel ferromanyetik alaşımından yapılmış ve manyetik olarak kayıt yapılarak 0,2 mm aralıkla derecelendirilmiş 2 mm çapında bir çubuk mevcut olup, bu manyetik derecelendirmeyi 0,2 mm dalga uzunlığunda sinüs sinyaline çeviren bir okuma kafası aracılığıyla konumdaki değişiklikler elektrik sinyaline dönüştürülmektedir [12].

Konum dedektör kartı manyetik lineer cetvelden gelen 0,2 mm dalga boyundaki sinüs sinyalini elektriksel olarak işleyerek yukarı/aşağı (up/down) ve saat (clock) sinyallerine çevirmektedir. Bu amaçla Sony firmasının MD20-1G5BR dedektör kartı

kullanılmaktadır [13]. Bu kartla ölçme çözünürlüğü  $0,5 \mu\text{m}$  ile  $20 \mu\text{m}$  arasında ayarlanabilmektedir. Bu çalışma için  $20 \mu\text{m}$  çözünürlüğe ayarlanmıştır.

Sayısal sayıcı devre kartı ile yukarı/aşağı ve saat sinyalleri 16 bit paralel veriye dönüştürülmektedir. Saat sinyalinin her adımı  $20 \mu\text{m}$ 'ye karşılık geldiği için 16 bitin tamamı (65535 adım) kullanılmamakta, silindir strokunun tamamı 25.000 darbeye 16 bit çözünürlükte ölçülebilmektedir.

#### **2.4.2. Basınç Ölçümü**

Bu amaçla SMC firmasının 2 adet SMC-PSE510 tipi basınç ölçeri kullanılmaktadır. Bu basınç ölçerler basınçla orantılı olarak analog gerilim çıkışı verirler. 0-10 bar(g) basınç aralığı için 1-5 V arasında sürekli gerilim çıkışı üretmektedirler. Diğer özellikleri ise aşağıda verilmektedir [14]:

Besleme gerilimi : 12-24 VDC (dalgalanması %10'dan küçük olmak üzere)

Tekrarlanabilirlik :  $\% \pm 0,3$  veya daha az

Sıcaklık özellikleri (0-50 °C arası) :  $\% 1,5$ 'dan az (Tam ölçegin)

Sıcaklık özellikleri ( $25 \pm 10$  °C için) :  $\% \pm 1$ 'den az (Tam ölçegin)

Titreşime dayanımı : Var.

### **2.5. Sistemin Bilgisayarla Bağlantısı Ve Arayüzler**

#### **2.5.1. Bilgisayar**

Deneyde kullanılan bilgisayarın deney açısından önemli olan özellikleri aşağıda verilmektedir:

İşlemci : AMD Athlon XP 1.6 GHz

Ana bellek : 256 MB 133 MHz

Anakart : 133 MHz veriyolu hızı

Grafik kartı : TNT2 32 MB

İşletim sistemi : Windows 98

Veri toplama programı : ADAPTECH WinTRAC version 1.24

## **2.5.2. Endüstriyel Kart**

Bu amaçla üzerinde analog ve sayısal giriş-çıkış verebilen Advantech Co. Ltd. firmasının PCL-812PG endüstriyel kartı kullanılmaktadır. Kartın özellikleri aşağıda verilmektedir [15]:

**Analog girişler (CN1 ve CN2 konnektörlerindeki A/D0...A/D15 pinleri):**

Toplam kanal : 16 adet

Kullanılan kanal : 3 adet (basınç ölçümleri için CN1 konnektöründeki A/D0 ve A/D1, konum ölçümü için CN1 konnektöründeki A/D2 pinleri)

Çözünürlük : 12 bit

Giriş aralığı :  $\pm 5$  V(seçilen)

Çevirme hızı : 30 kHz maksimum

Hassasiyet : % 0,015 ( $\pm 1$  bit)

**2. Analog çıkışlar (D/A çevirici):**

Toplam kanal : 2 adet (CN2 konnektöründe D/A1 ve D/A2 pinleri)

Kullanılan kanal : 1 adet (sisteme PRBS sinyali göndermek için CN2 konnektörü D/A1 pini)

Çözünürlük : 12 bit

Cıktı aralığı : 0-5 V(seçilen)

Lineerlik :  $\pm \frac{1}{2}$  bit

Cıktı akımı :  $\pm 5$  mA maksimum

**3. Sayısal girişler :**

Toplam kanal : 16 adet (CN4 konnektöründeki pinler)

Kullanılan kanal : 16 adet (sayısal sayıcı devrenin 16 bit paralel verisini okumak için)

Giriş gerilimi : 0,8 – 2,0 V

Giriş yükü : 0,4 mA'de 0,5 V

**4. Sayısal çıkışlar :**

Toplam kanal : 16 adet (CN3 konnektöründeki pinler)

Kullanılan kanal : 1 adet (sayısal sayıcı devreyi sıfırlamak için CN3 konnektörünün 1 no'lu pini)

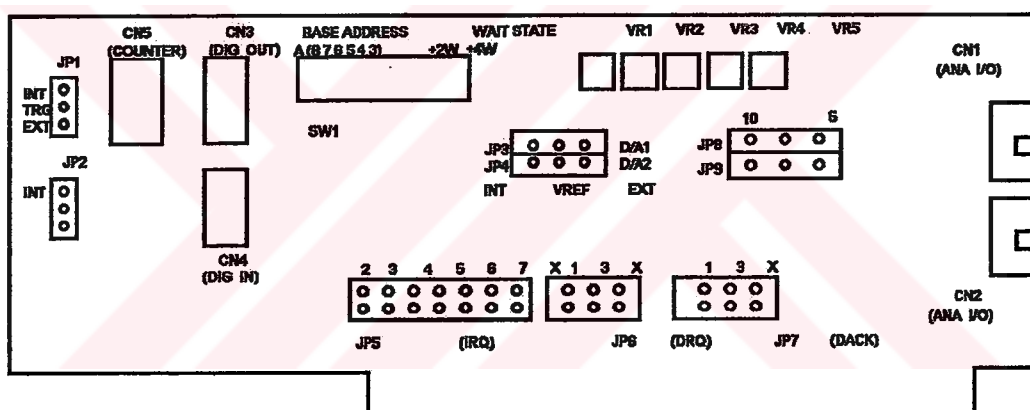
**Çıkış gerilimi : 0,5 V (8 mA'de)**

Sayısal giriş ve çıkışlar, kalibrasyon ve sayıcı devrenin sıfırlanması sırasında bir C programı ile kullanılmakta olup, sisteme PRBS sinyalinin gönderilmesi ve verilerin kaydedilmesi esnasında kullanılmamaktadır.

CN1 ve CN2 konnektöründe kullanılan kanalların A.GND pinleri birleştirilerek 0 Volt (toprak) hattına bağlanmıştır.

Base address seçimi ise (SW1 anahtar grubunun ilk 6 anahtarı) 200H (onluk olarak 544) değerine ayarlanmıştır.

PCL-812PG kartının anahtar, jumper ve konnektör konumları Şekil 2.5'te gösterilmektedir.



**Şekil 2.5 PCL 812PG kartı ayrıntıları**

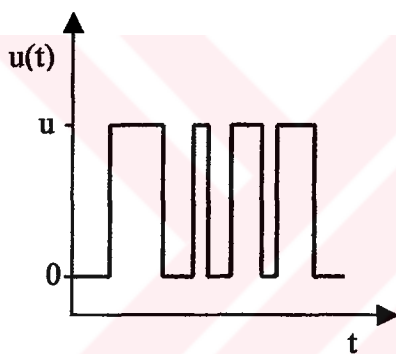
### **2.5.3. Sinyal Bölme Kartı**

Bu kart, endüstriyel kartın D/A1 kanalından gönderilmekte olan giriş sinyali ile oransal kontrol valfi sürücü devreleri arasında sinyal uyumu için düzenlenmiş olup aşağıdaki amaçları sağlamaya yöneliktedir:

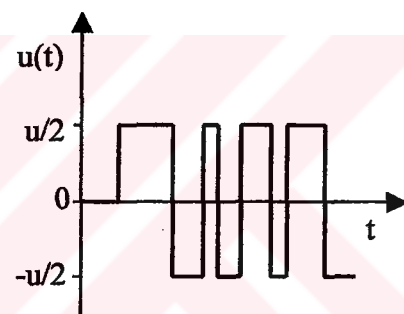
- a) Wintrac paket programı aracılığıyla sisteme gönderilen analog giriş sinyalinin 0-u Volt arasında olması dolayısıyla sözkonusu sinyali  $-u/2$  volt eklemek yoluyla  $-u/2$  ile  $+u/2$  arasına (0 Volt etrafında simetri sağlamak için) kaydurmak.

b) Kaydedilen sinyalin negatif ve pozitif kısımlarını ayırarak negatif kısmının işaretini pozitif yapmak. Böylece bilgisayardan gelen bir adet analog giriş sinyalinden her iki valf için doğru işarette ayrı ayrı analog giriş sinyalleri elde etmek ( $180^\circ$  faz farkı olan iki adet yarım dalga doğrultucu ile valflerin pozitif gerilimle sürülebilmesi sağlanmaktadır).

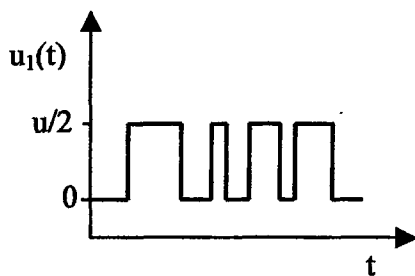
c) Giriş sinyalindeki seviye kaydırma işlemi kart üzerindeki bir ayarlı direnç aracılığıyla gerçekleştirildiğinden dolayı bilgisayardan sinyal gelmediği zaman (0 Volt hali) çıkışta  $u/2$  Volt olduğundan valfin birinin sürekli açık kalması sebebiyle arabanın deney öncesi (istenen) başlangıç konumunu kaybederek bir tarafa yaslanması önlemek için bilgisayardan 0 Volt'tan farklı bir sinyal gelip gelmediğini denetleyerek seviye kaydırma işlemini 0 Volt'tan farklı sinyal geldiğinde başlatmak.



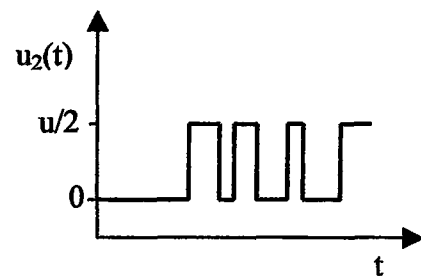
a) Endüstriyel kart çıkışı



b) Seviye kaydırma



c) Yarım dalga doğrultma



d)  $180^\circ$  faz farkı+yarım dalga doğrultma

Şekil 2.6 Sinyal bölme kartının işleyışı

Yukarıdaki işlemleri gerçekleştirmek için işlemel kuvvetlendiricilerle toplama, tersini alma, doğrultma işlemleri yapılmakta, ayrıca giriş sinyalini değerlendiren 1 bitlik bellek tümleşik devresi kullanılmaktadır.

Bu kartla giriş sinyalinin nasıl işlediği Şekil 2.6'da açıklanmaktadır, Şekil 2.7'de ise kartın fotoğrafı yer almaktadır.

#### 2.5.4. DAC Kartı

Bu kart, Wintrac programının sayısal giriş kabul etmemesinden dolayı kullanılmaktadır. Bu amaçla Burr-Brown firmasının 16 bit çözünürlüklü DAC701KH tümleşik devresi katalog talimatlarına uyularak kart halinde hazırlanmıştır. Böylece sayısal sayıcı devrenin 16 bit sayısal konum çıkışı 0-10 Volt arası analog gerilim sinyaline dönüştürülmektedir. Sözkonusu kartın/tümleşik devrenin özellikleri aşağıda verilmektedir:

Sayısal giriş çözünürlüğü : 16 bit

Doğrusallık hatası (tam ölçegin % si olarak) :  $\pm 0,0015$  tipik,  $\pm 0,003$  maksimum

Kazanç hatası (tam ölçegin % si olarak) :  $\pm 0,05$  tipik,  $\pm 0,10$  maksimum

Yerleşme zamanı : 4  $\mu$ s tipik, 8  $\mu$ s maksimum

Sıcaklık aralığı : 0-70 °C

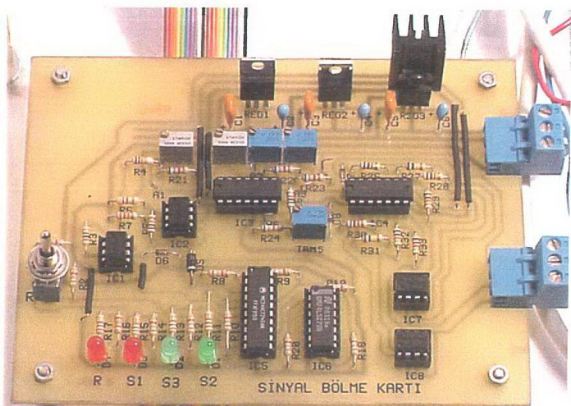
Besleme gerilimleri ise  $+V_{CC}$  için minimum 13,5 V, tipik 15 V, maksimum 16,5 V,  $-V_{CC}$  için minimum -13,5 V, tipik -15 V, maksimum 16,5 V,  $V_{DD}$  için minimum 4,5 V, tipik 5V, maksimum 16,5 V olarak verilmiştir.

Kart üzerinde hassas bir şekilde sıfır ayarı ve kazanç ayarı yapmayı mümkün kıلان ayarlı dirençler düzenlenmiştir. Kart  $FFFF_H$  değerli sayısal girişe 0 V analog çıkış,  $0000_H$  değerli sayısal girişe +10 V analog çıkış verecek şekilde kalibre edilmiştir.

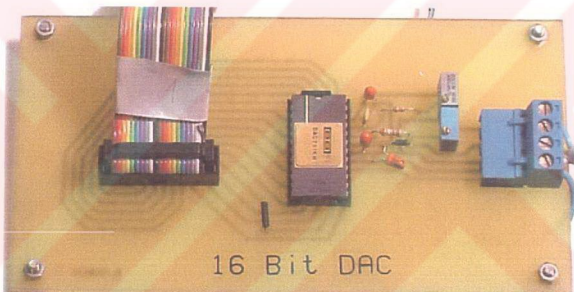
Kartla ilgili ayrıntılar Şekil 2.8'de verilmiştir.

#### 2.5.5. Analog Anti-aliasing Filtre Kartı

Deney düzeneğinden endüstriyel kart aracılığıyla üç adet analog gerilim sinyali bilgisayara aktarılmaktadır. Bu sinyaller DAC çıkışından gelen konum, basınç ölçerlerden gelen basınç sinyalleridir. Örnekleme teoremine göre aliasing etkilerini azaltmak amacıyla alçak geçiren analog filtrelemeye tabi tutulması gerekmektedir. Bu amaçla konum için 4. mertebeden, basınçlar için 2. mertebeden filtreleme



Şekil 2.7 Sinyal bölme kartı



Şekil 2.8 DAC kartı ayrıntıları



Şekil 2.9 Anti-aliasing filtre ayrıntıları

yapılmakta olup National Semiconductor Corporation firmasının MF10 tümleşik anahtarlanmış kondansatör tipi filtreler kullanılmaktadır [16]. Sözkonusu filtreler klasik pasif filtrelere veya aktif-işlemsel kuvvetlendiricili-filtrelere kıyasla, kesim frekansının saat sinyaliyle belirlenmesi, filtre kazancının ve sönüm oranlarının basitçe birkaç direnç ile ayarlanabilmesi sebebiyle tercih edilmiştir. Ancak kondansatörlerin anahtarlanması sırasında filtre çıkışında saat frekansında gürültü karışması ortaya çıkmakta-filtre kesim frekansının 100 katı (2 dekad) yüksek frekansta olan bu gürültü-düzenleştirici (smoother) aktiffiltrelerle giderilmektedir. MF10 tümleşik devresinde tek kılıf içinde birbirinden bağımsız iki adet ikinci mertebeden filtre bulunmaktadır. Konum için bu filtreler arkaya (kaskad) bağlanarak 4. mertebeden filtre elde edilirken basınçlar için herbiri bağımsız olarak kullanılmaktadır.

Bu filtre kartında MF10 tümleşik filtersi için gerekli olan besleme gerilimi regülatörleri, saat sinyali üretici ve gerekli işaret ters çevirici (-1 ile çarpma) ve tamponlama amaçlı işlemsel kuvvetlendiriciler ile düzgünleştirici aktif filtre devreleri bulunmaktadır. Yine kullanılan tümleşik devrelerin ofset gerilimlerini sıfırlamak için düzenlemeler de yapılmıştır.

Ayrıca besleme hatlarında doğabilecek gürültüleri azaltmak amacıyla tümleşik devrelerin besleme pinleri yakınına seramik kondansatörler yerleştirilmiştir.

Filtre kartında 1 adet 4. mertebeden 2 adet 2. mertebeden olmak üzere toplam 3 adet kanal vardır:

**4. mertebeden kanalın özellikleri:** Kaskad olarak iki adet 2. mertebe (titreşim elemanı tipi) filtreden meydana gelmiştir.

**1. kademenin özellikleri :**

Kesim frekansı : 45 Hz

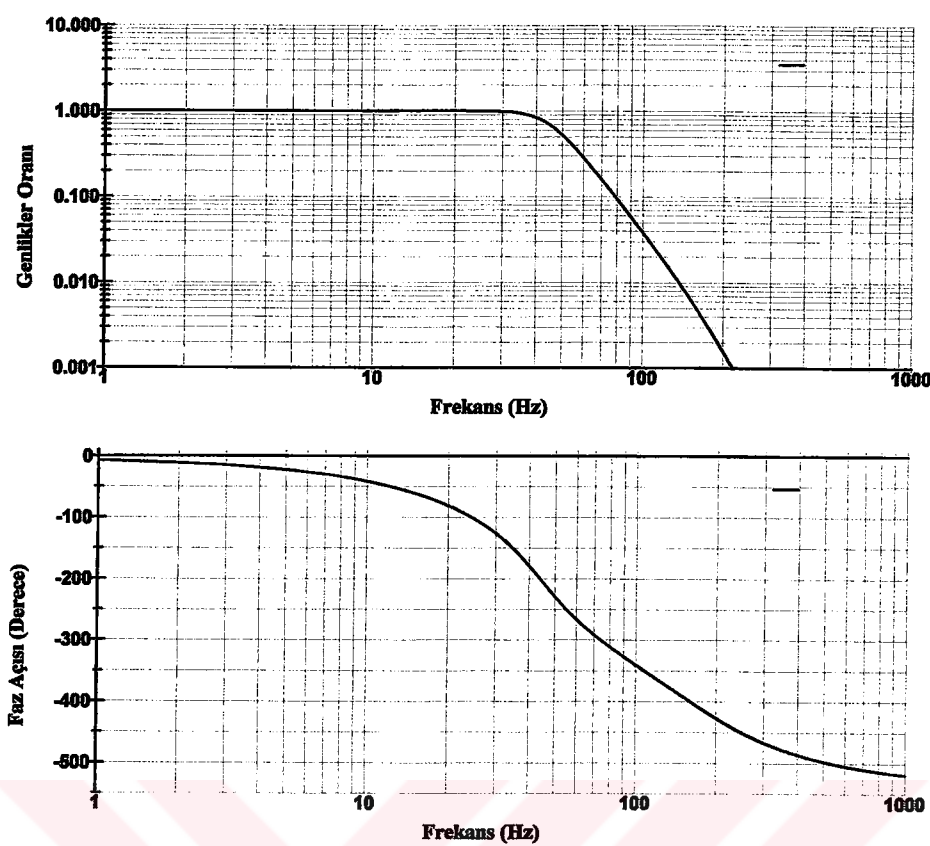
Filtre kazancı : 1,25

Sönüm oranı : 0,924

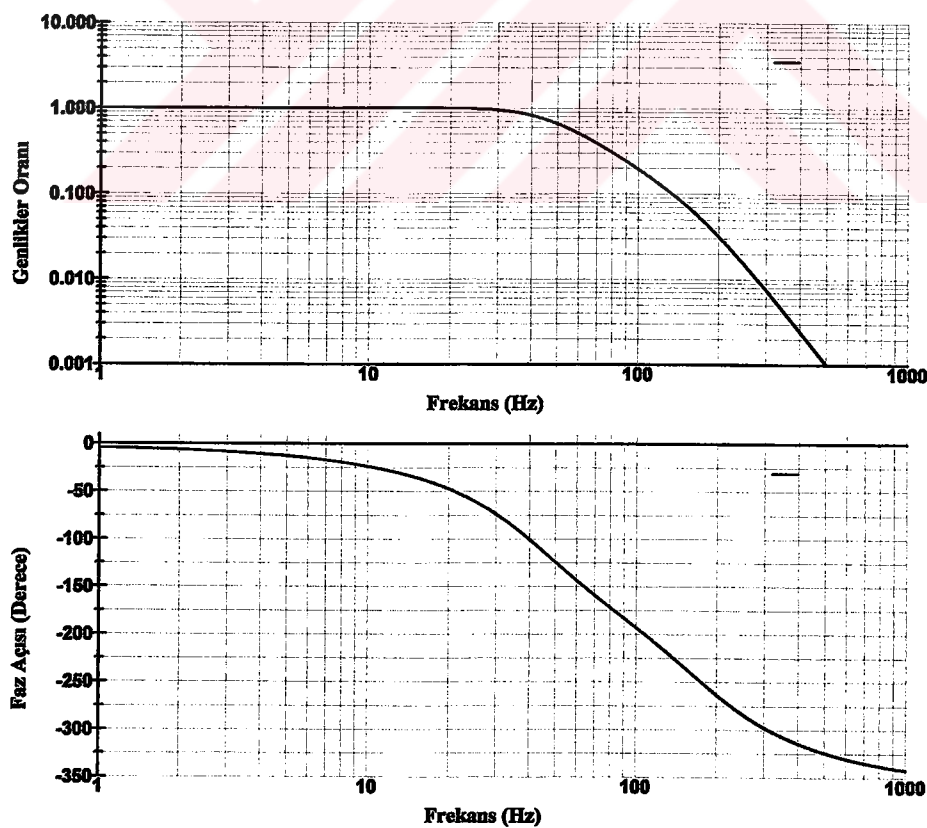
**2. kademenin özellikleri :**

Kesim frekansı : 45 Hz

Filtre kazancı : 1



Şekil 2.10 4. mertebeden anti-aliasing filtre genlikler oranı ve faz açısı diyagramı



Şekil 2.11 2. mertebeden anti-aliasing filtre genlikler oranı ve faz açısı diyagramı

Sönüüm oranı : 0,377

4. mertebe filrenin toplam kazancı 1,25 olarak tasarımlanmıştır.

2. mertebeden (titreşim elemanı tipi) kanalların özellikleri: Her iki kanalın özellikleri aynı olup aşağıdaki gibidir:

Kesim frekansı : 45 Hz

Filtre kazancı : 1,6

Sönüüm oranı : 0,66

Düzungünleştirci filtrenin ortak özellikleri :

Kesim frekansı : 176,7 Hz

Filtre kazancı : 1

Sönüüm oranı : 0,686

Anti-aliasing filtre ayrıntıları Şekil 2.9'da, 4. mertebeden anti-aliasing filtre genlikler oranı ve faz açısı Şekil 2.10'da, 2. mertebeden anti-aliasing filtre genlikler oranı ve faz açısı Şekil 2.11'de verilmektedir.

### 2.5.6. Ana dağıtım kartı

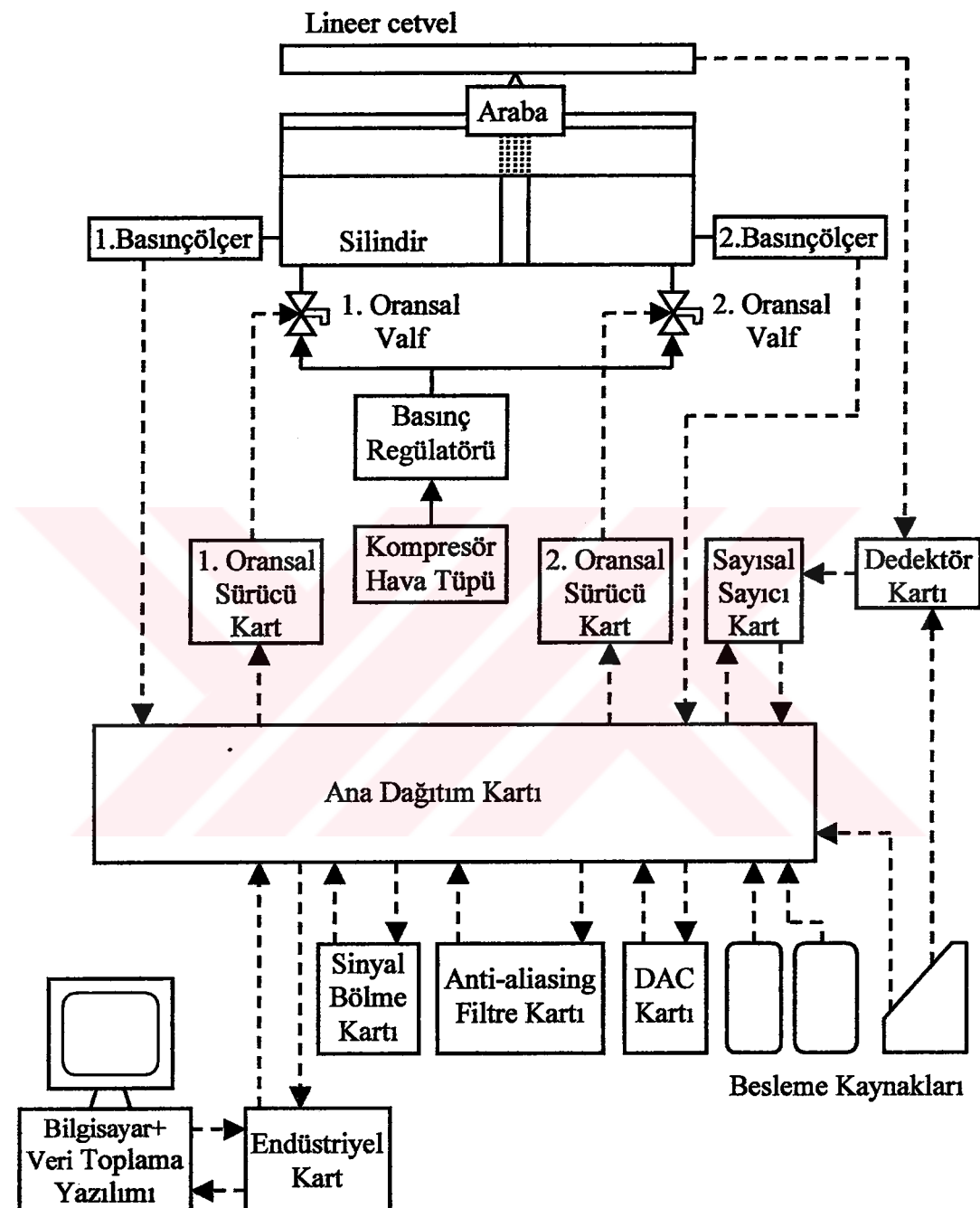
Endüstriyel kart, sinyal bölme kartı, valf sürücü kartları, sayısal sayıcı devre kartı, DAC kartı, analog anti-aliasing filtre kartı ve besleme kaynakları arasındaki bağlantıların çoğu bu kart üzerinden düzenlenmekte olup üzerinde daha önce yapılan çalışmalar ile bu çalışma arasında seçimi mümkün kılan bir jumper da mevcuttur. Ana dağıtım kartı ayrıntıları Şekil 2-12'de verilmektedir.



Şekil 2.12 Ana dağıtım kartı ayrıntıları

### 2.5.7. Pnömatik deney sistemi genel yapısı

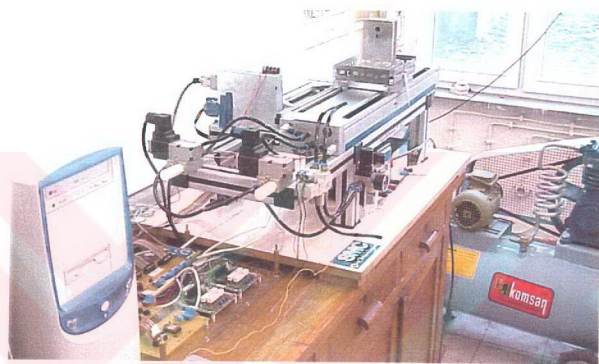
Deney sistemini oluşturan elemanlar ve birbirleriyle sinyal alışverişleri Şekil 2-13'te fotoğrafları ise Şekil 2.14a ve Şekil 2.14b yer almaktadır.



Şekil 2.13 Pnömatik deney düzeneği genel yapısı



Şekil 2.14a Pnömatik deney düzeneği ayrıntıları-1



Şekil 2.14b Pnömatik deney düzeneği ayrıntıları-2

### **3. VERİ TOPLAMA VE İŞLEME**

#### **3.1. Giriş**

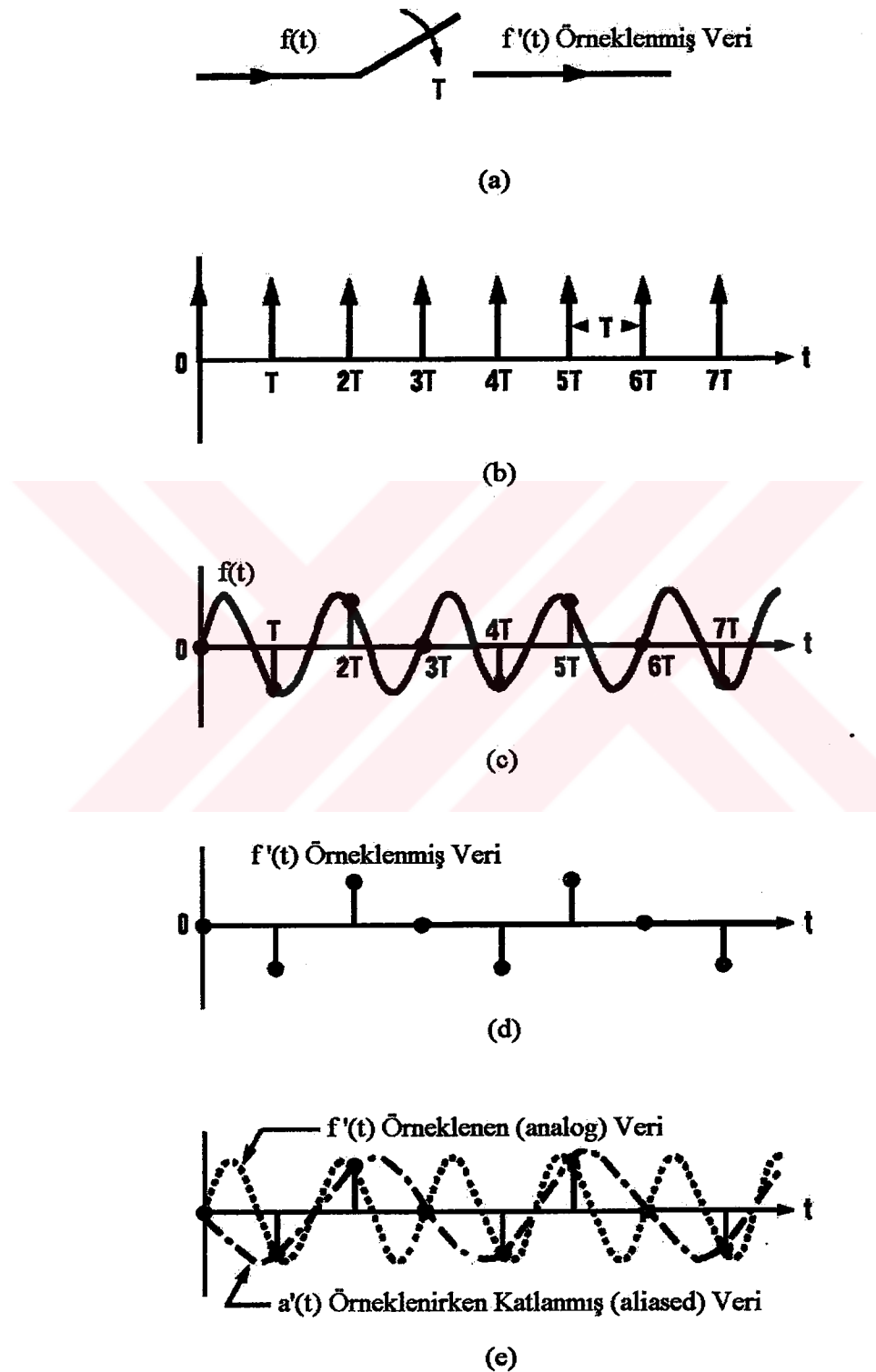
Bir prosesin tanılanması ve modellenmesinde ilk adım, hedeflenen amaca uygun verilerin güvenilir bir biçimde toplanmasıdır. Verinin bilgisayarda işlenecek olması bu bilgilerin elektrik sinyallerine dönüştürülmesini zorunlu kılmaktadır. Toplanacak verinin analog veya sayısal nitelikte olması, şebekeden veya başka cihazlardan kaynaklanan gürültüler, topraklama hattının kalitesi, deney sisteminde kullanılan mekanik/elektronik elemanların hassasiyeti çalışmayı doğrudan etkileyebilecek konulardır. Bölüm 2'den de görüleceği üzere önerilen çalışmanın hassasiyeti eldeki mevcut imkanlar çerçevesinde en üst seviyeye çıkarılmıştır.

Bu çalışmada; veri toplama amacıyla deney düzeneğine uygun bir sinyal göndererek sistemin bu sinyale tepkisini giriş sinyaliyle birlikte bilgisayar ortamına kaydetmek için Adaptech firmasının Wintrac programı kullanılmaktadır. Toplanan verinin analog olması dolayısıyla aliasing etkileri, analog anti-aliasing filtreleri, sayısal ortama alınan verinin ise yüksek örnekleme hızı, sayısal alçak geçiren (sayısal anti-aliasing amaçlı) filtre, sayısal türev alıcı, sayısal faz düzeltme konuları önem kazanmaktadır. İlerleyen alt bölümlerde bu konular incelenmektedir.

#### **3.2. Örnekleme Teoremi**

1949 yılında C.E. Shannon tarafından verilen örnekleme teoremiyle;  $f(t)$  zaman fonksiyonunun frekans içeriği hakkında şu kısıtlama verilmektedir: “ $f(t)$  işaret fonksiyonunun dalga şeklini tam olarak korumak veya analog olarak geri kazanabilmek için  $f(t)$ 'yi içerisindeki en yüksek frekans bileşeninden en az iki kat daha hızlı örnelemek gerekir” [17]. Bir sinyalin bu hızdan daha küçük bir hızda örnekleşmesi aliasing (katlanma) olayı olarak bilinen bir olayı doğurur. Öyleki bu yüksek frekanslı bileşenler tamamen başka bir frekansdaki işaretler gibi gözükür. Bu

sebeple örneklenmiş işaretin içerdiği frekansların analog işaretteki frekansların aynı özellikte olduğu veya yüksek frekanslı bir işaretin katlanma etkisiyle karışık olduğu ayırdedilemez. Aliasing etkisini daha iyi açıklamak için Şekil 3.1 verilmektedir.

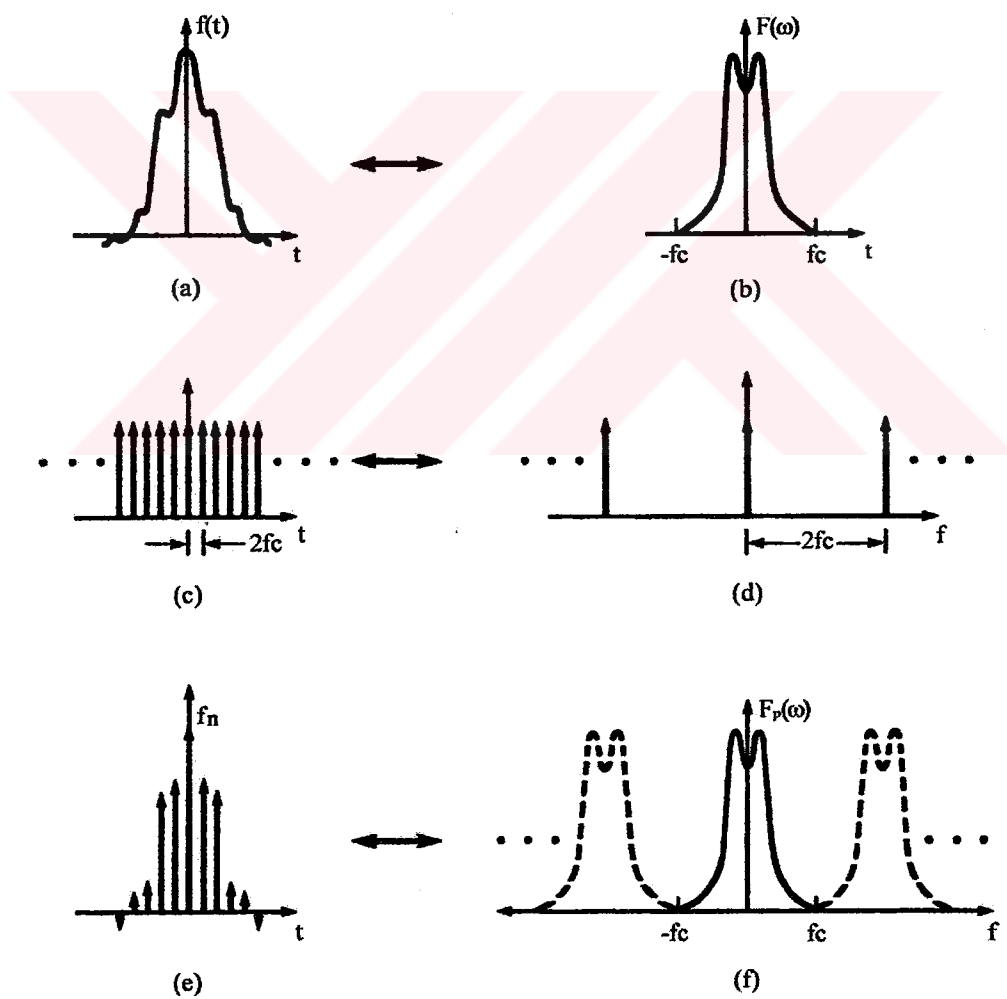


Şekil 3.1 Örnekleme sırasında oluşan aliasing etkisi

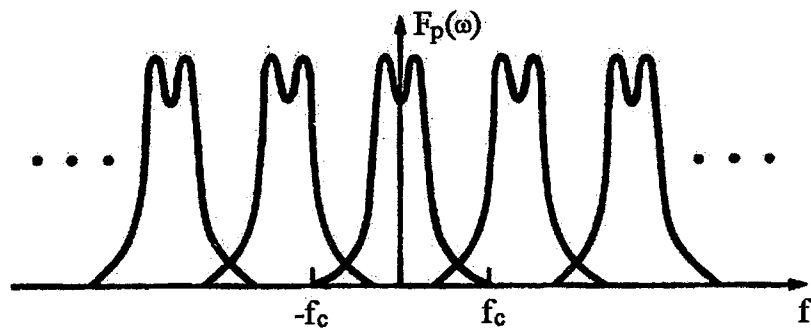
Örneklem teoreminin matematiksel ifadesi ise şöyledir: Eğer bir  $f(t)$  işaret fonksiyonunun  $F(\omega)$  Fourier dönüşümü  $|\omega| \geq \omega_c$  olan bütün frekanslar için sıfır ise  $f(t)$ 'nin  $f_n = f(nT)$  örneklenmiş değerlerinden bir tek  $f(t)$  fonksiyonu bulunur. Bu değerler  $\frac{1}{2f_c} = \frac{T_c}{2} = T$  şeklinde eşit aralıklarla örneklenmişse:

$$f(t) = \sum_{n=-\infty}^{\infty} f(nT) \frac{\sin \omega_c (t - nT)}{\omega_c (t - nT)} \quad (3.1)$$

ile ifade edilebilir. Şekil 3.2 ve 3.3'te aliasing olayı olan ve olmayan Fourier dönüşümleri verilmektedir.



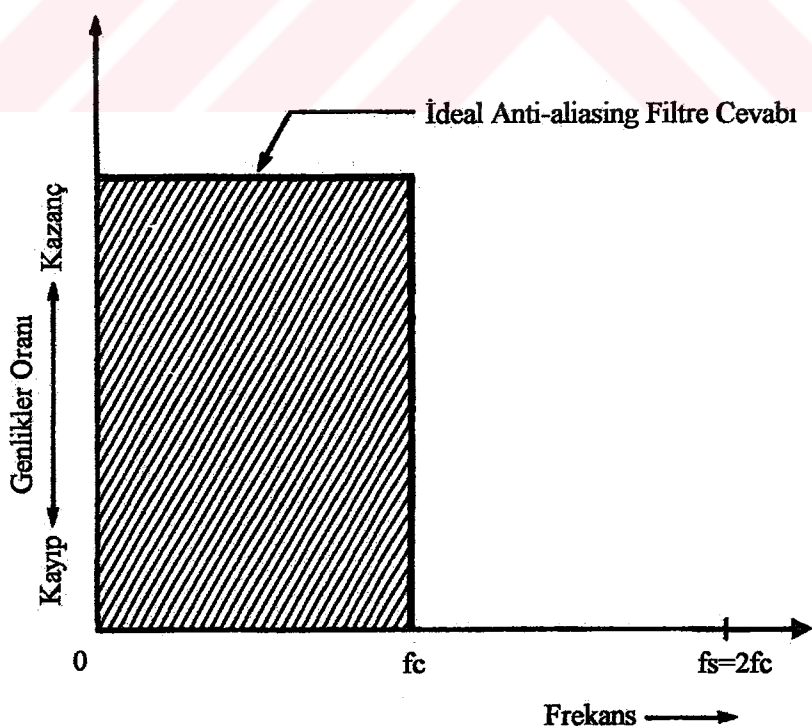
Şekil 3.2 Örneklenmiş bir işaretin aliasing olayı olmaksızın Fourier dönüşümü



Şekil 3.3 Örneklenmiş bir işaretin aliasing olayı varken Fourier dönüşümü

### 3.3. Analog Anti-Aliasing Filtreleri

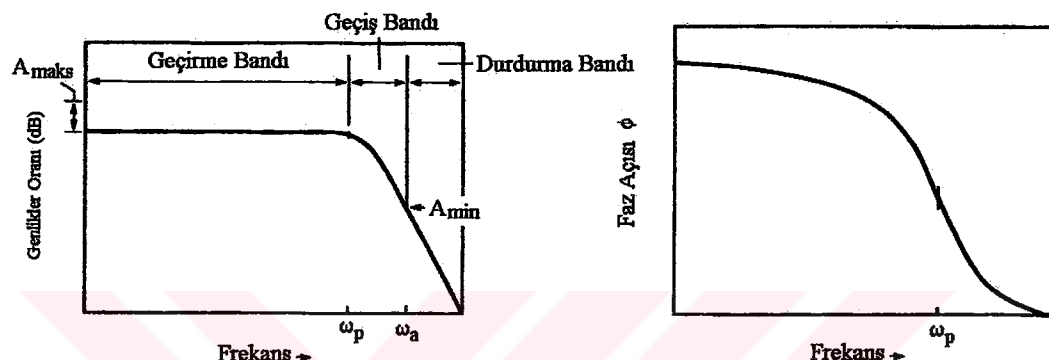
Bir önceki alt başlıkta ifade edilen aliasing olayından kaçınmak için sistemdeki en yüksek frekanstaki bileşenden iki kat daha hızlı örnekleme yapmak çözüm olarak gözükse de gerçek ortamındaki sinyallerin çoğu frekans yelpazesinin hemen hemen tamamını kapsayan beyaz gürültü gibi sinyallerle karışık bulunmaktadır. Bu durumda akılçıl olamayacak ölçüde yüksek frekanslarda örnekleme yapmak gerekecektir. Bu zorluk; örneklemeden önce analog sinyalin istenmeyen



Şekil 3.4 İdeal anti-aliasing filtre

frekanslarının bir ön filtrelemeye tabi tutulmasıyla giderilebilir. Bu ön filtre, anti-aliasing (katlanma-önler) filtre olarak da adlandırılmasında olup örneğin alçak geçiren filtre kullanılması durumunda veri örneklemeye sistemi sadece filtrenin geçmesine izin verdiği frekans içeriğine maruz kalacaktır. İdeal anti-aliasing filtre genlikler oranı-frekans diyagramı Şekil 3.4'te verilmektedir.

Gerçekte filtreler ideal olmadıkları için genlikler oranı ve faz açısının frekansa göre değişimi Şekil 3.5'te verildiği gibidir:



Şekil 3.5 Anti-aliasing filtre genlikler oranı ve faz açısı değişimi

Veri örneklemeye sistemlerinde, Nyquist frekansından büyük frekansların A/D çevircisinin algılayamayacağı yada göremeyeceği bir seviyeye kadar zayıflatılması, filtrenin ideal hale yaklaşması olarak düşünülebilir. Bu seviye, tipik olarak rms kuantizasyon gürültü seviyesinden az olmalıdır.

Bu değer ise:

$$\epsilon(n)_{rms} = \frac{q}{2\sqrt{3}} \quad (3.2)$$

şeklinde tanımlanmaktadır. Filtrenin  $A_{min}$  değeri ise,  $n$  ADC bit sayısı olmak üzere

$$A_{min} = -20 \log_{10}(2^n 2\sqrt{3}) \text{ dB} \quad (3.3)$$

olarak bulunur.

Şekil 3.5 hatırlanırsa,  $\omega_a$ 'dan büyük frekanslar A/D çevirici tarafından algılanamayacağından, veri örnekleme sistemi  $\omega_s \geq 2 \omega_a$  olarak tanımlanabilir. Ancak geçiş bandındaki faz çarpılmasının (distorsyon) geçirme bandına kıyasla çok fazla olduğu da gözönüne alınırsa, veri örnekleme sisteminin geçirme bandında çok daha hassas olduğu görülecektir. Bir diğer konu da filtrenin geçirme bandındaki genlikler oranı cevabının mümkün olduğunda düz olmasıdır. Aksi takdirde geçirme bandındaki bazı frekanslarda filtreden kaynaklanan zayıflama veya kuvvetlenme etkileri ortaya çıkacağından verilerin bozulmasına yol açacaktır.

Anti-aliasing amaçlı alçak geçirilen filtre tipleri olarak; geçirme bandı düzgünliği en çok olan Butterworthfiltresi, geçirme bandı hızlı olan eliptik filtre, bu iki filtrenin bazı özelliklerini birleştiren Chebyshev filtreleri ve en çok lineer faz cevabı gösteren Besselfiltresi sayılabilir [18].

### 3.4. A/D Çeviriciler

Anti-aliasingfiltrelemeden sonra veriler, sonlu bir zaman dilimi içinde kuantlama ve kodlama işlemlerinin gerçekleştirildiği analog/sayısal (kısaca A/D) çeviricilerden geçirilir. Şekil 3.6'da sürekli analog bir giriş işaretinin kuantizasyon işlemi gösterilmektedir.  $q$  kuantizasyondaki en küçük adım olsun. Bu değer aynı zamanda sayısal olarak en küçük anlamlı bitin (LSB) gerilim cinsinden değeri olmaktadır.  $f(n)$ ,  $f(t)$  giriş işaretinin örneklenmiş değerini,  $f_q(n)$  ise kuantlanmış (nicemlenmiş) değerini göstermek üzere  $\epsilon(n)$  fark işaretini şöyle tanımlanabilir:

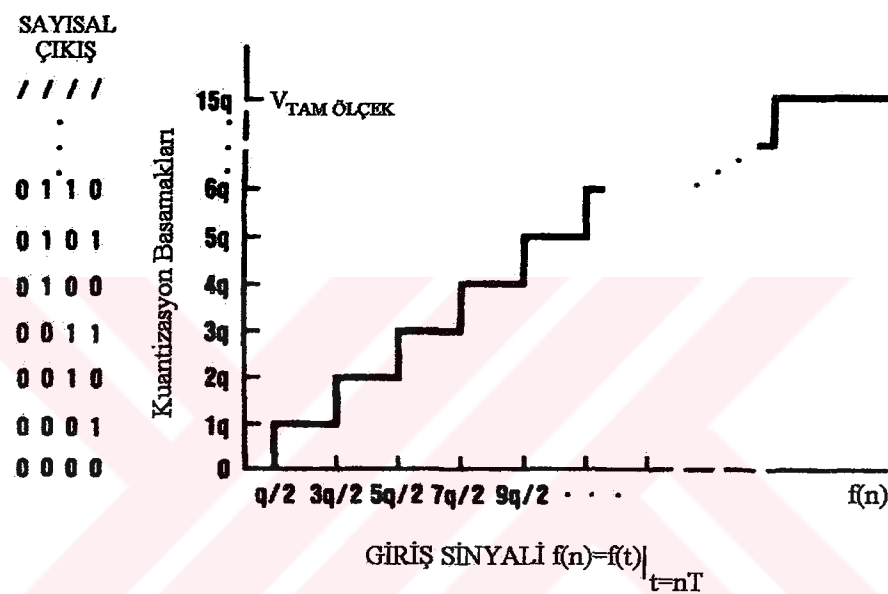
$$\epsilon(n) = f(n) - f_q(n) \quad (3.4)$$

Bu denklem kuantizasyon gürültüsü veya hatası olarak da adlandırılmakta olup azaltılamayan ve kuantizasyon işleminin bir fonksiyonu olan hatadır. Bu hatanın genliği kuantizasyon seviyelerinin sayısına diğer bir deyişle kuantlayıcının çözünürlüğünə bağlı olup maksimum kuantizasyon hatası  $|q/2|$ 'dır.

Genellikle  $\epsilon(n)$ , olasılık yoğunluk fonksiyonu açısından tanımlandığında rastgele hata olarak ele alınır. Bu ise,  $\epsilon(n)$  bütün değerlerinin  $-q/2$  ile  $q/2$  arasında eşit olarak

olası olduğu anlamına gelir, dolayısıyla ortalama değerin  $\epsilon(n)_{\text{ort}} = 0$  ve rms değerinin  $\epsilon(n)_{\text{rms}} = q/2\sqrt{3}$  olduğu kabul edilir.

A/D çeviricilerin seçimindeki bir diğer önemli nokta da bütün analog işaretlerde az veya çok gürültü karışması olması sebebiyle A/D çeviricinin çözünürlüğünün (bit sayısının) gereksiz yere fazla seçilmemesi gerektidir. Çözünürlüğün aşırı artırılması, analog işaretin işaret/gürültü oranından daha yüksek bir işaret/gürültü oranı olan sayısal işaret elde edilmesine yol açmayacaktır.



Şekil 3.6 Kuantizasyon işlemi ve kuantizasyon hatası

A/D çeviricilerde çevirme zamanı analog giriş işaretinin, eşdeğeri sayısal değerine çevirmek için geçen zaman olarak tanımlanır. Herhangi bir uygulamadaki gerekli olan çevirme hızı, çevrilecek işaretin zamanla değişimine ve çözünürlük miktarı  $N$ 'ye bağlıdır. Anti-aliasing filtre, örneklenen verilerin frekans yelpazesini sınırladığı için giriş işaretinin değişim hızının kontrol edilmesini de sağlar. Ancak herhalukarda çevirme işlemi için sınırlı bir zamana ihtiyaç vardır. Bu zaman açıklık

zamanı (aperture time) olarak da tanımlanır. Bir A/D çevircisinin algılayabileceği değişim hızı aşağıdaki formülle verilmektedir:

$$\left. \frac{dv}{dt} \right|_{\text{en yüksek çözülebilir değişim hızı}} = \frac{V_{\text{tamölçek}}}{2^n T_{\text{çevirme zamanı}}} = \frac{q}{T_{\text{çevirme zamanı}}} \quad (3.5)$$

Eğer giriş işaretini bu hızdan büyük değişim hızını haiz ise örnekleme anında 1 LSB'lik değişimler algılanamayacaktır.

### 3.5. Sayısal Alçak Geçiren Filtreler

A/D çevirciden gelen sayısal veriler, kullanılmadan önce çeşitli sayısal filtreleme teknikleriyle filtrelenebilirler. Önerilen çalışmada çevrim-dışı (off-line), ardışık olmayan (non-recursive), geri besleme içermeyen, nedensel olmayan (non-causal) bir filtreleme tekniği olan sonlu impuls cevaplı (kısaca FIR) alçak geçiren filtreler kullanılmaktadır. FIR filtrelerinin şu avantajları vardır [19]:

1. FIR filtreler mükemmel bir doğrusallıkta faz açısını haiz olarak tasarımlanabilirler. Böylece faz açısı çarpılması olmaksızın filtreleme yapılabilir.
2. FIR filtrelerinde geri besleme olmadığı için polleri de yoktur. Bu yüzden her zaman kararlıdırlar.
3. FIR filtrenin tasarımını için analog bir prototipe ihtiyaç yoktur. Dolayısıyla analog eşdeğeri olmayan sayısal filtreler gerçekleştirilebilir.

FIR alçak geçiren filtrenin formülasyonu aşağıda verilmektedir:

Sayısal darbe transfer fonksiyonu;

$$H(z) = \sum_{n=-\infty}^{\infty} h(nT) z^{-n} \quad (3.6)$$

ile verilmiş olsun.  $f_s$  örnekleme frekansı,  $r = f/f_s$  normalize frekans,  $z = e^{j2\pi r}$  olmak üzere:

$$H(e^{j2\pi r}) = \sum_{n=-\infty}^{\infty} h(nT) e^{-j2\pi n r} \quad (3.7)$$

şeklinde yazılabilir. Bir darbe transfer fonksiyonunun birim darbe cevabı değerleri

$$h(nT) = \int_{-1/2}^{1/2} H(e^{j2\pi r}) e^{j2\pi n r} dr \quad (3.8)$$

ile verilmektedir.

İdeal bir sayısal alçak geçiren filtre,  $r_d$  filtrerin istenen kesim frekansı olmak üzere aşağıdaki sayısal transfer fonksiyonu ile ifade edilebilir:

$$H_d(e^{j2\pi r}) = \begin{cases} 1 & |r| \leq r_d \\ 0 & r_d < |r| < 0,5 \end{cases} \quad (3.9)$$

(3.9)'daki mutlak değer ifadeleri daha açık bir şekilde düzenlenerek;

$$H_d(e^{j2\pi r}) = \begin{cases} 0 & -0,5 < r < -r_d \\ 1 & -r_d \leq r \leq r_d \\ 0 & r_d < r < 0,5 \end{cases} \quad (3.10)$$

elde edilir. Bu ifade, (3.8) denkleminde integral sınırları düzenlenerek aşağıdaki şekilde yazılabilir:

$$h_d(nT) = \int_{-1/2}^{-r_d} 0 \cdot e^{j2\pi n r} dr + \int_{-r_d}^{r_d} 1 \cdot e^{j2\pi n r} dr + \int_{r_d}^{1/2} 0 \cdot e^{j2\pi n r} dr$$

bu ifadedeki birinci ve üçüncü integral terimleri sıfır eşit olduğundan

$$h_d(nT) = \int_{-r_d}^{r_d} e^{j2\pi n r} dr = \frac{1}{j2\pi n} (e^{j2\pi n r_d} - e^{-j2\pi n r_d})$$

olarak sadeleştirilebilir. Sonuç olarak ideal alçak geçiren filtre birim darbe cevabı

$$h_d(nT) = \frac{\sin(2r_d \pi n)}{\pi n} \quad (3.11)$$

elde edilir. Bu ifade ile ideal alçak geçiren filtrenin ( $-\infty < n < \infty$ ) aralığında filtre ağırlıkları hesaplanabilir. Ancak uygulamada  $n$  değerinin  $-\infty$ 'dan  $+\infty$ 'a kadar değişmesi mümkün değildir. Bu sebeple  $n$  belirli değerler arasında (artık ideal olmayan filtre elde edilmektedir) sınırlandırılır. Bu sınırlama işlemi için pencere fonksiyonları kullanılmaktadır.

$$w_R(n) = \begin{cases} 1 & |n| \leq M \\ 0 & |n| > M \end{cases} \quad (3.12)$$

ile tanımlanan bir pencere fonksiyonu dikdörtgen pencere fonksiyonu olup ideal filtre birim darbe cevabının belirli bir noktadan sonra kesildiği (truncation) hale karşılık gelir. Daha açık bir ifadeyle sonsuz uzunluktaki bir Fourier serisinin sonlu uzunlukta Fourier serisine dönüştürülmesi olarak yorumlanabilir. Dikdörtgen pencereli alçak geçiren filtre birim darbe cevabı aşağıdaki gibi yazılabilir:

$$h_R(nT) = \begin{cases} \frac{\sin(2r_d \pi n)}{\pi n} & -M \leq n \leq M \text{ ve } n \neq 0 \\ 2r_d & n = 0 \end{cases} \quad (3.13)$$

(3.12) ile verilen kesme işlemi sonucu Gibbs olayı adı verilen hata ortaya çıkar. Bu hatayı düzeltmek yada azaltmak için çeşitli pencere fonksiyonları önerilmektedir. Bunlardan birisi olan Hamming penceresi bu çalışmada da tercih edilecektir. Hamming pencere fonksiyonu aşağıdaki gibi tanımlanmaktadır:

$$w_H(n) = 0,54 + 0,46 \cos \frac{\pi n}{M} \quad -M \leq n \leq M \quad (3.14)$$

Hamming pencereli alçak geçiren filtre birim darbe cevabı

$$h_H(nT) = w_H(n) h_R(nT) \quad -M \leq n \leq M \quad (3.15)$$

olmaktadır. Sözkonusu filtrenin darbe transfer fonksiyonu;

$$H_H(z) = \sum_{n=-M}^M h_H(nT) z^{-n} \quad (3.16)$$

ile verilmekte olup bu  $N_f = 2M+1$  adet filtre ağırlığı içeren nedensel olmayan filtre transfer fonksiyonudur. Filtrenin genlikler oranını veren denklem  $h_H(-nT) = h_H(nT)$  olduğu da gözönüne alınarak aşağıda çıkarılmaktadır:

$$H_H(z) = h_H(0) z^0 + \sum_{n=1}^M h_H(nT) (z^n + z^{-n})$$

Bu ifadede  $z = e^{j2\pi r}$  yazılırsa;

$$H_H(e^{j2\pi r}) = h_H(0) + \sum_{n=1}^M h_H(nT) (e^{j2\pi n r} + e^{-j2\pi n r})$$

elde edilir. Euler teoremi kullanılarak,

$$H_H(e^{j2\pi r}) = h_H(0) + \sum_{n=1}^M h_H(nT) 2 \cos(2\pi n r)$$

bulunur. Denklem tekrar düzenlenirse;

$$H_H(e^{j2\pi r}) = 2 \left[ r_d + \sum_{n=1}^M (0,54 + 0,46 \cos \frac{\pi n}{M}) \frac{\sin(2r_d \pi n)}{\pi n} \cos(2\pi n r) \right] \quad (3.17)$$

elde edilir.

(3.17) denklemine bakıldığında transfer fonksiyonunun gerçek olduğu (imajiner kısmı olmadığı) dolayısıyla faz açısı cevabının bütün  $r$  değerleri için sıfır olduğu görülür. Bu ise nedensel olmayan bu filtrenin hem gecikmeye hemde faz çarpılmasına yol açmadığını kanıtlar. Genlikler oranı ifadesi ise;

$$A_H(r) = 2 \left[ r_d + \sum_{n=1}^M (0,54 + 0,46 \cos \frac{\pi n}{M}) \frac{\sin(2r_d \pi n)}{\pi n} \cos(2\pi n r) \right] \quad (3.18)$$

şeklinde yazılabilir.

### 3.6. Sayısal Türev Alıcılar

İdeal analog türev alıcının transfer fonksiyonu:

$$G(s) = s \quad (3.19)$$

Bu fonksiyonun kompleks değişkenli fonksiyonu  $s \rightarrow j\omega$  yazarak;

$$G(j\omega) = j\omega \quad (3.20)$$

ile tanımlanmaktadır [20].

$\omega = 2\pi f$ ,  $r = f/f_s$  eşitlikleri (3.20)'de yazılırsa istenilen sayısal filtre cevabı:

$$H_d(e^{j2\pi r}) = j2\pi f_s r \quad (3.21)$$

elde edilir. Birim darbe cevabı (istenen)

$$h_d(nT) = \int_{-1/2}^{1/2} H_d(e^{j2\pi r}) e^{j2\pi n r} dr \quad (3.22)$$

$$h_d(nT) = \int_{-1/2}^{1/2} j2\pi f_s r e^{j2\pi n r} dr = j2\pi f_s \int_{-1/2}^{1/2} r e^{j2\pi n r} dr$$

bu ifadeye kısmi integrasyon yöntemi uygulanırsa;

$$h_d(nT) = j2\pi f_s \left( r \frac{1}{j2\pi n} e^{j2\pi n r} \Big|_{-1/2}^{1/2} - \frac{1}{j2\pi n} \int_{-1/2}^{1/2} e^{j2\pi n r} dr \right)$$

$$h_d(nT) = \frac{f_s}{n} \left[ \frac{1}{2} (e^{j\pi n} + e^{-j\pi n}) - \frac{1}{j2\pi n} (e^{j\pi n} - e^{-j\pi n}) \right]$$

Euler teoremi kullanılarak;

$$h_d(nT) = \frac{f_s}{n} (\cos \pi n - \frac{1}{\pi n} \sin \pi n) \quad (3.23)$$

bulunur.  $\cos \pi n = (-1)^n$  ve  $\frac{\sin \pi n}{\pi n} = \delta(n)$  ifadeleri yerine yazılıarak istenen türev

alıcı birim darbe cevabı:

$$h_d(nT) = \begin{cases} 0, & n = 0 \\ \frac{f_s}{n} (-1)^n, & n \neq 0 \end{cases} \quad (3.24)$$

elde edilir.

(3.24) formülü ( $-\infty < n < \infty$ ) aralığında ideal türev alıcı içindir.  $-M < n < M$  aralığı için dikdörtgen pencere (3.12)'de verilmektedir. Dikdörtgen pencereli türev alıcı birim darbe cevabı ise;

$$h_R(nT) = w_R(n) h_d(nT) \quad (3.25)$$

$$h_R(nT) = \begin{cases} 0, & n = 0 \text{ ve } |n| > M \\ \frac{f_s}{n} (-1)^n, & n \neq 0 \text{ ve } |n| \leq M \end{cases} \quad (3.26)$$

Dikdörtgen pencere kullanılması türev alıcıda da Gibbs olayına dolayısıyla hataya yol açmaktadır. Bu hatalar diğer pencere fonksiyonları kullanılarak azaltılabilir. Bu amaçla Hamming penceresi seçilmiştir. ((3.14) denklemine bakınız) Hamming pencereli türev alıcı birim darbe cevabı (3.15) denklemiyle ifade edilebilir. Türev alıcının darbe transfer fonksiyonu olarak (3.16) kullanılabilir. Türev alıcının uzunluğu  $N_f = 2M+1$  olarak verilmektedir. Türev alıcının genlikler oranı

$$h_H(-nT) = -h_H(nT)$$

olduğu da gözönüne alınarak aşağıda çıkarılmaktadır. Türev alıcının darbe transfer fonksiyonu (3.16) denklemi ile verilmiş olsun.

$$H_H(z) = \sum_{n=-M}^M h_H(nT)z^{-n} = \sum_{n=-M}^{-1} h_H(nT)z^{-n} + h_H(0)z^0 + \sum_{n=1}^M h_H(nT)z^{-n}$$

$$H_H(z) = \sum_{n=1}^M h_H(-nT)z^n + 0 \cdot z^0 + \sum_{n=1}^M h_H(nT)z^{-n}$$

$$H_H(z) = \sum_{n=1}^M -h_H(nT)z^n + \sum_{n=1}^M h_H(nT)z^{-n}$$

$$H_H(z) = \sum_{n=1}^M -h_H(nT)(z^n - z^{-n})$$

$z = e^{j2\pi r}$  dönüşümü yapılarak;

$$H_H(e^{j2\pi r}) = \sum_{n=1}^M -h_H(nT)(e^{j2\pi nr} - e^{-j2\pi nr})$$

Euler teoremi kullanılarak;

$$H_H(e^{j2\pi r}) = \sum_{n=1}^M -h_H(nT)2j\sin(2\pi nr)$$

$$H_H(e^{j2\pi r}) = -\sum_{n=1}^M (0,54 + 0,46 \cos \frac{\pi n}{M}) \frac{f_s}{n} (-1)^n 2j\sin(2\pi nr) \quad (3.27)$$

elde edilir.

(3.27) denklemine bakıldığında transfer fonksiyonunun imajiner olduğu (gerçek kısmı olmadığı) görülmektedir. Bu ise söz konusu nedensel olmayan transfer fonksiyonunun (sadece türev etkisinden kaynaklanan)  $90^\circ$  ileriye sabit faz açısı

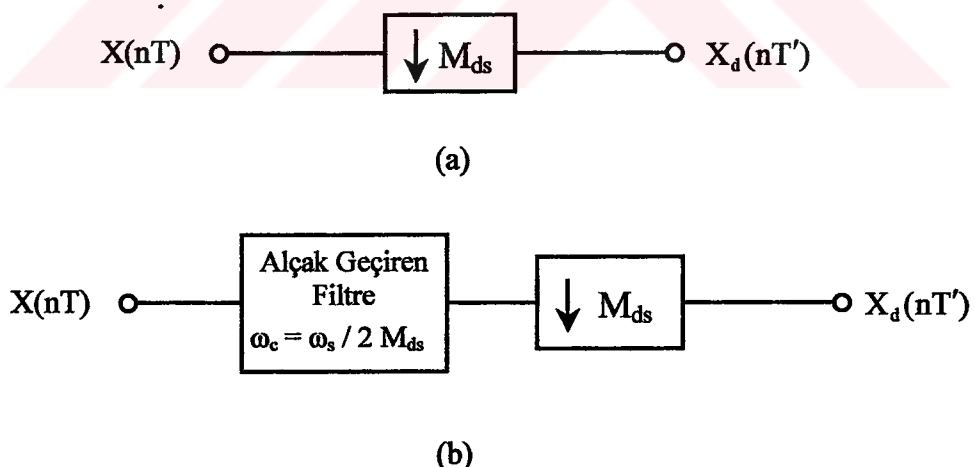
değişmesine sebep olduğu, bunun dışında faz açısı çarpılması meydana getirmediği anlamına gelmektedir. Genlikler oranı ifadesi ise:

$$A_H(r) = -\sum_{n=1}^M (0,54 + 0,46 \cos \frac{\pi n}{M}) \frac{f_s}{n} (-1)^n 2 \sin(2\pi n r) \quad (3.28)$$

şeklinde yazılabilir.

### 3.7. Desimatörler

Birçok teknik nedenden ötürü bir örneklem frekansını kullanarak ayrik zamanlı bir işareti depolamak yada kaydetmek fakat başka bir örneklem frekansını kullanarak iletmek yada işlemek tercih edilebilir. Bir örneklem frekansından diğerine dönüşüm dolaylı yolla, ayrik zamanlı işareti sürekli zamanlı işarette dönüştürüp sonra farklı bir hızda örneklemek yoluyla gerçekleştirilebilir. Ancak bu yöntem, kuantizasyon gürültüsü,  $\sin\omega/\omega$  çarpılması vs. gibi sorunlar meydana getirecektir. Bu sebeple analoğa çevirmeden desimatör ve interpolatör olarak bilinen bir tür sayısal filtreler kullanarak ayrik zaman domeninde dönüşüm diğer bir seçenek olarak düşünülebilir.



Şekil 3.7 a) Aşağıya örnekleyici b) Desimatör

Desimatörler örneklem frekansını azaltmak için kullanılırken interpolatörler artırmak için kullanılırlar. Önerilen çalışmada sadece frekans azaltması yapıldığı için desimatörlere yer vermekle yetinilecektir.  $M_{ds}$  frekans azaltma oranı olmak üzere

Şekil 3.7'de hem aşağıya örnekleyici hemde desimatörün blok diyagramı görülmektedir.

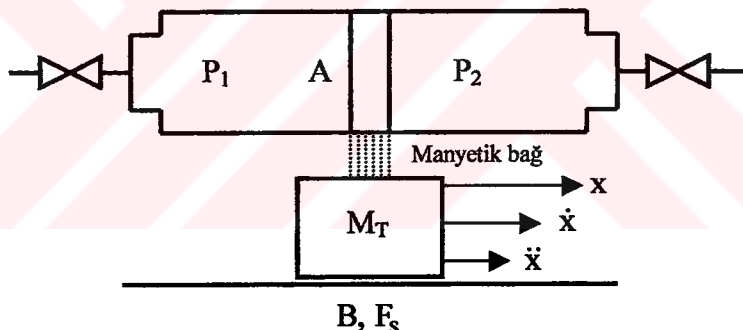
Eğer bir sayısal veri sadece  $M_{ds}$  adımda bir sayısal olarak örnekleñerek frekansı düşürülüyorrsa bu olaya aşağıya örneklemeye (down sampling) adı verilmekte olup işaretin yüksek frekans içeriğinden dolayı sayısal aliasing etkileri ortaya çıkmaktadır. Bu sebeple aşağıya örneklemeden önce uygun bir alçak geçiren sayısal filtreden geçirilen veride, yüksek frekans içeriği olmayacağından sayısal aliasing etkileri olmayacağındır. Önce sayısal alçak geçiren filtreleme sonra aşağıya örneklemeye şeklinde olan bu konfigürasyona desimatör adı verilmektedir.

## 4. PNÖMATİK SİSTEMİN MATEMATİK MODELİ

### 4.1. Giriş

Pnömatik sistem başlıca üç kısımdan oluşmaktadır: Bunlardan ilki, hareketin üretiliği piston ve araba kütlelerinin dinamğini ifade eden silindir (mekanik) modeli, ikincisi silindirdeki odacıklardaki basınç değişimlerini ifade eden basınç modeli, üçüncüüsü ise silindir odacıklarına giren yada çıkan hava debilerini ifade eden valf modelidir.

### 4.2. Silindir Modeli



Şekil 4.1 Çubuksuz silindir dinamiği şematik gösterimi

Şekil 4.1'de gösterilen model için:

x : Konum (m)

v =  $\dot{x}$  : Hız (m/s)

a =  $\ddot{x}$  : İvme ( $m/s^2$ )

P<sub>1</sub> : 1. odacıktaki basınç (bar)

P<sub>2</sub> : 2. odacıktaki basınç (bar)

A : Çubuksuz silindir piston kesit alanı ( $m^2$ )

M<sub>T</sub> : Toplam hareketli kütle (kg)

B : Viskozy sürtünme kuvveti katsayısı (kg/s)

$F_s$  : Statik veya dinamik (Coulomb) kuru sürtünme kuvveti (N)

olarak verilsin. Arabanın hareket denklemi:

$$M_T \ddot{x} + B \dot{x} + F_s = A(P_1 - P_2) \quad (4.1)$$

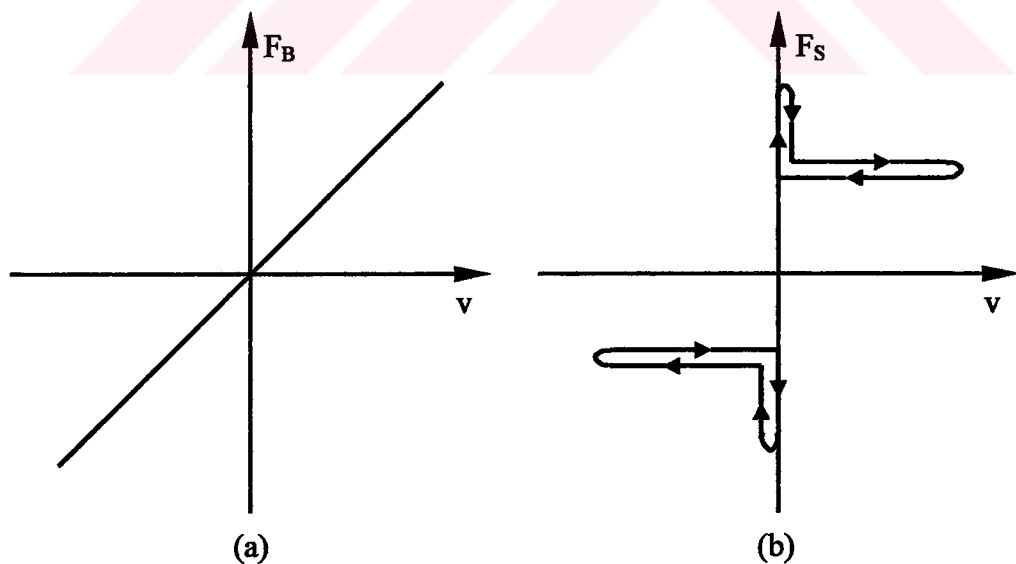
şeklinde olup  $\ddot{x}$  yalnız bırakılırsa;

$$\ddot{x} = -\frac{B}{M_T} \dot{x} + \frac{A}{M_T} (P_1 - P_2) - \frac{F_s}{M_T} \quad (4.2)$$

elde edilir.  $v = \dot{x}$  olduğundan;

$$\dot{v} = -\frac{B}{M_T} v + \frac{A}{M_T} (P_1 - P_2) - \frac{F_s}{M_T} \quad (4.3)$$

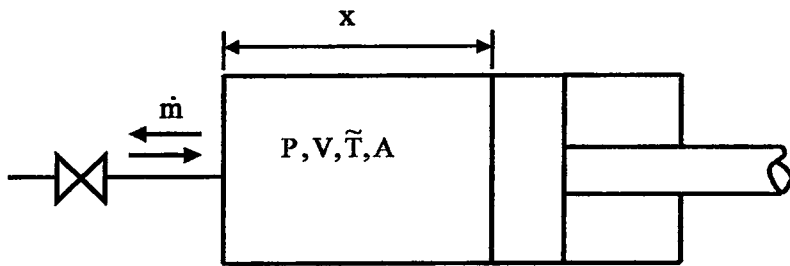
bulunur. Pistonun hareketsiz olduğu halde sistemde bulunan statik kuru sürtünme kuvveti hareketin başlamasıyla birlikte yerini dinamik (Coulomb) kuru sürtünme kuvveti ve viskoz sürtünme kuvvetine bırakır. Viskozy sürtünme ve kuru sürtünme kuvvetlerinin hızla ilişkisi Şekil 4.2'de verilmektedir.



Şekil 4.2 Sürtünme-hız ilişkileri: (a) viskozy sürtünme, (b) kuru sürtünme

### 4.3. Basınç Modeli

Basınç denklemlerini elde etmek için kapalı bir hacimdeki (kontrol hacmi) havanın, hacme eklenen veya çıkarılan hava debisi ve kontrol hacminin büyüklüğünün değişmesi (büyümesi veya küçülmesi) halinde göstereceği basınç değişikliği incelenecaktır. Böyle bir kontrol hacmi Şekil 4.3'te gösterilmektedir.



Şekil 4.3 Pnömatik bir kontrol hacminin basitçe gösterimi

- $m$  : Havanın kütlesi (kg)
- $V$  : Kontrol hacmi ( $m^3$ )
- $\rho$  : Havanın yoğunluğu ( $kg/m^3$ )

olmak üzere;

$$m = \rho V \quad (4.4)$$

ile verilmektedir. Havanın kütle debisi ise birim zamandaki kütle değişimi olup;

$$\dot{m} = \frac{dm}{dt} = \frac{d}{dt}(\rho V) \quad (4.5)$$

şeklindedir. Hava, ideal gaz kabul edilirse  $R$  evrensel gaz sabiti,  $P$  kontrol hacmi basıncı,  $\tilde{T}$  kontrol hacmi sıcaklığı ( $^{\circ}\text{K}$ ) olmak üzere;

$$\rho = \frac{P}{R \tilde{T}} \quad (4.6)$$

yazılabilir. (4.6), (4.5)'te yazılırsa;

$$\dot{m} = \frac{d}{dt} \left( \frac{PV}{R \tilde{T}} \right) \quad (4.7)$$

elde edilir. Bu ifadedeki türevler kaldırılarak rahatlıkla ideal gaz denklemine geçilebilir [21]:

$$PV = m R \tilde{T} \quad (4.8)$$

Enerjinin korunumu ilkesine göre kapalı bir sisteme depolanan enerji sisteme giren ve çıkan enerjilerin farkına eşittir. Sistemde hem ısı akışının olduğu hem de sistemin iş yaptığı düşünülerek ve enerjinin korunumu ilkesi uygulanarak;

$$\sum \dot{m}_g h'_g - \sum \dot{m}_c h'_c + \left( \frac{dQ}{dt} - \frac{dW}{dt} \right) = \frac{dE}{dt} \quad (4.9)$$

elde edilir. Burada;

$\dot{m}_g$  : Kontrol hacmine giren havanın kütlesel debisi

$h'_g$  : Kontrol hacmine giren havanın birim kütlesinin toplam enerjisi

$\dot{m}_c$  : Kontrol hacminden çıkan havanın kütlesel debisi

$h'_c$  : Kontrol hacminden çıkan havanın birim kütlesinin toplam enerjisi

$Q$  : Kontrol hacmindeki ısı akısı

$W$  : Kontrol hacminin çevreye yaptığı iş

$E$  : Kontrol hacmindeki havanın enerjisi

olmaktadır.

Gaz molekülleri devamlı olarak hareket halindedirler. Bu daimi hareket milyonlarca gaz molekülünün aralarında çarpışmalarından meydana gelmektedir. Hareket halindeki moleküllerin kinetik enerjileri vardır. Her hareket halindeki molekül ya diğer bir molekül veya içinde bulunduğu kabın cidarına çarpıncaya kadar belirsiz bir yönde yol alır. Yapılan kaba tahminlere göre oda sıcaklığındaki bazı moleküllerin gelişigüzel yöndeki hızı 500 m/s kadar olup çarptığı diğer bir molekül veya içinde bulunduğu kap cidarı arasındaki ortalama katettiği uzaklık ise 0,0001 mm kadardır. Gaz moleküllerinin içinde bulundukları kabın cidarlarına çarpma sayısı o gazın

basıncına bağlıdır. Bir gazda bulunan bütün moleküller aynı kinetik enerjiye sahip olmamakla beraber bu moleküllerin büyük çoğunluğunun enerji değeri bütün moleküllerin ortalama kinetik enerji miktarına yakın bir değerdedir. Sıcaklıktaki herhangi bir artış moleküllerin hareket hızlarını artırır. Böylece bir gazın sıcaklığı, moleküllerin ortalama kinetik enerjisinin bir ölçüsüdür. Sıcaklık ve basınç değişmediği takdirde, bir kab içinde bulunan bir gaz daima sabit şartlarda bulunur. Bu da, gaz moleküllerinin birbirlerine veya cidara çarpmalarıyla kinetik enerjilerinden herhangi bir eksilme olmadığını gösterir. Yani bu moleküller birbirlerine çarptığı zaman, daima kinetik enerjilerini olduğu gibi korurlar. Aksi halde gaz moleküllerinin sürekli hareketi zamanla durmuş olurdu [22].

Belirli bir gaz kütlesi için moleküllerin hızı, mutlak sıcaklığın karekökü ile doğru orantılıdır. Diğer bir deyişle bir gazın mutlak sıcaklığı ile hızının karesi doğru orantılıdır. Bir cismin kinetik enerjisi:

$$E = \frac{1}{2} m v_m^2 \quad (4.10)$$

ile verilmektedir. Gazlar için  $\tilde{T} \propto v_m^2$  olduğundan gazın kinetik enerjisi için  $E \propto \tilde{T}$  yazılabilir. Boyut analizi de yapılarak bu ifade;

$$E = c_v m \tilde{T} = c_v \rho V \tilde{T} \quad (4.11)$$

şeklinde somutlaştırılabilir. Burada  $c_v$  havanın sabit hacimdeki özgül ısısıdır.

Kontrol hacmine giren veya kontrol hacminden çıkan havanın birim kütlesinin toplam enerjisi aşağıda verilmektedir:

$$h' = u_h + \frac{P}{\rho} + \frac{v_h^2}{2} + g z_h = \tilde{h} + \frac{v_h^2}{2} + g z_h \quad (4.12)$$

Burada:

$\tilde{h}$  : Havanın entalpisi

$u_h$  : Havanın birim kütlesinin iç enerjisi

$z_h$  : Yükseklik

$v_h$  : Havanın hızı

$g$  : Yerçekimi ivmesidir.

Havanın hızı ve yükseklik enerjisi ihmal edilerek;

$$h' = \tilde{h} = c_p \tilde{T} \quad (4.13)$$

yazılabilir. Burada  $c_p$  havanın sabit basınçtaki özgül ısısıdır.

Fizikte iş, uygulanan kuvvet ile cisime kazandırdığı yolun çarpımı olarak tanımlanır. Bir silindirde pistonun hareketi bir iş yapıldığının göstergesidir. Silindir basıncı  $P$ , piston kesit alanı  $A$  olmak üzere pistona yaptırılan sonsuz küçük  $dx$  yerdeğiştirmesinden doğan iş  $dW$  olsun. Aşağıdaki ifade yazılabilir:

$$dW = P A dx \quad (4.14)$$

Silindir hacmi:

$$V = A x \quad (4.15)$$

ve

$$dV = A dx \quad (4.16)$$

(4.16), (4.14)'te yerine yazılsrsa:

$$dW = P dV \quad (4.17)$$

bulunur. Bu işin  $dt$  ile ifade edilen sonsuz küçük bir zamanda yapıldığı kabul edilerek işin zamana göre değişimi aşağıdaki gibi olur:

$$\frac{dW}{dt} = P \frac{dV}{dt} \quad (4.18)$$

(Yukarıdaki ifadelerde  $dx$  sonsuz küçük yerdeğiştirmesi boyunca  $P$  basıncının sabit kaldığı kabul edilmektedir.)

(4.11), (4.13) ve (4.18) ifadeleri (4.9)'da yerine konursa;

$$c_p \dot{m} \tilde{T} - P \frac{dV}{dt} + \frac{dQ}{dt} = \frac{d}{dt} (c_v \rho V \tilde{T}) \quad (4.19)$$

bulunur. Özgül ıslar, özgül ıslar oranı ve gaz sabiti arasında  $\gamma$  özgül ıslar oranı olmak üzere aşağıdaki bağıntılar vardır:

$$c_p = \frac{\gamma R}{\gamma - 1} \quad \gamma = \frac{c_p}{c_v} \quad R = c_p - c_v \quad (4.20)$$

Kontrol hacmi ile çevre arasında ısı alışverişi olmadığı (adyabatik hal değişimi) kabul edilirse;

$$c_p \dot{m} \tilde{T} - P \frac{dV}{dt} = \frac{c_v}{R} \frac{d}{dt} (P V) \quad (4.21)$$

Türevin özellikleri kullanılarak ve her iki taraf  $c_p$ 'ye bölünerek;

$$\dot{m} \tilde{T} - \frac{P}{c_p} \frac{dV}{dt} = \frac{1}{\gamma R} \left( V \frac{dP}{dt} + P \frac{dV}{dt} \right) \quad (4.22)$$

bulunur. (4.20) ifadeleri kullanılarak (4.22) basınç değişimi yalnız kalacak şekilde düzenlenirse:

$$\frac{dP}{dt} = \frac{\gamma R \tilde{T} \dot{m}}{V} - \gamma \frac{P}{V} \frac{dV}{dt} \quad (4.23)$$

elde edilir. (4.15) denkleminin zamana göre türevi;

$$\frac{dV}{dt} = A \frac{dx}{dt} \quad (4.24)$$

(4.15) ve (4.24), (4.23)'te yazılırsa:

$$\frac{dP}{dt} = \frac{\gamma R \tilde{T} \dot{m}}{Ax} - \gamma \frac{P}{Ax} \left( A \frac{dx}{dt} \right) \quad (4.25)$$

$$\dot{P} = \frac{dP}{dt}, \text{ ve } \dot{x} = \frac{dx}{dt} \text{ olsun;}$$

$$\dot{P} = \frac{\gamma R \tilde{T} \dot{m}}{Ax} - \gamma P \frac{\dot{x}}{x} \quad (4.26)$$

olarak bir kontrol hacmindeki basınç değişimini hem giren/çıkan kütle debileri hem de piston hızına bağlı olarak (adyabatik varsayımla) veren denklem elde edilmektedir.

#### 4.4. Valf Modeli

Bir kesitten geçen izentropik sıkıştırılabilir kütle akış fonksiyonu  $c_M$  ;

$P_{vc}$  : Daralan geçitteki (vena contracta) statik basınç

$P_u$  : Valfteki akışı yaratan basınç

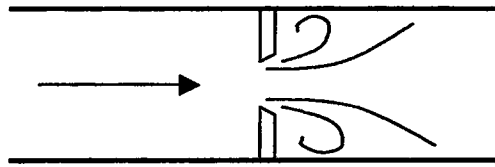
$P_d$  : Valfteki akışın doldurduğu hacmin basıncı

$S$  : Valf açıklığı

$r_{pc}$  : Kritik basınç oranı

$r_p$  : Basınçlar oranı olmak üzere;

$$c_M = \begin{cases} P_u \sqrt{\frac{2\gamma}{R \tilde{T}(\gamma-1)} \left[ \left(\frac{P_{vc}}{P_u}\right)^{\frac{2}{\gamma}} - \left(\frac{P_{vc}}{P_u}\right)^{\frac{\gamma+1}{\gamma}} \right]} & 1 \geq r_p = \frac{P_{vc}}{P_u} \geq r_{pc} \\ P_u \sqrt{\frac{\gamma}{R \tilde{T}} \left( \frac{2}{\gamma+1} \right)^{\frac{\gamma+1}{\gamma-1}}} & r_p = \frac{P_{vc}}{P_u} \leq r_{pc} \end{cases} \quad (4.27)$$



Şekil 4.4 Daralan geçit (vena contracta)

ile verilir.  $r_{pc}$  kritik basınç oranı olup  $\gamma=1,4$  (hava) için değeri  $r_{pc} = 0,528$  'dir. Bu orandan daha küçük basınç oranlarında boğulmuş akış meydana geldiği için kütle debisi sabit kalır. Şekil 4.4'te daralan geçitteki boğulmuş akış gösterilmektedir. Valften akan akışkanın kütlesel debisi ise  $c_d$  valfe ait boşaltma katsayısı olmak üzere;

$$\dot{m} = c_d S c_M \quad (4.28)$$

olur. (4.27) ve (4.28) denklemleri birleştirilirse:

$$\dot{m} = \begin{cases} c_d S \frac{P_u}{\sqrt{\tilde{T}}} \sqrt{\frac{2\gamma}{R(\gamma-1)} \left( r_p^{2/\gamma} - r_p^{(\gamma+1)/\gamma} \right)} & 1 \geq r_p \geq r_{pc} \\ c_d S \frac{P_u}{\sqrt{\tilde{T}}} \sqrt{\frac{\gamma}{R} \left( \frac{2}{\gamma+1} \right)^{\frac{\gamma+1}{\gamma-1}}} & r_p \leq r_{pc} \end{cases} \quad (4.29)$$

$$\dot{m} = \begin{cases} c_d S \frac{P_u}{\sqrt{\tilde{T}}} \sqrt{\frac{2\gamma}{R(\gamma-1)} \left( r_p^{2/\gamma} - r_p^{(\gamma+1)/\gamma} \right)} & 1 \geq r_p \geq r_{pc} \\ c_d S \frac{P_u}{\sqrt{\tilde{T}}} \sqrt{\frac{2}{R} \left( \frac{\gamma}{\gamma+1} \right) \left( \frac{2}{\gamma+1} \right)^{\frac{2}{\gamma-1}}} & r_p \leq r_{pc} \end{cases} \quad (4.30)$$

elde edilir. (4.30) ile (4.26) birleştirilirse;

$$\dot{x} = \frac{\tilde{f}}{x} S - \gamma P \frac{\dot{x}}{x} \quad (4.31)$$

Burada:

$$\tilde{f} = \frac{\gamma R \tilde{T}}{A} c_d \frac{P_u}{\sqrt{\tilde{T}}} \sqrt{\frac{2}{R}} Y(r_p) \quad (4.32)$$

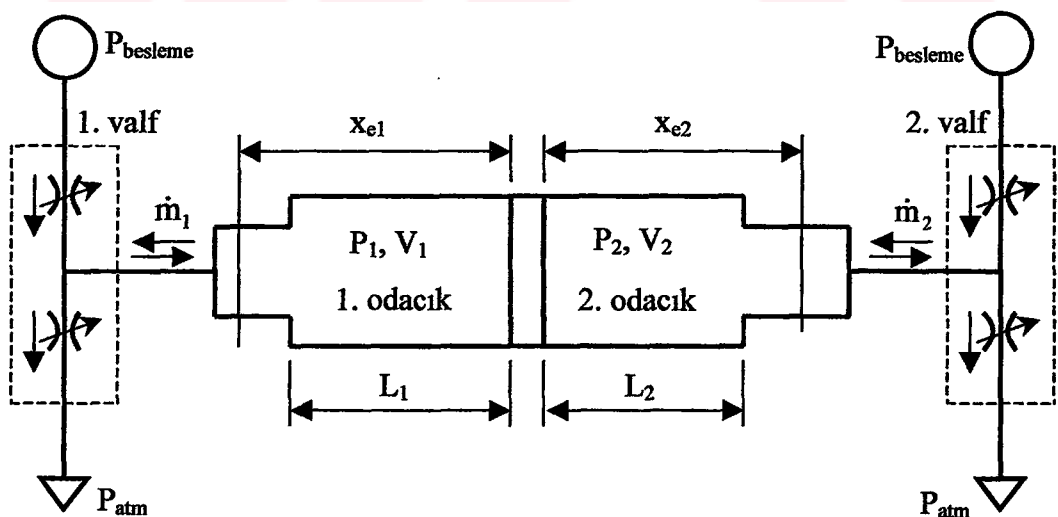
olup, düzenlenirse:

$$\tilde{f} = \frac{\gamma}{A} c_d \sqrt{2R\tilde{T}} P_u Y(r_p) \quad (4.33)$$

halini alır.  $Y(r_p)$  ise aşağıda verilmektedir:

$$Y(r_p) = \begin{cases} \sqrt{\frac{\gamma}{\gamma-1}} \sqrt{r_p^{2/\gamma} - r_p^{(\gamma+1)/\gamma}} & 1 \geq r_p \geq r_{pc} \\ \sqrt{\frac{\gamma}{\gamma+1}} \sqrt{(2/(\gamma+1))^{2/(\gamma-1)}} & r_p \leq r_{pc} \end{cases} \quad (4.34)$$

#### 4.5. Silindir, Basınç ve Valf Modellerinin Deney Düzeneğine Uygulanması



Şekil 4.5 Servovalflerle çubuksuz silindirin şematik diyagramı

Bu çalışmada kullanılan servovalflerle çubuksuz silindir arasındaki ilişki Şekil 4.5'te gösterilmektedir. Şekilde verilen sembollerin anlamları aşağıda verilmektedir:

- $x$  : Ölçülen konum
- $\dot{x}$  :  $x$  'den türetilen hız
- $L_s$  : Strok ( $L_s = L_1 + L_2$ )
- $x_{el}$  : 1. odacık için eşdeğer konum
- $x_{e2}$  : 2. odacık için eşdeğer konum
- $V_{O1}$  : 1. odacık için silindir içindeki durdurucu (stopper) ve valfe kadar olan boruların oluşturduğu ölü hacim
- $V_{O2}$  : 2. odacık için silindir içindeki durdurucu (stopper) ve valfe kadar olan boruların oluşturduğu ölü hacim

olmak üzere:

$$x_{el} = \frac{V_{O1}}{A} + x \quad x_{e2} = \frac{V_{O2}}{A} + L_s - x \quad (4.35)$$

$\frac{V_{O1}}{A} = 0,029 \text{ m}$  ve  $\frac{V_{O2}}{A} = 0,045 \text{ m}$  olarak hesaplanmış olup strok  $L_s = 0,5 \text{ m}$  için

(4.35) denklemi aşağıdaki hali alır:

$$x_{el} = 0,029 + x \quad x_{e2} = 0,545 - x \quad (4.36)$$

(4.36)'nın türevleri ise;

$$\dot{x}_{el} = \dot{x} \quad \dot{x}_{e2} = -\dot{x} \quad (4.37)$$

(4.31) denklemi genel bir silindirdeki piston ve kontrol hacmi için çıkartılmıştı. Bu denklem Şekil 4.5'te verilen sistem için düzenlenirse;

$$\dot{P}_1 = \frac{\tilde{f}_1}{x_{el}} S_1 - \gamma P_1 \frac{\dot{x}_{el}}{x_{el}} \quad (4.38a)$$

$$\dot{P}_2 = \frac{\tilde{f}_2}{x_{e2}} S_2 - \gamma P_2 \frac{\dot{x}_{e2}}{x_{e2}} \quad (4.38b)$$

Burada  $c_{d1}$  1. valfin boşaltma katsayısı,  $c_{d2}$  2. valfin boşaltma katsayısı,  $r_{p1} = \frac{P_{vc1}}{P_{u1}}$ ,

$r_{p2} = \frac{P_{vc2}}{P_{u2}}$  olmak üzere:

$$\tilde{f}_1 = \frac{\gamma}{A} c_{d1} \sqrt{2R\tilde{T}_1} P_{u1} Y(r_{p1}) \quad (4.39a)$$

$$\tilde{f}_2 = \frac{\gamma}{A} c_{d2} \sqrt{2R\tilde{T}_2} P_{u2} Y(r_{p2}) \quad (4.39b)$$

ve

$$Y_1(r_{p1}) = \begin{cases} \sqrt{\frac{\gamma}{\gamma-1}} \sqrt{r_{p1}^{2/\gamma} - r_{p1}^{(\gamma+1)/\gamma}} & 1 \geq r_{p1} \geq r_{pc} \\ \sqrt{\frac{\gamma}{\gamma+1}} \sqrt{(2/(\gamma+1))^{2/(\gamma-1)}} & r_{p1} \leq r_{pc} \end{cases} \quad (4.40a)$$

$$Y_2(r_{p2}) = \begin{cases} \sqrt{\frac{\gamma}{\gamma-1}} \sqrt{r_{p2}^{2/\gamma} - r_{p2}^{(\gamma+1)/\gamma}} & 1 \geq r_{p2} \geq r_{pc} \\ \sqrt{\frac{\gamma}{\gamma+1}} \sqrt{(2/(\gamma+1))^{2/(\gamma-1)}} & r_{p2} \leq r_{pc} \end{cases} \quad (4.40b)$$

denklemleri yazılabilir.  $P_{u1}$ ,  $P_{u2}$ ,  $P_{vc1}$  ve  $P_{vc2}$ 'nin değerleri valflerin çalışma durumuna göre Tablo 4.1'de verilmektedir.

(4.38a) ve (4.38b) denklemleri ise (4.36) ve (4.37) eşitlikleri kullanılarak aşağıdaki gibi basitleştirilebilir:

$$\dot{P}_1 = \frac{\tilde{f}_1}{0,029+x} S_1 - \gamma P_1 \frac{\dot{x}}{0,029+x} \quad (4.41a)$$

$$\dot{P}_2 = \frac{\tilde{f}_2}{0,545 - x} S_2 + \gamma P_2 \frac{\dot{x}}{0,545 - x} \quad (4.41b)$$

Tablo 4.1 Valflerin çalışma durumuna göre  $P_{u1}$ ,  $P_{u2}$ ,  $P_{vc1}$  ve  $P_{vc2}$ 'nin değerleri

Valf	Valfin çalışma durumu	$P_{u1}$	$P_{u2}$	$P_{vc1}$	$P_{vc2}$
1. valf	Besleme basıncına bağlı	$P_b$	-	$0,9 P_1$	-
	Atmosfere açık	$P_1$	-	$0,9 P_{atm}$	-
2. valf	Besleme basıncına bağlı	-	$P_b$	-	$0,9 P_2$
	Atmosfere açık	-	$P_2$	-	$0,9 P_{atm}$

Deney düzeneğinde kullanılan elektropnömatik oransal valfler servo özelliğini haiz oldukları için valflere uygulanan akım ile valf açıklıkları değil, odacıklarda oluşması istenen basınçlar (referans basınçları) tayin edilmekte dolayısıyla valfler bu basınçları gerçekleştirmek üzere kendi iç yapılarındaki basınç geribeslemesi sayesinde kendiliklerinden açılıp kapanmaktadır.  $k_1$  ve  $k_2$  valflere ait sabitler olmak üzere aşağıdaki eşitlikler yazılabilir:

$$S_1 = k_1 (P_{1ref} - P_1) \quad (4.42a)$$

$$S_2 = k_2 (P_{2ref} - P_2) \quad (4.42b)$$

Deney düzeneğinde yapılan deneyler sonucu valflere uygulanan gerilim değerlerine karşılık gelen basınçlar (sürekli rejim elde edildikten sonra okunduğu için referans basınçları olmakta) Tablo 4.2a ve Tablo 4.2b'de verilmektedir:

Tablo 4.2a  $u_1$  sinyaline karşılık gelen  $P_{1ref}$  değerleri

$u_1$ (Volt)	0,3	0,5	1	1,5	2	2,5
$P_{1ref}$ (Volt)	1,08188	1,20088	1,50300	1,80819	2,10875	2,42156

Tablo 4.2b  $u_2$  sinyaline karşılık gelen  $P_{2ref}$  değerleri

$u_2$ (Volt)	0,3	0,5	1	1,5	2	2,5
$P_{2ref}$ (Volt)	1,10019	1,21156	1,50300	1,79594	2,09806	2,41088

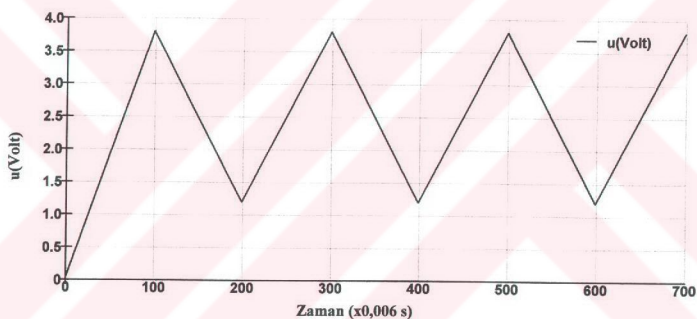
Tablo 4.2a ve Tablo 4.2b'deki değerler doğrusal regresyon yapılarak birer fonksiyon halinde yazılırsa;

$$P_{1\text{ref}} = 0,897 + 0,608 u_1 \quad u_1 \geq 0,17 \quad (4.43\text{a})$$

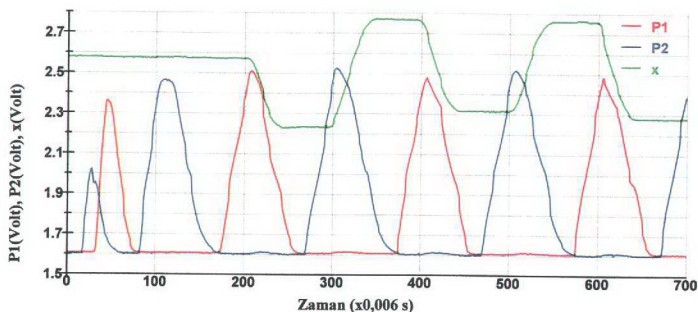
$$P_{2\text{ref}} = 0,913 + 0,595 u_2 \quad u_2 \geq 0,15 \quad (4.43\text{b})$$

elde edilir.

$u_1=0,17$  Volt ve  $u_2=0,15$  Volt değerlerinde valf 1 bar mutlak basıncı sağlayacak şekilde kapalı kalmakta,  $0 < u_1 < 0,17$  Volt ve  $0 < u_2 < 0,15$  Volt değerleri arasında ise odacık basınçları sabit olarak 1 bar(m) olduğu halde valf içindeki yayın etkisi ile (orantılı olarak) açık kalmaktadır.



Şekil 4.6 Kuru sürtünmeleri ölçmek amacıyla sisteme uygulanan üçgen dalga giriş



Şekil 4.7 Üçgen dalga girişe sistemin basınç ve konum olarak tepkileri

Deney düzeneğine ait silindir modeline gelince; (4.3) denklemiyle verilen ifadeler aynen geçerli olup, viskoz sürtünme katsayısı sistem tanılama ve modelleme çalışması sonucunda elde edilecektir. Kuru sürtünme katsayıları ise sisteme üçgen dalga dizisi gönderilerek; konum ve basınç değerlerinin kaydedilmesi ve hareketin başlayıp, durduğu noktalardaki basınçların tespit edilerek ortalamalarının alınması ile elde edilmiştir. (Şekil 4.6 ve Şekil 4.7'ya bakınız. Ayrıntılı gösterim için sonuçlar şekillerde belirli bir noktadan sonra kesilerek kısmen gösterilmiştir.). Sonuçlar Tablo 4.3'te verilmektedir.

Tablo 4.3 Üçgen dalga dizisiyle elde edilen kuru sürtünme katsayıları

P <sub>1</sub> (Volt)		P <sub>2</sub> (Volt)	
Statik	Dinamik	Statik	Dinamik
2,2602	1,9427	2,4167	1,9130
2,4071	2,0058	2,4985	1,9115
2,3632	1,9805	2,4979	1,9143
2,3447	1,9607	2,5073	1,9337
2,2122	1,9844	2,4593	1,9433
2,2748	1,9465	2,4557	1,8187
2,2438	1,9737	2,4033	1,9215
2,3282	1,9937	2,4996	1,8335
2,2640	1,9920	2,4238	1,8943
2,3164	1,9862	2,5180	1,9062
Ortalama (Volt)	2,3015	1,9766	2,4680
Ortalama (barg)	1,0960	0,5885	1,3563
Ortalama (N)	89,2914	47,9453	110,4982
			38,0629

## **5. SİSTEM TANILAMA VE MODELLEME**

### **5.1. Giriş**

Tanılama, dinamik bir sistemin modelinin giriş-çıkış ölçümleriyle bulunması anlamına gelir. Eğer bu model; bir çok çıkış (veya ölçüm) ile bir çok giriş (veya kumanda) arasındaki değişimini inceliyorsa; çok değişkenli (multivariable) model olarak adlandırılır. Sistem tanılama süreci, modellerin kurulması, deney verilerinden bilinmeyen sistem parametrelerinin tahmin edilmesini içerir. Modelin bilinmesi, yüksek performanslı kontrol sistemlerinin tasarıımı ve gerçekleştirilmesi için önemlidir.

Tanılamada kullanılan matematiksel modeller lineer ve lineer olmayan olmak üzere iki ana grupta toplanabilir: Lineer olmayan modellerin karmaşıklığının yanısıra çok iyi tesis edilmiş genel teorilerinin olmaması, bu modellerin belirli bir çalışma bölgesi civarında lineerleştirilmiş olarak kullanılmasına yol açmaktadır.

Uygun bir giriş sinyalinin seçimi, tanılama problemlerinin en önemli adımlarından biridir. Bu seçimdeki temel ölçüt, giriş-çıkış verilerinin farklı modeller arasında ayırmaya yetecek ölçüde bilgi içerişip içermemesidir. Birbirile ilişkisiz (uncorrelated) sözde rastgele ikili diziler (pseudo random binary sequences-PRBS) bu türden uygun giriş sinyallerine örnek olarak verilebilir.

Giriş-çıkış verileriyle sistem tanılama yapılrken frekans cevabı, basamak cevabı, vs. teknikleriyle parametrik olmayan modeller, transfer fonksiyonu, diferansiyel veya fark denklemleriyle vs. parametrik modeller kullanılabilir.

Günümüzde bilgisayarların da yaygınlaşması sayesinde parametrik modellerin diğer yaklaşılara karşı üstünlükleri ortaya çıkmıştır. Ardışık formülasyonu olan yüksek performanslı tanılama algoritmaları gerçek zamanlı tanılama problemlerini bile gerçekleştirecek seviyedendir.

## **5.2. Sistem Tanılamanın Uygulamaya Yönelik Ayrıntıları**

### **5.2.1. Örnekleme Frekansının Seçimi**

Sayısal kontrol sistemlerinde örnekleme frekansı, tanıacak sistemin bant genişliğine veya kapalı çevrimli sistemin istenen bant genişliğine göre seçilir. Örnekleme frekansı seçiminde temel kural [23]:

$$f_S = (6 \div 25) f_B \quad (5.1)$$

olup burada  $f_S$  örnekleme frekansı,  $f_B$  sistemin bant genişliğidir. Böyle bir kural zaman domeninde de elde edilebilir. Sistemin basamak cevabından bulunan  $t_R$  yükselme zamanına göre  $T_S$  örnekleme periyodu:

$$T_S = t_R / (3 \div 12) \quad (5.2)$$

şeklindedir. Birinci mertebe bir sistem için;  $\tau$ , zaman sabiti olmak üzere;

$$\tau/4 < T_S < \tau \quad (5.3)$$

veya  $\omega_0$  (rd/s) doğal salınım frekansı olmak üzere sönüüm oranı 0,7 ile 1 arasında olan ikinci mertebe bir sistem için;

$$0,25 < \omega_0 T_S < 1,5 \quad (5.4)$$

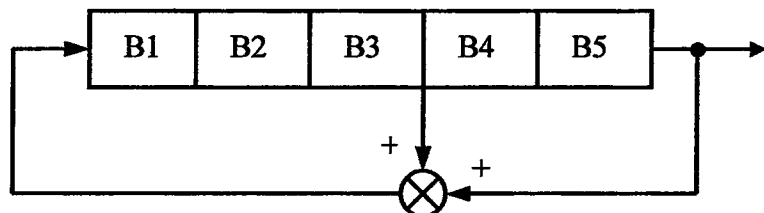
olarak kullanılabilir.

### **5.2.2. PRBS Sinyali**

Kısaca PRBS olarak ifade edilen sözde-rastgele ikili diziler (pseudo-random binary sequences) genliği sabit, fakat genişliği değişen dikdörtgen darbeler şeklinde sinyallerdir. Analog sistemlerdeki beyaz gürültünün ayrık zamanlı karşılığı olarak kabul edilebilirler. PRBS sinyalinin frekans içeriği oldukça zengindir. (Spektral yoğunluk sabiti 0,45  $f_S$ 'e kadar çıkabilir.) Bu sinyalin bir avantajı da genliğinin sabit olması ve frekans içeriğini etkilemeden istenen düzeyde uygulanabilmesidir.

Sözde-rastgele terimi; PRBS'in her ne kadar genişliği rastgele değişen darbelerden olduğu ifade edilse de “dizi uzunluğu (sequence length)” ile gösterilen bir süre sonra tekrar ediyor (periyodik) olmasından kaynaklanmaktadır.

PRBS sinyalleri (donanım veya yazılımlarla gerçekleştirilen) geribeslemeli bellek hücreleri ile üretilirler.  $N$  bellek hücresi sayısı olmak üzere dizi uzunluğu  $L=2^N-1$ 'dir. Şekil 5.1'de bellek hücresi  $N=5$ , uzunluğu  $L=31$  olan PRBS sinyalinin üretimi gösterilmektedir [24].

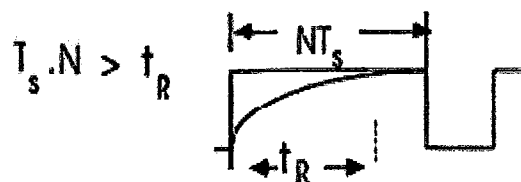


Şekil 5.1  $N=5$ ,  $L=31$  olan PRBS sinyalinin üretimi

PRBS'in en uzun genişlikteki darbesi, bellek hücresi sayısı ile örneklemme periyodunun çarpımı kadar bir sürede uygulanmakta olup; bu süre sistem tanılama için çok önemlidir.

Bir sisteme ait sürekli durum kazancının doğru olarak tanılanabilmesi için, darbelerden en az bir tanesinin (örneğin en uzun süreli darbe) sistemin yükselme zamanı  $t_R$ 'den daha uzun süreli olması gerekmektedir (Şekil 5.2'ye bakınız.):

$$NT_s > t_R \quad (5.5)$$



Şekil 5.2 PRBS'in en uzun darbesinin seçimi

Dahası, bir PRBS sinyalinin frekans yelpazesinin tamamını kapsayan bir deneyde deneyin süresi en azından sözkonusu sinyalin dizi uzunluğu  $L$  kadar olmalıdır. Çoğu durumda deney süresi, dizi uzunluğununa eşit alınır. Deneyin uzunluğu belirlendiğinde,  $N$  ve PRBS üretici saat frekansı şöyle bulunur:

$$(2^N - 1) T_s < Z$$

(Z: deney uzunluğu)

(5.6)

Bir çok uygulamada; PRBS üretecinin saat frekansı ile örneklemeye frekansı arasında fark olabilir.  $p$  frekans bölüğü olarak adlandırılan bir tamsayı olmak üzere:

$$f_{PRBS} = f_s / p \quad (p = 1, 2, 3, \dots) \quad (5.7)$$

seçilebilir.

PRBS sinyali, tanılanacak sisteme düşük genliklerde (sistem girişinin sürekli rejim değerinin  $\% 1 \div 5$ 'i gibi) uygulanabilir. Ancak uygulanan sinyalin, sistemin gürültü seviyesinden daha büyük genlikte olmasına dikkat edilmelidir.

### 5.2.3. Sinyal Şartlandırma

#### 5.2.3.1. Giriş Ve Çıktıların Ölçeklendirilmesi

Bir sisteme ait giriş-çıkış verilerinden parametre tanılaması yapılırken; girişlerin seviyesi ile çıkışların seviyesi birbirinden çok farklı ise, kazanç matrisi (uyum kazancı (adaptation gain)) son derece dengesiz olabilmekte, bunun sonucu olarak tahmin edilen giriş parametre vektörü ile tahmin edilen çıkış parametre vektörü elemanlarının yakınsama hızlarında önemli farklara yol açabilmektedir.

Bunu önlemek için, giriş-çıkış verilerini ölçeklendirmek (scaling) yaygın bir yaklaşımındır. Bu durum, tanılanan sürekli durum kazancında farklılık meydana getirir. Bu farklılık, tahmin edilen bu parametrelerin yapılan ölçeklendirmeye göre belirli bir sayı ile çarpılması veya bölünmesi ile giderilmelidir.

#### 5.2.3.2. DC Bileşenlerin Yok edilmesi

Tanılama için kullanılan modellerin yapıları (bir çalışma noktası civarında girişteki değişimlerin fonksiyonu olarak ifade edilen çıkıştaki değişimleri belirten) dinamik modellere karşılık geldiğinden, doğru bir tanılama için (sözkonusu çalışma noktasına karşılık gelen) DC bileşenlerin yok edilmesi gereklidir [25]. Bunun için;

- a) Giriş-çıkış verilerinden ortalama değerin (mean value=MV) hesaplanması

- b) Giriş-çıkış verilerinden hesaplanan ortalama değerin çıkarılması ve yeni giriş-çıkış verilerinin üretilmesi gereklidir.

$$y'(t) = y(t) - MV_y \quad (5.8)$$

$$u'(t) = u(t) - MV_u \quad (5.9)$$

### 5.3. Sistem Tanılama İlkeleri

Sistem tanılama süreci dört aşamadan oluşur [25]:

- a) Uygun deneysel koşullar altında giriş-çıkış verilerinin toplanması
- b) Model yapısının (karmaşıklığının) seçimi
- c) Model parametrelerinin tahmini
- d) Tanılanmış modelin geçerliliği (yapı ve parametre değerleri açısından)

Tam bir tanılama işleminin yukarıda belirtilen dört aşamayı da içermesi zorunlu olup; her aşamada kullanılacak yöntemler istenen model tipine (parametrik, parametrik olmayan, sürekli zamanlı, ayrik zamanlı vs.) bağlıdır.

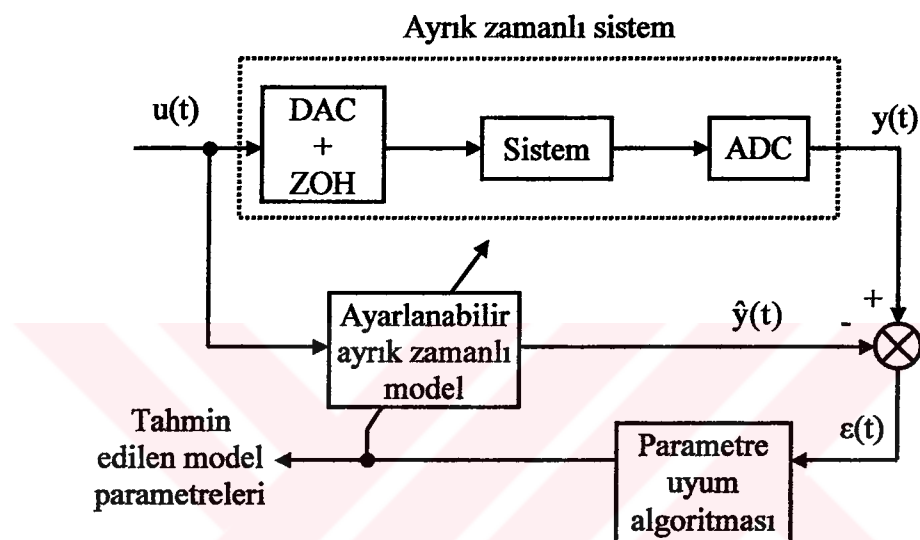
Uygun deneysel koşullar altında giriş-çıkış verilerinin toplanması, 3. bölümde “veri toplama ve işleme” adı altında incelenmiştir. Model yapısının seçimi ilerleyen altböölümlelerde ayrıntılı olarak incelenecektir.

Örneklenmiş (ayrik zamanlı) modeller için parametre tanılama blok diyagramı Şekil 5.3’te verilmektedir. Burada ayrik zamanlı, parametreleri ayarlanabilir bir modelin bilgisayarla nasıl gerçekleştirildiği gösterilmektedir.  $t$  anındaki sistem çıkışı  $y(t)$  ile kestirilen model çıkışı  $\hat{y}(t)$  arasındaki hata ( $e(t)$  kestirim hatası olarak da bilinir) her örnekleme anında parametre uyum (adaptation) algoritması tarafından bu hatayı minimize etmek için model parametrelerini düzeltmek üzere kullanılır. Parametre uyum algoritmaları ardışık bir yapıyı haiz olup, yeni bir değeri tahmin etmek için eski tahmin edilen değerlere son ölçümlere bağlı olan bir düzeltme terimi ekler. Bütün parametre uyum algoritmaları Şekil 5.4’te verilen ardışık yapıyı kullanırlar.

Ardışık tanılamanın ardışık olmayana göre üstünlükleri şöyledir:

- a) Sistem evrimleşikçe yeni model parametrelerinin tanılanması imkan verir.

- b) Tüm giriş-çıkış verilerinin bir anda kullanılması yerine sadece az sayıda giriş-çıkış verilerinin işlenmesine ihtiyaç duyduğu için önemli ölçüde bilgisayar belleğinden kazanım sağlar.
- c) Oldukça az bellek ve bilgisayar kapasitesine ihtiyaç gösterir.
- d) Mikro-bilgisayarlarda kullanılması kolaydır.
- e) Gerçek zamanlı tanılama uygulamalarında kullanılabilirler.
- f) Zamanla değişen sistem parametrelerini izlemek kolaydır.



Şekil 5.3 Parametre tanılama blok diyagramı

Ardışık tanılamaya yönelik parametre uyum algoritmalarından ardışık en küçük kareler yöntemi (RLS) ve genişletilmiş en küçük kareler yöntemi (ELS) ilerleyen altbölümlerde incelenmektedir.

$$\begin{bmatrix} \text{Yeni} \\ \text{parametrelerin} \\ \text{tahmini} \\ (\text{vektör}) \end{bmatrix} = \begin{bmatrix} \text{Tahmin edilen} \\ \text{eski parametreler} \\ (\text{vektör}) \end{bmatrix} + \begin{bmatrix} \text{Uyum} \\ \text{kazancı} \\ (\text{matris}) \end{bmatrix} \times \begin{bmatrix} \text{Ölçüm} \\ \text{fonksiyonu} \\ (\text{vektör}) \end{bmatrix} \times \begin{bmatrix} \text{Kestirim} \\ \text{hatası} \\ \text{fonksiyonu} \\ (\text{skalar}) \end{bmatrix}$$

Şekil 5.4 Parametre uyum algoritmalarının ardışık yapısı

Geçerlilik testi, belirli bir sistem için (gerek model yapısı gerekse parametre tahmin algoritmaları açısından) en iyi modelin seçilmesini sağlar. Yine geçerlilik testi ile ilgili ayrıntılar ilerleyen altbölümlerde ayrıca ele alınacaktır.

## **5.4. Model Karmaşıklığının Tahmini**

### **5.4.1. Gürültüsüz Sistemin Model Karmaşıklığının Tahmini**

Bozucuların olmadığı ayrik zamanlı bir sistemin darbe transfer fonksiyonu aşağıdaki gibidir:

$$y(t) = \frac{q^{-d}B(q^{-1})}{A(q^{-1})}u(t) \quad (5.10)$$

Burada;

$$A(q^{-1}) = 1 + a_1 q^{-1} + \dots + a_{n_A} q^{-n_A} \quad (5.11)$$

$$B(q^{-1}) = b_1 q^{-1} + \dots + b_{n_B} q^{-n_B} \quad (5.12)$$

Model karmaşıklığının tahmininin amacı, doğrudan doğruya giriş-çıkış verilerini kullanarak, model katsayılarını tanılamaksızın, sisteme ait A ve B polinomlarının mertebelerini ve gecikmeyi tahmin etmektir. Sistemde gürültü bulunmuyorsa; bir modelin karmaşıklığının (mertebesinin) tahmini için rank testi yapılır.

$\hat{n}$  model mertebesini ( $\hat{n} = \max(n_A, n_B + d)$ ;  $n_A$  A polinomunun mertebesi,  $n_B$  B polinomunun mertebesi,  $d$  gecikme) tahmin etmek için;

$$[\tilde{y}(0) : R(\hat{n})] \quad (5.13)$$

matrisi tanımlanmış olsun. Burada

$$\tilde{y}(0) = \begin{bmatrix} y(0) \\ y(-1) \\ \vdots \\ y(-N+1) \end{bmatrix} \quad (5.14)$$

$$R(\hat{n}) = \begin{bmatrix} y(-1) & u(-1) & y(-2) & u(-2) & \dots & y(-\hat{n}) & u(-\hat{n}) \\ y(-2) & u(-2) & y(-3) & u(-3) & \dots & y(-\hat{n}-1) & u(-\hat{n}-1) \\ \vdots & \vdots & \vdots & \vdots & \ddots & \vdots & \vdots \\ y(-N) & u(-N) & y(-N-1) & u(-N-1) & \dots & y(-\hat{n}-N+1) & u(-\hat{n}-N+1) \end{bmatrix} \quad (5.15)$$

ile verilmektedir. Eğer  $[\tilde{y}(0) : R(\hat{n})]$  matrisinin rankı tam ise  $\hat{n} < n$ , tam değilse (küçükse)  $\hat{n} \geq n$  anlamına gelmektedir. N değeri 1'den başlayıp  $\hat{n} \geq n$  koşulu sağlanana kadar artırılmak yoluya model mertebesi bulunur.

#### 5.4.2. Beyaz Gürültülü Sistemin Model Karmaşıklığının Tahmini

Bir önceki altbölümde verilen yöntem; uygulamada, sisteme gürültüden dolayı matris hiçbir zaman tekil olmadığı için, kullanışlı olmaz. Bunun için model mertebesini tahmin etmek üzere en küçük kareler tahminini içeren bir test uygulanabilir:

$$V_{LS}(\hat{n}) = \min \frac{1}{N} \left\| \tilde{y}(0) - R(\hat{n}) \hat{\theta} \right\|^2 \quad (5.16)$$

Burada  $\hat{\theta}$ ,  $\tilde{y}(0)$ 'nın  $R(\hat{n})$ 'nın kolonlarına lineer bağımlılığını ifade etmektedir.

#### 5.5. Parametre Uyum Algoritmaları

Farklı ardışık tanılama yöntemleri temelde aynı parametre uyum algoritması (PAA) yapısını kullanırlar. Birbirinden farklılıklarını aşağıda belirtilen sebeplerden dolayıdır:

- a) Kestirimci (predictor) yapısı
- b) Gözlem vektörü  $\phi(t)$  bileşenlerinin yapısı
- c) Ayarlanabilir parametre vektörü  $\hat{\theta}(t)$  ve gözlem vektörü  $\phi(t)$ 'nin boyutları
- d) Kestirim hatalarının tipi.

Tanılama yöntemleri kestirim hatasının beyazlatılmasına (whitening) dayanan -içinde ardışık en küçük kareler yöntemi (RLS), genişletilmiş en küçük kareler yöntemi (ELS), ardışık en çok olasılık yöntemi (RML), vs.- ile gözlem vektörüyle kestirim hatasının ilişkisizliğine (decorrelation) dayanan -aletsel değişken yöntemi

(instrumental variable) ve çıkış hatası yöntemi (output error), vs.- olmak üzere iki ana gruba ayrılabilir [25].

Bu çalışmada sadece RLS ve ELS yöntemlerine deðinilmekle yetinilecektir.

### 5.5.1. Ardisık En Küçük Kareler Yöntemi (RLS)

(5.10) denklemi aşağıdaki şekilde yazılabilir:

$$y(t+1) = -\sum_{i=1}^{n_A} a_i y(t+1-i) + \sum_{i=1}^{n_B} b_i u(t-d-i+1) = \theta^T \phi(t) \quad (5.17)$$

$$\theta^T = [a_1, \dots, a_{n_A}, b_1, \dots, b_{n_B}] \quad (5.18)$$

$$\phi(t)^T = [-y(t), \dots, -y(t-n_A+1), u(t-d), \dots, u(t-d-n_B+1)] \quad (5.19)$$

Yukarıdaki ifadelere benzer şekilde RLS için “önceki (priori)” kestirimci (predictor) aşağıdaki gibi yazılabilir:

$$\hat{y}^*(t+1) = -\sum_{i=1}^{n_A} \hat{a}_i y(t+1-i) + \sum_{i=1}^{n_B} \hat{b}_i u(t-d-i+1) = \hat{\theta}(t)^T \dot{\phi}(t) \quad (5.20)$$

Burada;

$$\hat{\theta}(t)^T = [\hat{a}_1(t), \dots, \hat{a}_{n_A}(t), \hat{b}_1(t), \dots, \hat{b}_{n_B}(t)] \quad (5.21)$$

ve  $\varepsilon^*(t+1)$  “önceki” kestirim hatası

$$\varepsilon^*(t+1) = y(t+1) - \hat{y}^*(t+1) = y(t+1) - \hat{\theta}(t)^T \phi(t) \quad (5.22)$$

Burada hedeflenen, aşağıdaki “en küçük kareler” ölçütünü minimize eden bir ardisık parametre uyum algoritmasının bulunmasıdır:

$$\min_{\hat{\theta}(t)} J(t) = \sum_{i=1}^t [y(i) - \hat{\theta}(t)^T \phi(i-1)]^2 \quad (5.23)$$

$$\hat{\theta}(t)^T \phi(i-1) = -\hat{a}_1(t) y(i-1) + \hat{b}_1(t) u(i-1) = \hat{y}(\hat{\theta}(t)) \quad (5.24)$$

Ardışık en küçük kareler parametre uyum algoritmasının formülasyonu ise  $F(t)$  uyum kazanç matrisi olmak üzere;

$$\hat{\theta}(t+1) = \hat{\theta}(t) + F(t+1) \phi(t) \varepsilon^*(t+1) \quad (5.25)$$

$$F(t+1) = F(t) - \frac{F(t) \phi(t)^T F(t)}{1 + \phi(t)^T F(t) \phi(t)} \quad (5.26)$$

$$\varepsilon^*(t+1) = y(t+1) - \hat{\theta}(t)^T \phi(t) \quad (5.27)$$

(5.25), (5.26) ve (5.27) denklemleri yeniden düzenlenirse;

$$[\hat{\theta}(t+1) - \hat{\theta}(t)] = F(t+1) \phi(t) \quad \varepsilon^*(t+1) = F(t) \phi(t) \frac{\varepsilon^*(t+1)}{1 + \phi(t)^T F(t) \phi(t)} \quad (5.28)$$

elde edilir.  $\varepsilon(t+1)$  "sonraki (posteriori)" kestirim hatalı ise;

$$\begin{aligned} \varepsilon(t+1) &= y(t+1) - \hat{\theta}(t+1)^T \phi(t) = y(t+1) - \hat{\theta}(t) \phi(t) - [\hat{\theta}(t+1) - \hat{\theta}(t)]^T \phi(t) \\ &= \varepsilon^*(t+1) - \phi(t)^T F(t) \phi(t) \frac{\varepsilon^*(t+1)}{1 + \phi(t)^T F(t) \phi(t)} = \frac{\varepsilon^*(t+1)}{1 + \phi(t)^T F(t) \phi(t)} \end{aligned} \quad (5.29)$$

bulunur. (5.29) denklemi "önceki" ve "sonraki" kestirim hataları arasındaki ilişkisi ifade etmektedir. (5.29), (5.28)'da yerine yazılıarak aşağıdaki en küçük kareler parametre uyum algoritması bulunur:

$$\hat{\theta}(t+1) = \hat{\theta}(t) + F(t) \phi(t) \varepsilon(t+1) \quad (5.30)$$

$$F(t+1)^{-1} = F(t)^{-1} + \phi(t) \phi(t)^T \quad (5.31)$$

$$F(t+1) = F(t) - \frac{F(t) \phi(t) \phi(t)^T F(t)}{1 + \phi(t)^T F(t) \phi(t)} \quad (5.32)$$

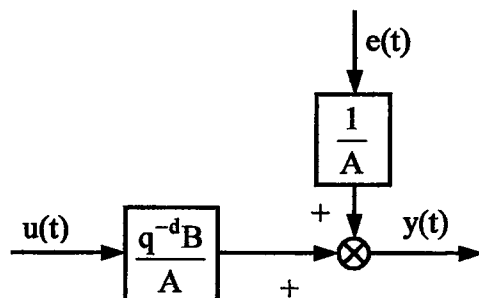
$$\varepsilon(t+1) = \frac{y(t+1) - \hat{\theta}(t)^T \phi(t)}{1 + \phi(t)^T F(t) \phi(t)} \quad (5.33)$$

Burada dikkat edilmesi gereken  $F(t)^{-1}$ 'in bir ilk değerinin olması gerektidir. Bu aşağıdaki biçimde düzenlenir:

$$F(0) = \frac{1}{\delta} I = G_I I \quad (I: \text{birim matris}, 0 < \delta \ll 1) \quad (5.34)$$

Genellikle  $\delta=0,001$  ( $G_I=1000$ ) alınır.

Yukarıda verilen ifadelerde azalan uyum kazancı (decreasing adaptation gain) mevcuttur. Bunun yerine unutma faktörü vs. içeren kazançlar da düzenlenebilmektedir.



Şekil 5.5 ARX model yapısı

En küçük kareler yönteminin yapısı Şekil 5.5'te verilmektedir. ARX tipindeki bu yapı:

$$A(q^{-1})y(t) = q^{-d}B(q^{-1})u(t) + e(t) \quad (5.35)$$

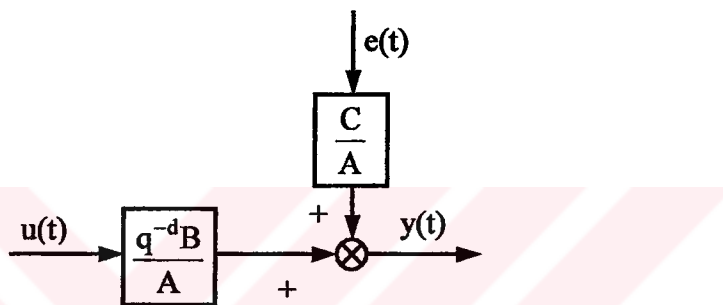
ile ifade edilebilir.

### 5.5.2. Genişletilmiş En Küçük Kareler Yöntemi (ELS)

(5.35) ile verilen denklemde gürültü dinamiği için bir polinom düzenlenirse;

$$A(q^{-1})y(t) = q^{-d}B(q^{-1})u(t) + C(q^{-1})e(t) \quad (5.36)$$

olarak yazılabilir. Bu denklemenin ARMAX tipindeki yapısı Şekil 5.6'da verilmektedir.



Şekil 5.6 ARMAX tipi model yapısı

Genişletilmiş en küçük kareler yönteminin temeli; asimptotik olarak beyaz kestirim hataları elde etmek için sistem modeli ile bozucu modelinin eşzamanlı olarak tanılanması fikrine dayanır.

“önceki” ayarlanabilir kestirimci;

$$\hat{y}^*(t+1) = \hat{\theta}(t)^T \phi(t) \quad (5.37)$$

olsun. Burada;

$$\hat{\theta}(t)^T = \left[ \hat{a}_1(t), \dots, \hat{a}_{n_A}(t), \hat{b}_1(t), \dots, \hat{b}_{n_B}(t), \hat{c}_1(t), \dots, \hat{c}_{n_C}(t) \right] \quad (5.38)$$

$$\phi(t)^T = [-y(t), \dots, -y(t-n_A+1), u(t), \dots, u(t-n_B+1), \varepsilon(t), \dots, \varepsilon(t-n_C+1)] \quad (5.39)$$

“sonraki” ayarlanabilir kestirimci:

$$\hat{y}(t+1) = \hat{\theta}(t+1)^T \phi(t) \quad (5.40)$$

“sonraki” kestirim hatası  $\varepsilon(t)$  ise;

$$\varepsilon(t) = y(t) - \hat{y}(t) \quad (5.41)$$

“önceki” kestirim hatası

$$\varepsilon^o(t+1) = y(t+1) - \hat{y}^o(t+1) \quad (5.42)$$

olmaktadır. (5.37) denklemi kullanılarak, hem sistem modelini, hemde bozucu modelini içeren bu formülasyon klasik ardışık en küçük kareler algoritmasına dönüşmektedir.

Rastgele bozucuların varlığını içeren ARMAX model ve azalan uyum kazancı (decreasing gain) ile  $\varepsilon(t)$  asimptotik olarak beyaz gürültüye doğru yaklaşır.

## 5.6. Modelin Geçerliliği

Eğer yansız (unbiased) parametre tahminlerine ek olarak, artık (residual) kestirim hatası da beyaz gürültü özelliği taşıyorsa, bu; tanılanan modelin, gerçek sistemi en iyi şekilde temsil ettiği anlamına gelir. Diğer taraftan, artık hata beyaz olduğundan ve beyaz gürültü diğer bir değişkenle ilişkili (correlated) olmayacağından sistemin giriş ve çıkışları arasındaki ilişki tamamıyla tanılmış model ile temsil ediliyor demektir.

Eğer bir sisteme ait sistem ve bozucu modeli doğru seçilmiş ise, uygun tanılama yöntemi kullanılmış ise, modeldeki polinomların mertebesi doğru ise kestirim hatası  $\varepsilon(t)$  asimptotik olarak beyaz gürültüye doğru gider.

### 5.6.1. Beyazlık Testi

{  $\varepsilon(t)$  } DC bileşenleri yok edilmiş artık (residual) kestirim hatası dizisi olmak üzere aşağıdaki hesaplamalar yapılabilir:

$$R(0) = \frac{1}{N} \sum_{t=1}^N \varepsilon^2(t); \quad RN(0) = \frac{R(0)}{R(0)} = 1 \quad (5.43)$$

$$R(i) = \frac{1}{N} \sum_{t=1}^N \varepsilon(t) \varepsilon(t-i); \quad RN(i) = \frac{R(i)}{R(0)} \quad i = 1, 2, 3, \dots, i_{\max} \quad (5.44)$$

Burada  $i_{\max} \geq \max(n_A, n_B + d)$ 'dir.

Eğer artık kestirim hata dizisi mükemmel bir şekilde beyaz ise (teorik hal) ve örnek sayısı çok büyük ise  $RN(0) = 1$ ,  $RN(i) = 0$  olmaktadır.

Gerçekte ise mertebe hataları, nonlinear etkiler, gausyan olmayan gürültüler olması vs. ve veri sayısının birkaç yüze sınırlı olması yüzünden artık hatalar tam olarak beyaz olamaz. Bu durumda aşağıdaki uygulama ölçütü tercih edilmektedir [25]:

$$RN(0) = 1, \quad |RN(i)| < \frac{2,17}{\sqrt{N}} \quad N: \text{veri sayısı} \quad (5.45)$$

Daha temel bir sayısal ölçüt ise;

$$RN(0) = 1, \quad |RN(i)| \leq 0,15 \quad i \geq 1 \quad (5.46)$$

ile verilmektedir.

## **6. PNÖMATİK SİSTEMİN TANILANMASI VE MODELLENMESİ**

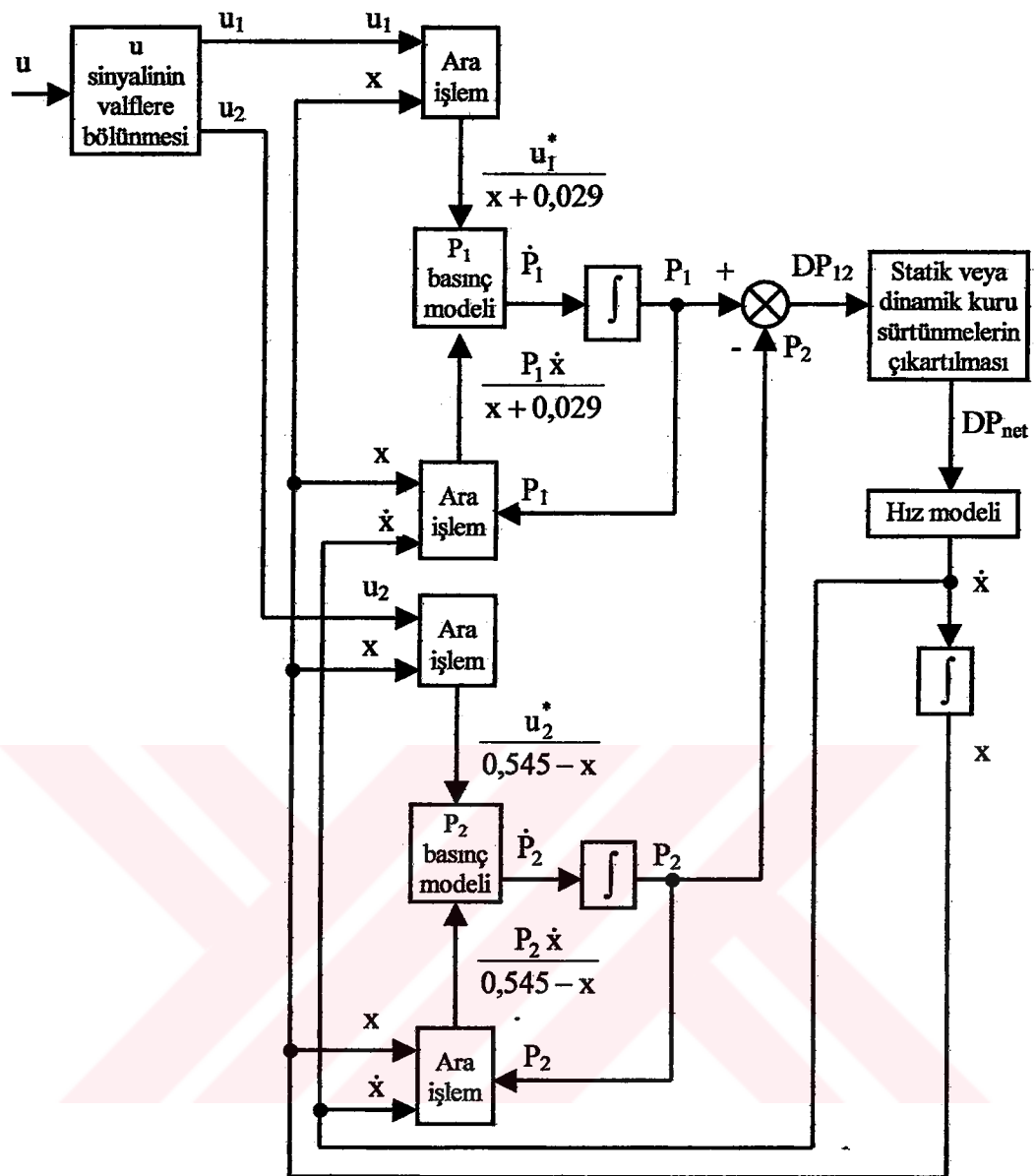
### **6.1. Giriş**

Daha önceden 4. bölümde pnömatik sistemin silindir modeli, basınç modeli ve valf matematiksel olarak açıklanmıştır. Bu bölümde ise tanılama ve modelleme açısından sistemin hız modeli ve basınç modeli isimleriyle verilen iki farklı dinamik modelin genel bir model içinde ilişkilendirildiği pnömatik sistem modeli oluşturulacaktır. Bu modelin genel gösterimi Şekil 6.1'de verilmektedir.

Sisteme önce kare dalga gönderilerek yükselme zamanı (rise time) hesaplanmış; buradan modelleme için uygun örneklemme periyodu bulunmuştur. Sistemin band genişliği de tespit edildikten sonra analog filtrelerin kesim frekansı ve gecikme düzeltme işlemleri, veri toplanması için gerekli örneklemme periyodu ve PRBS sinyali hesaplanmıştır.

Sisteme Wintrac programı aracılığıyla gönderilen PRBS sinyaline ( $u$  sinyali) tepki olarak elde edilen  $P_1$ ,  $P_2$  ve  $x$  değerleri bilgisayar ortamında kaydedildikten sonra bu değerler Excel programı kullanılarak önce sayısal alçak geçiren filtreleme, daha sonra sayısal türev alma, faz gecikmesi telafisi, desimasyon işlemlerine tabi tutulmaktadır. Bu işlemlerden geçirilen veriler yine Excel programı ile Tablo 4.3'deki kuru sürtünme katsayıları ve (4.3) denklemi kullanılarak hız modelinin giriş ve çıkış verileri hesaplanmaktadır, yine (4.39a), (4.39b), (4.40a), (4.40b), (4.41a), (4.41b), (4.42a), (4.42b), (4.43a), (4.43b) denklemeleri ile Tablo 4.1, Tablo 4.2a, Tablo 4.2b'deki bilgiler kullanılarak basınç modellerinin giriş ve çıkışındaki veriler ölçeklendirilmiş (scaled) olarak hesaplanmaktadır. Artık veriler Midsys programında kullanılmak için hazırlıdır.

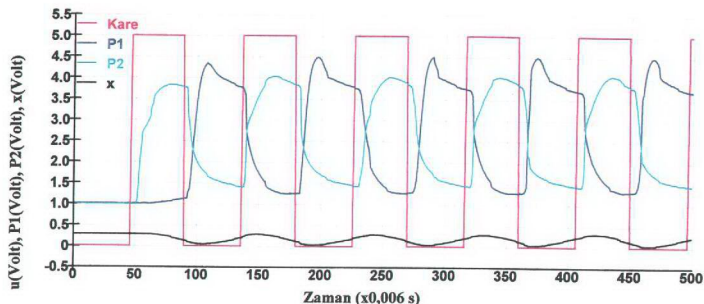




Şekil 6.1 Pnömatik sistemin tanılama modeli

## 6.2. Yükselme Zamanının Hesabı

Bu amaçla sisteme kare dalga uygulanarak basınçların sürekli rejimdeki değerinin 0,632'sine eriştiği süre üç ile çarpılarak ( $3\tau$ 'da 0,95'e eriştiği) yükselseme zamanı olarak alınmıştır [26]. Bu değer  $t_R = T_{95} = 180$  ms'dir. Sisteme uygulanan kare dalga ve ölçülen konum, basınç değerleri Şekil 6.2'de verilmektedir.



Şekil 6.2 Kare dalga sinyali ve çıkışlar

### 6.3. Modelleme Örneklemme Periyodu

Modelleme örneklemme periyodu olarak  $T_{sm} = t_R/6$  oranı seçilmiştir. Böylece  $T_{sm}=30$  ms  $f_{sm} = 33,33$  Hz bulunur. Sistemin bant genişliği ise 0-16,67 Hz kabul edilmiştir. (Shannon teoremi ile verilen frekans sınırı da bu kadardır.)

Hem analog filtrelerin faz açısının frekansa göre hemen doğrusal olduğu bölgeyi kullanmak, hem de ileride uygulanacak sayısal alçak geçiren filtreleme ve türev alma işlemlerinde daha hassas sonuçlar almak, faz gecikmelerini telafi edebilmek amacıyla modelleme için bulunan örneklemme frekansı 5 kat artırılmıştır. Deney düzeneği örneklemme periyodu  $T_s = 6$  ms örneklemme frekansı  $f_s = 166,67$  Hz'dir.

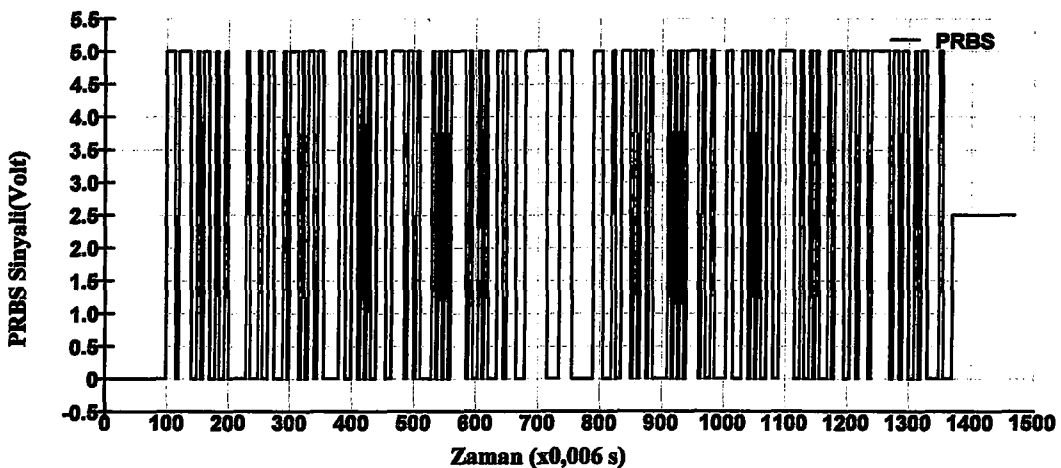
### 6.4. Sistem Tanılama İçin Giriş Sinyali

Bu amaçla sisteme PRBS sinyali uygulanmaktadır. N bellekte kullanılan hücre sayısı,  $T_{sm}$  model örneklemme periyodu olmak üzere;

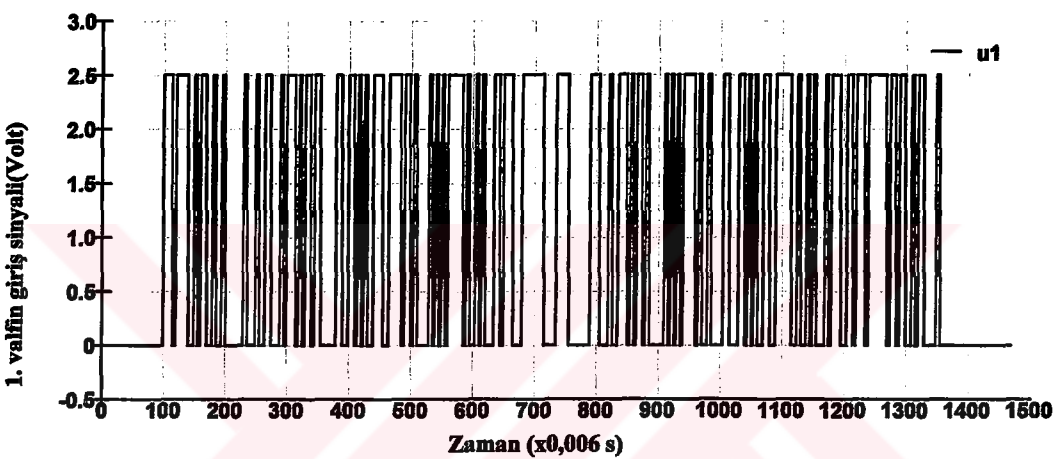
$$T_{sm} N > t_R \quad (6.1)$$

olmalıdır.  $t_R = 0,18$  s,  $T_{sm} = 0,03$  s olduğundan  $N = 7$  seçilmiştir. Ancak sisteme uygulanan örneklemme frekansı 5 kat yüksek olduğu için  $p = 5$  frekans bölücü kullanılarak;

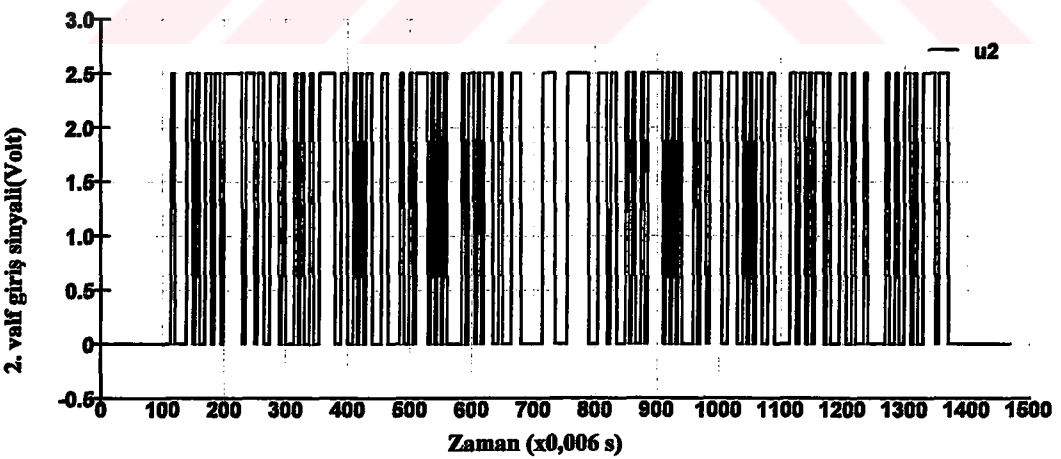
$$f_{PRBS} = f_{sm} = f_s/p \quad (6.2)$$



Şekil 6.3 PRBS sinyali (Genlik = 5)



(a) 1. valf



(b) 2. valf

Şekil 6.4 Her valfe etkiyen PRBS sinyali

ifadesinden  $f_s = 166,67$  Hz alınmaktadır. Bu şekilde modelleme örnekleme frekansı yerine 5 kat hızlı örnekleme frekansını  $p=5$  frekans bölücü ile kullanmak (6.1)'de verilen PRBS'in karakterini değiştirmemektedir. Bu çalışma için  $N = 7$ ,  $p = 5$

$L=1471$  olan PRBS sinyali seçilmiştir. Bu sinyal Şekil 6.3'te, her valfe etkiyen PRBS ise Şekil 6.4'te gösterilmektedir.

## 6.5. Verilerin Modelleme İçin Hazırlanması

### 6.5.1. Faz Kaymalarının Düzeltilmesi

Kullanılan analog anti-aliasing filtrelerden dolayı oluşan faz açısı değişimleri altbölüm 2.5.5 ve altbölüm 3.3'te açıklanmıştır. Sistemin bant genişliği boyunca mümkün olduğunda doğrusal bir faz açısı değişimini elde etmek ve bu doğrusal faz açısı değişimini de sayısal zamanda ileriye kaydırma işlemi ile telafi edebilmek amacıyla  $f_s = 166.67$  Hz örnekleme frekansı için analog filtrelerin kesim frekansı  $f_c = 45$  Hz seçilmiştir.

Zamanda ileriye veya geriye kaydırma sayısal transfer fonksiyonu;

$$H(z) = z^{\tilde{M}} \quad (6.3)$$

ile verilmektedir. ( $\tilde{M}$ 'nin eksi değerleri geriye, artı değerleri ileriye kaydirmayı sağlamaktadır.) (6.3) denkleminde  $r = f/f_s$  ve  $z = e^{j\omega T} = e^{j2\pi r}$  yazılırsa;

$$H(e^{j2\pi r}) = e^{j2\pi \tilde{M}r} \quad (6.4)$$

bulunur. Euler teoremi uygulanarak genlikler oranı:

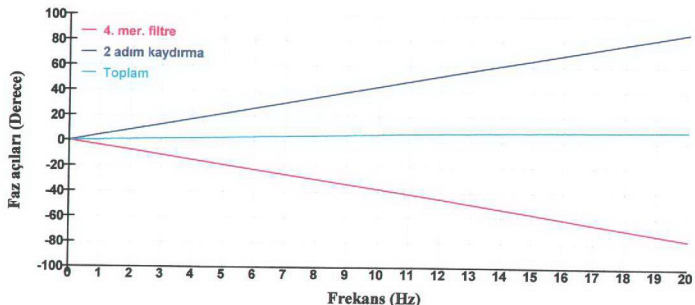
$$A(r) = 1 \quad (6.5)$$

faz açısı ise;

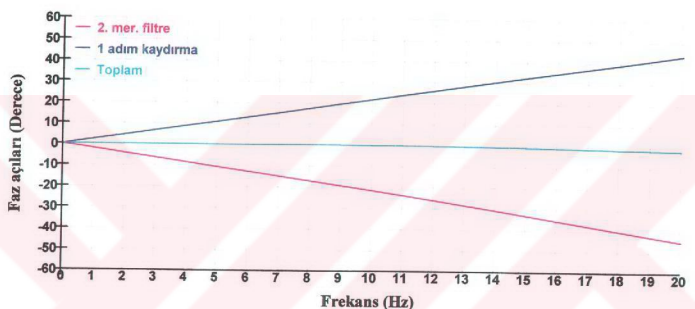
$$\Phi(r) = 2\pi \tilde{M}r \quad (6.6)$$

elde edilir.

4. mertebe analog anti-aliasing filtre verileri için  $\tilde{M}=2$ , 2.mertebe analog anti-aliasing filtre verileri için  $\tilde{M}=1$  alındığında verilerdeki fazdan kaynaklanan gecikmelerin önemsiz değerlere çekildiği görülür. (Şekil 6.5 ve Şekil 6.6'ya bakınız.)



Şekil 6.5 4. mertebe filtrin faz açısı düzeltmesi



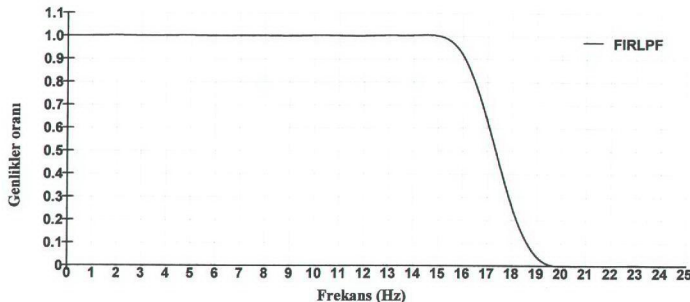
Şekil 6.6 2. mertebe filtrin faz açısı düzeltmesi

### 6.5.2. Sayısal Alçak Geçiren Filtreleme

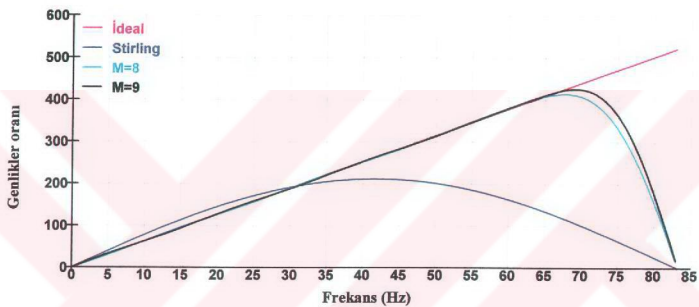
Sayısal alçak geçiren filtreler altbölüm 3.3'te anlatılmıştı. Bu filtreler, faz açılarını etkilemeden istenmeyen frekansların süzülmesinde rahatlıkla kullanılabilirler. Filtre kesim frekansı  $r_d = 0,11$  ( $f_c = 18,33$  Hz,  $f_s = 166,67$  Hz)  $M=60$  filtre uzunluğu  $N_f = 121$  olan Hamming pencereli nedensel olmayan bir filtrin konum ve basınç verilerinin yüksek frekanslarının yok edilmesi için tercih edilmiştir. Kullanılan filrenin genlikler oranı eğrisi Şekil 6.7'de gösterilmektedir. Bu filtreleme aynı zamanda desimasyon işlemi öncesi sayısal anti-aliasing filtreleme yerine de geçmektedir.

### 6.5.3. Sayısal Türev Alma

Önerilen çalışmada ihtiyaç duyulan hız verileri deney düzeneğinden ölçülmediği için, ayrıca basınçların da türevlerine ihtiyaç duyulduğu için, sayısal filtreleme yoluna gidilmiştir. Sayısal türev alma ile ilgili teorik ayrıntılar altbölüm 3.6'da irdelenmektedir.



Şekil 6.7 Sayısal filtre genlikler oranı

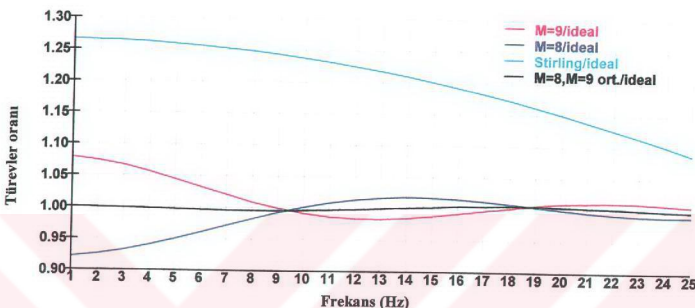


Şekil 6.8 Çeşitli sayısal türev alıcılarının genlikler oranları

Yapılan kapsamlı bir çalışma sonucunda  $x(k)-x(k-1)/T$  şeklinde bir hız türetmenin oldukça hatalı olduğu, hatta merkezi farkları kullanarak (6 adet filtré ağırlığı kullanan Stirling türev formülü) elde edilecek hız verilerinde dahi %30'a yaklaşan hatalar olduğu görülmüştür. Bu sebeple daha yüksek mertebeden FIR (Finite Impulse Response) filtreleme teknikleri kullanılmasına karar verilmiştir. Şekil 6.8'de ideal türev alıcı, Stirling formülünü kullanan türev alıcı, M=8 ve M=9 alınarak Hamming penceresi uygulanmış türev alıcıların genlikler oranı eğrileri, Şekil 6.9'da kullanılan sayısal yönteme ait genlikler oranının ideal türev alıcı genlikler oranına bölünmesiyle elde edilen eğriler gösterilmektedir. M=8 ve M=9 olan türev alıcıların hatalarının birbirini yok edici özellikle olmasından dolayı her iki türev alıcıdan geçirilen verilerin aritmetik ortalaması alınarak kullanılması tercih edilmiştir.

#### 6.5.4. Desimatör

5 kat hızlı örneklenen (sayısal anti-aliasing-alçak geçiren-filtreleme yapılmış) verilerden modelleme örnekleme frekansına uygun verileri elde etmek (zaman ekseni boyunca sırayla beş veriden birini alarak başka bir dosyaya kaydetmek) için kullanılmıştır. Bu aşamadan sonra veriler modelleme amaçlı olarak işlenmeye hazırlıdır.



Şekil 6.9 Türevler oranı (Sayısal türev alıcı genlikler oranı/ideal türev alıcı genlikler oranı)

#### 6.6. Basınç Modelleri

(4.41a) ve (4.41b) denklemlerindeki sabit değerlerin Şekil 6.1'de gösterilen giriş ve çıkış değerleri kullanılarak parametre tahminleri yapılmaktadır.  $P_1$  basınç modelinin girişleri  $\frac{u_1^*}{x + 0,029}$  ve  $\frac{P_1 \dot{x}}{x + 0,029}$ , çıkışı  $\dot{P}_1$ ;  $P_2$  basınç modelinin girişleri  $\frac{u_2^*}{0,545 - x}$  ve  $\frac{P_2 \dot{x}}{0,545 - x}$ , çıkışı  $\dot{P}_2$  olacak şekilde ve ölçeklendirilmiş (scaled) veri olarak dosyaları hazırlanarak Adaptech Midsys programı için hazır hale getirilmiştir. Midsys programıyla önce giriş-çıkış verilerindeki DC bileşenler ortadan kaldırılmakta, daha sonra yapının tahmini kısmında en küçük kareler yöntemi model mertebesi 1 olarak seçilmekte, parametreler kısmında genişletilmiş en küçük kareler (extended least squares) yöntemi azalan kazanç (decreasing gain) algoritması seçilerek Guidorzi'nın kanonik parametrizasyonuyla tanılama yapılmaktadır [27]. Tanılamadan sonra geçerlilik testi (beyazlık testi) uygulanmakta ve model ile deney grafikle kıyaslanmaktadır. Daha sonra parametrik modelden ayrık zamanlı durum-uzay gösterimine geçilmektedir. Ayrık zamanlı durum-uzay gösterimi, Matlab

programı ile sürekli zaman durum-uzay gösterimine dönüştürüllererek basınç modelleri Matlab Simulink'teki simülasyon modelinde kullanılır hale getirilmektedir. Deney düzeneğinde PRBS genliğinin 3 Volt, 4 Volt ve 5 Volt alındığı ikişer deney yapılarak toplam 6 deney sonucu elde edilen verilerin tanılama/modelleme sonuçları Tablo 6.1a'da  $P_1$  parametrik basınç modeli, Tablo 6.1b'de  $P_2$  parametrik basınç modeli, Tablo 6.2a'da ayrik zamanlı  $P_1$  durum-uzay modeli, Tablo 6.2b'de ayrik zamanlı  $P_2$  durum-uzay modeli verilmekte; Şekil 6.10a ve Şekil 6.10b'de ise verilerden bir tanesine ait  $P_1$  ve  $P_2$  basınç modeli deney verileriyle birlikte gösterilmektedir.

Tablo 6.1a  $P_1$  parametrik basınç modeli

Dosya adı	A0	A1	B1	B2	C0	C1	RN
3-1.bfn	1	-0,21862	0,73810	-0,19063	1	-0,30352	-0,11627
3-2.bfn	1	-0,24955	0,66785	-0,18422	1	-0,46384	-0,06347
4-1.bfn	1	-0,19059	1,02236	-0,14814	1	-0,38976	-0,10532
4-2.bfn	1	-0,18767	0,80403	-0,23589	1	-0,42890	-0,20111
5-1.bfn	1	-0,15696	0,93681	-0,23005	1	-0,20427	-0,09523
5-2.bfn	1	-0,13364	0,77787	-0,16487	1	-0,25817	-0,11811

Tablo 6.1b  $P_2$  parametrik basınç modeli

Dosya adı	A0	A1	B1	B2	C0	C1	RN
3-1.bfn	1	0,11073	0,60070	0,18418	1	-0,33510	-0,18406
3-2.bfn	1	0,14190	0,68740	0,21161	1	-0,29949	-0,17678
4-1.bfn	1	0,15450	1,16493	0,20466	1	-0,11790	-0,11430
4-2.bfn	1	0,17045	0,84618	0,24763	1	-0,23137	-0,06994
5-1.bfn	1	0,23534	1,00581	0,31764	1	-0,08608	-0,14243
5-2.bfn	1	0,21251	1,10724	0,17744	1	0,01189	-0,18470

Tablo 6.2a Ayrik zamanlı  $P_1$  basıncı durum-uzay gösterimi

Dosya adı	Katsayılar			Düzeltilmiş		Ayrik durum-uzay		
	$u_1^*$	$\frac{P_1 \dot{x}}{x + 0,029}$	$\dot{P}_1$	B1	B2	F	G1	G2
	x + 0,029							
3-1.bfn	50,073	7,933	60,945	0,89836	-1,46451	0,21862	0,89836	-1,46451
3-2.bfn	44,498	7,483	60,742	0,91165	-1,49538	0,24955	0,91165	-1,49538
4-1.bfn	113,755	18,322	88,954	0,79946	-0,71923	0,19059	0,79946	-0,71923
4-2.bfn	92,525	26,743	97,420	0,84657	-0,85931	0,18767	0,84657	-0,85931
5-1.bfn	126,144	26,187	105,916	0,78659	-0,93046	0,15696	0,78659	-0,93046
5-2.bfn	129,327	33,945	117,616	0,70743	-0,57126	0,13364	0,70743	-0,57126
						Ortalama	0,18951	0,82501
								-1,00669

Tablo 6.2b Ayrık zamanlı  $P_2$  basıncı durum-uzay gösterimi

Dosya adı	Katsayılar			Düzeltilmiş		Ayrık durum-uzay		
	$u_2^*$	$P_2 \dot{x}$	$\dot{P}_2$	B1	B2	F	G1	G2
	$0,545 - x$	$0,545 - x$						
3-1.bfn	48,233	7,997	87,948	1,09532	2,02554	-0,11073	1,09532	2,02554
3-2.bfn	50,693	8,914	78,432	1,06354	1,86190	-0,14190	1,06354	1,86190
4-1.bfn	124,124	19,383	100,035	0,93885	1,05624	-0,15450	0,93885	1,05624
4-2.bfn	85,458	20,091	104,663	1,03634	1,29002	-0,17045	1,03634	1,29002
5-1.bfn	192,828	52,980	128,633	0,67096	0,77122	-0,23534	0,67096	0,77122
5-2.bfn	172,222	27,697	127,164	0,81756	0,81467	-0,21251	0,81756	0,81467
				Ortalama	-0,17091	0,93709	1,30327	

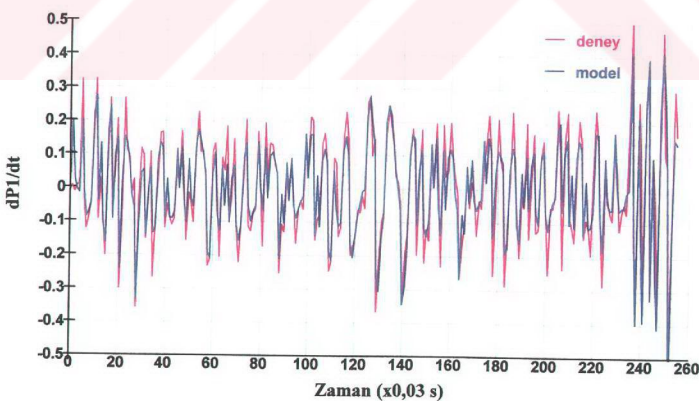
Basınç modelleri sürekli zaman gösterimiyle aşağıdaki şekilde gösterilebilir:

$$\begin{aligned}\dot{X}_{PI} &= A_{CI} X_{PI} + B_{CI} U_{PI} \\ y_{PI} &= C_{CI} X_{PI}\end{aligned}\quad (6.7a)$$

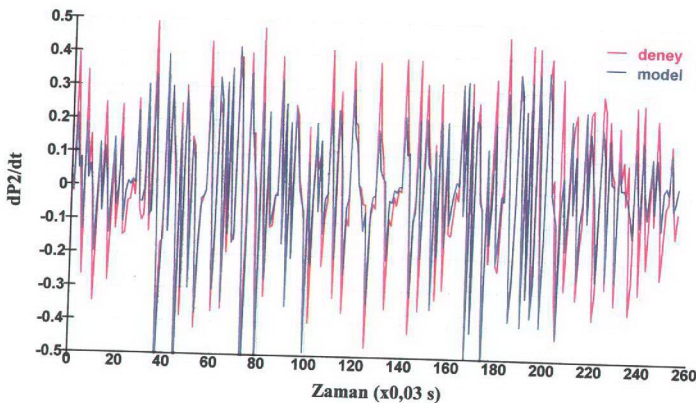
Burada  $A_{CI} = -55,4438$      $B_{CI} = [56,4371 \ -68,8654]$      $C_{CI} = 1$ ,

$$y_{PI} = X_{PI} = \dot{P}_1 \text{ ve } U_{PI} = \begin{bmatrix} \frac{u_1^*}{x + 0,029} \\ \frac{\dot{P}_1 \dot{x}}{x + 0,029} \end{bmatrix}$$

Yine;



Şekil 6.10a  $P_1$  basıncı deney ve model sonuçları (5-1.bfn dosyası için)



Şekil 6.10b  $P_2$  basıncı deney ve model sonuçları (5-1.bfn dosyası için)

$$\begin{aligned}\dot{X}_{P2} &= A_{C2} X_{P2} + B_{C2} U_{P2} \\ y_{P2} &= C_{C2} X_{P2}\end{aligned}\quad (6.7b)$$

Burada  $A_{C2} = -58,8873$      $B_{C2} = [47,1280 \ 65,5439]$      $C_{C2} = 1$ ,

$$y_{P2} = X_{P2} = \dot{P}_2 \text{ ve } U_{P2} = \begin{bmatrix} u_2^* \\ \frac{0,545 - x}{0,545 - x} \\ \frac{P_2 \dot{x}}{0,545 - x} \end{bmatrix} \text{ olarak verilmektedir.}$$

Üç farklı genlikteki PRBS sinyaliyle yapılan deneylere ait modelleme sonuçları incelendiğinde (Tablo 6.1a, Tablo 6.1b, Tablo 6.2a, Tablo 6.2b'ye bakınız.) her iki basınç modeli için tanılanan bütün parametre değerlerinin birbirine yakın seviyede olduğu, aynı parametre değeri için bir deneyden diğerine işaret değişimi olmadığı, ayrıca RN indislerinin de 0,15 pratik ölçütünden küçük veya bu değere yakınlığından dolayı artık kestirim hatalarının beyaz olduğu, Şekil 6.10a ve 6.10b'deki (5-1.bfn'ye ait) deney ve model sonuçlarının birbirile uyumlu olması gözönüne alındığında tanılanan parametre değerlerinin gerçek sistemi temsil ettiği sonucuna varılmaktadır.

## 6.7. Hız Modeli

(4.3) denklemindeki viskoz sürtünme katsayısı, kütle ve piston kesit alanı oranlarının bulunmasına yönelik olarak parametre tahmini yapılmaktadır. Hız modelinin girişi

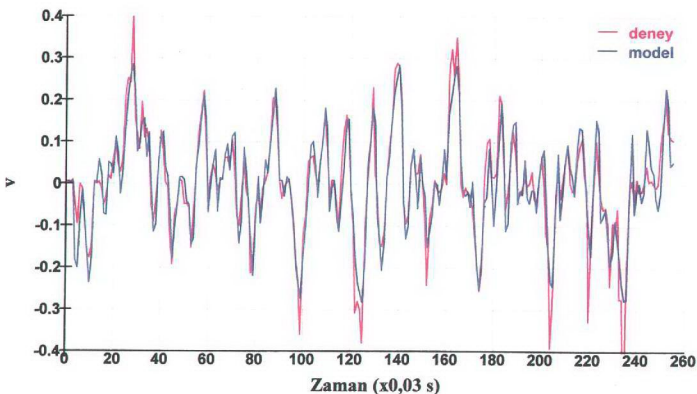
olarak kuru sürtünme etkileri ayıklanmış (pistona etkiyen net hareket ettirici) kuvvet, çıkış olarak ise piston hızı olacak şekilde ve ölçeklendirilmiş (scaled) olarak veri dosyaları hazırlanarak Adaptech Midsys programında kullanılır hale getirilmiştir. Midsys programıyla önce giriş-çıkış verilerindeki DC bileşenler ortadan kaldırılmakta, daha sonra model yapısının tahmini kısmında en küçük kareler yöntemi model mertebesi 1 olarak seçilmekte, parametreler kısmında genişletilmiş en küçük kareler yöntemi (ELS), azalan kazanç (decreasing gain) algoritması seçilerek Guidorzi'nin kanonik parametrizasyonuyla tanılama yapılmaktadır. Tanılamadan sonra geçerlilik testi (beyazlık testi) uygulanmakta ve model ile deney grafikle kıyaslanmaktadır. Daha sonra parametrik modelden ayrık zamanlı durum-uzay gösterimine geçilmektedir. Ayrık zamanlı durum-uzay gösteriminden Matlab programı ile sürekli zaman durum-uzay gösterimine geçilerek hız modeli Matlab Simulink'teki simülasyon modelinde kullanılacak hale getirilmektedir. Basınç modelinde kullanılan deneylerin aynısı hız modeli için de kullanılmaktadır. Tablo 6.3'te parametrik hız modeli, Tablo 6.4'te ayrık zamanlı hız modeli, Şekil 6.11'de ise verilerden bir tanesine ait hız modeli deney verileriyle birlikte gösterilmektedir.

Tablo 6.3 Parametrik hız modeli

Dosya adı	A0	A1	B1	C0	C1	RN
3-1.kfn	1	-0,46112	0,45965	1	-0,21585	0,07258
3-2.kfn	1	-0,40641	0,49210	1	-0,12432	0,02411
4-1.kfn	1	-0,43441	0,44362	1	-0,15096	-0,06114
4-2.kfn	1	-0,38297	0,36331	1	-0,25290	-0,11216
5-1.kfn	1	-0,39707	0,36488	1	-0,38760	0,08064
5-2.kfn	1	-0,38524	0,49016	1	-0,23233	0,09006

Tablo 6.4 Ayrık zamanlı hız modeli durum-uzay gösterimi

Dosya adı	Katsayılar		Düzeltilmiş B1	Ayrık durum-uzay	
	DP <sub>net</sub>	v		F	G
3-1.kfn	3,307	1,134	0,15762	0,46112	0,15762
3-2.kfn	3,452	1,160	0,16536	0,40641	0,16536
4-1.kfn	3,898	1,873	0,21316	0,43441	0,21316
4-2.kfn	3,883	2,667	0,24954	0,38297	0,24954
5-1.kfn	4,457	3,327	0,27237	0,39707	0,27237
5-2.kfn	4,786	2,168	0,22204	0,38524	0,22204
			Ortalama	0,41120	0,21335



Şekil 6.11 Hız deney ve model sonuçları (5-1.kfn dosyası için)

Hız modeli, sürekli zaman gösterimiyle aşağıdaki şekilde gösterilebilir:

$$\begin{aligned}\dot{X}_H &= A_C X_H + B_C U_H \\ y_H &= C_C X_H\end{aligned}\tag{6.8}$$

Burada  $A_C = -29,6225$   $B_C = 10,7336$   $C_C = 1$   $X_H = v = \dot{x}$  olarak verilmektedir.

(6.8) denklemi ile (4.3) denklemi karşılaştırıldığında; ((4.3)'teki  $\frac{-F_S}{M_T}$  terimi hız modelindeki verilerden kuru sürtünme etkileri çıkarıldığı için sıfır eşittir.)

$$A_C = -\frac{B}{M_T} \quad \text{ve} \quad B_C = \frac{A}{M_T} \quad \text{olduğu görüldür.}$$

32 mm çapındaki piston için kesit alanı bilinen değer olduğu için;

Sistemdeki toplam hareketli kütle  $M_T = B_C A = 7,590 \text{ kg}$ ,

Viskoz sürtünme katsayısı  $B = -A_C M_T = 224,842 \text{ kg/s}$  elde edilir.

Üç farklı genlikteki PRBS sinyaliyle yapılan deneylere ait hız modeli modelleme sonuçları incelendiğinde (Tablo 6.3 ve 6.4'e bakınız.) tanılanan parametre değerlerinin birbirine yakın, işaret değişimi olmayan nitelik taşıdığı, RN indislerinin tamamının 0,15 pratik değerinden küçük olması sebebiyle artık kestirim hatalarının beyaz olduğu, Şekil 6.11'deki (5-1.kfn 'ye ait) deney ve model sonuçlarının son derece uyumlu olması gözönüne alındığında tanılanan hız modeli parametrelerinin gerçek sistemi temsil ettiği sonucuna varılmaktadır.

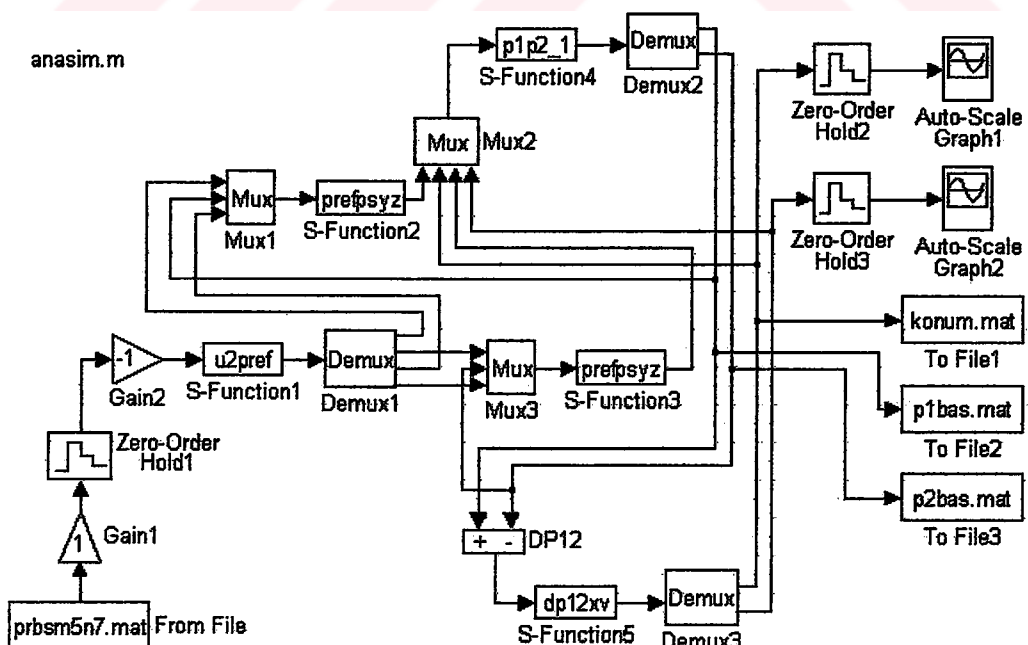
## 7. PNÖMATİK SİSTEMİN SİMÜLASYONU

### 7.1. Giriş

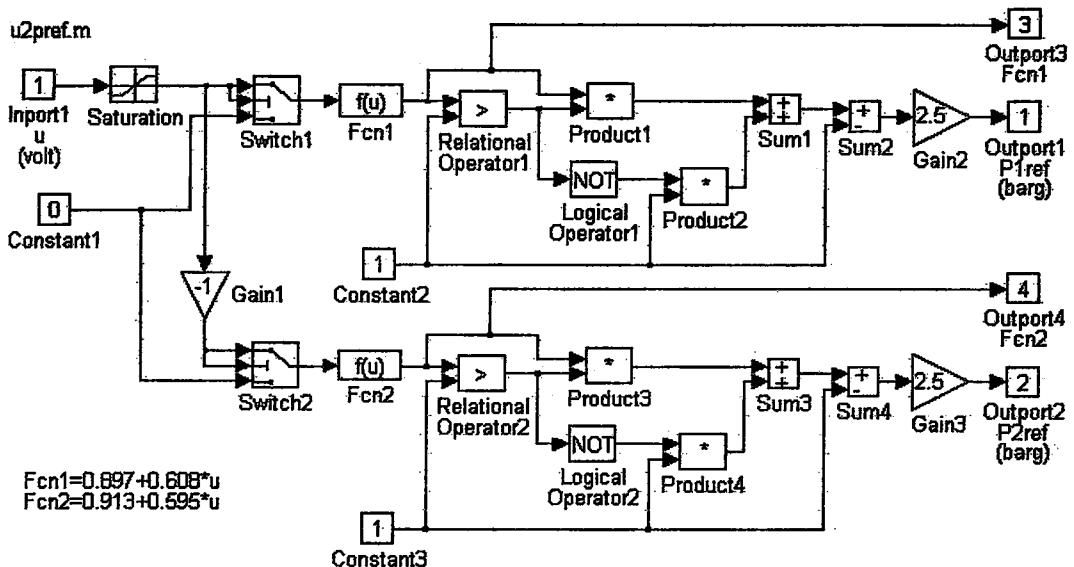
4. bölümde matematiksel modeli verilen, 6. bölümde deneySEL olarak tanımlanan ve modellenen pnömatik sistemin bu bölümde simülasyon modeli oluşturulmaktadır. Bu amaçla Matlab Simulink programı kullanılmaktadır [28], [29], [30].

### 7.2. Pnömatik Simülasyon Modeli

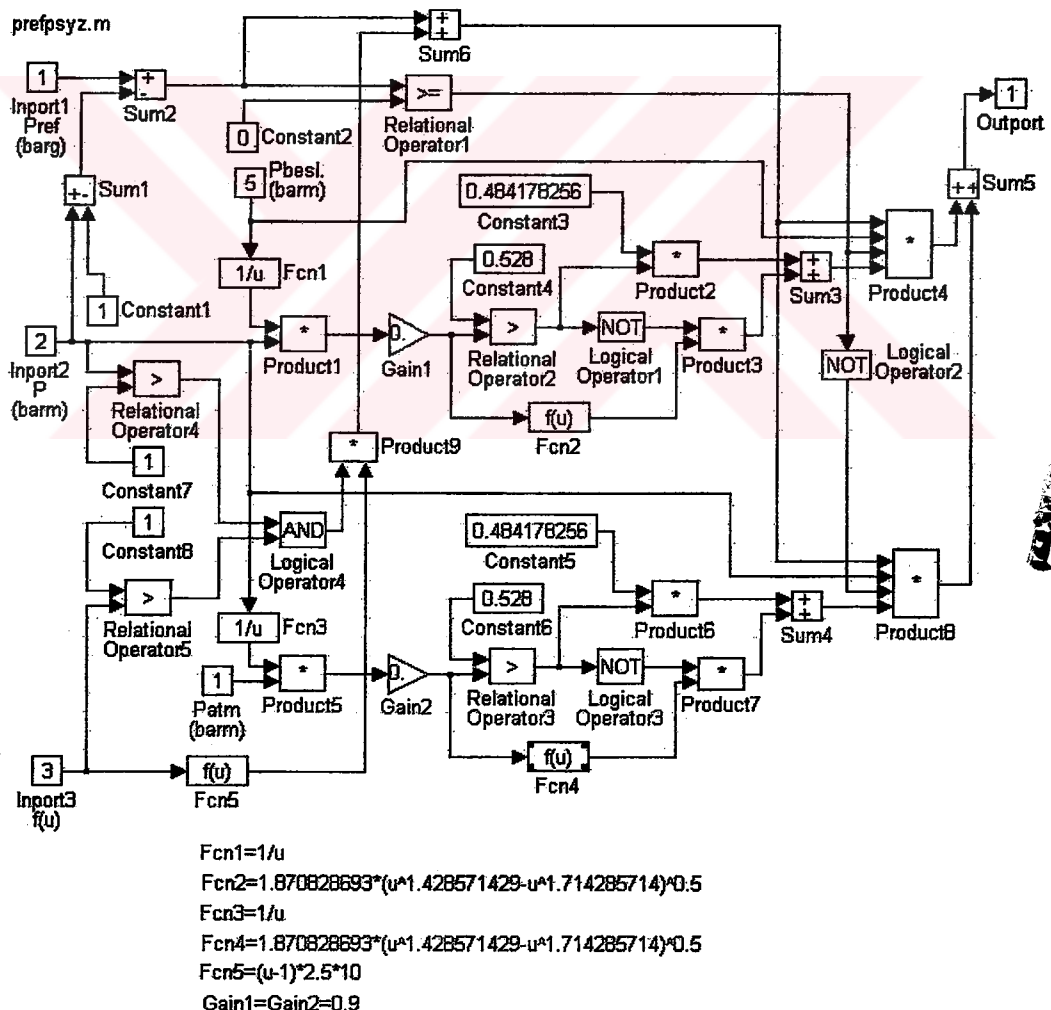
Simülasyon modeli, birisi ana model dosyası, diğerleri ana modelden çağrırlan dört adet s-function dosyası olmak üzere toplam beş dosyadan oluşmaktadır: "anasim.m" dosyası simülasyonun omurgasını oluşturan dosya olup; PRBS sinyalinin dosyadan okutulması, düzenlenmesi, s-function'ların çağrılmaması, sonuçların dosyalara yazdırılması vs. işlemlerini gerçekleştirmektedir. "anasim.m" dosyası ayrıntıları için Şekil 7.1'e bakınız.



Şekil 7.1 "anasim.m" dosyası



Şekil 7.2 “u2pref.m” dosyası

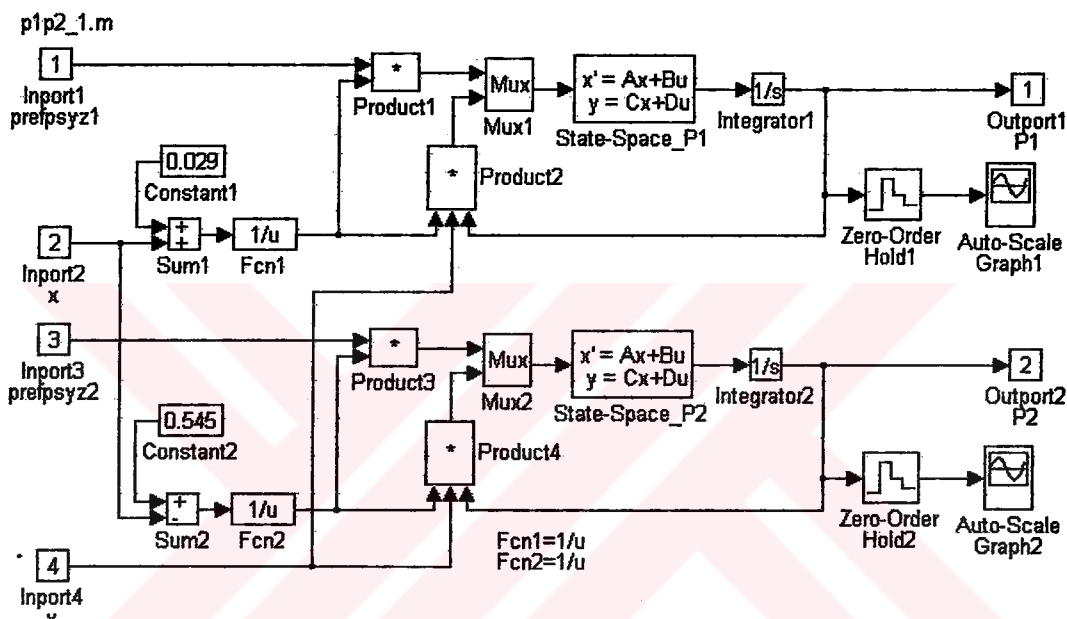


Şekil 7.3 “prefpsyz.m” dosyası

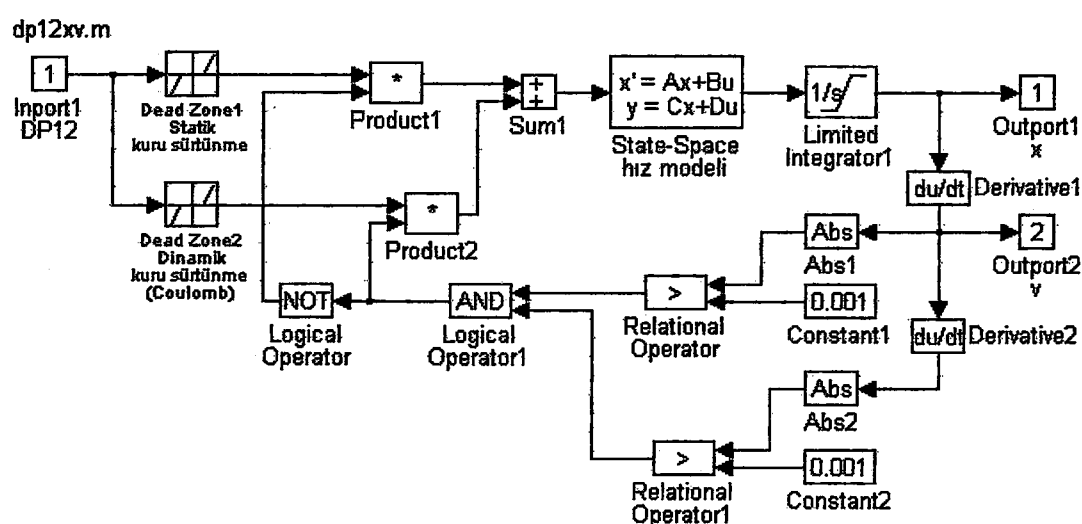
“u2pref.m” dosyası, sisteme gönderilen u (Volt) giriş sinyalinin doyma kontrolü, kıyılması ve her valf için basınç referanslarının üretilmesini sağlamakta olup; ayrıntıları Şekil 7.2’de verilmektedir.

“prefpsyz.m” dosyası ile valflerin (4.30) ve (4.42a), (4.42b) denklemlerine uygun olarak çalışmaları simülle edilmekte olup; ayrıntıları Şekil 7.3’te gösterilmektedir.

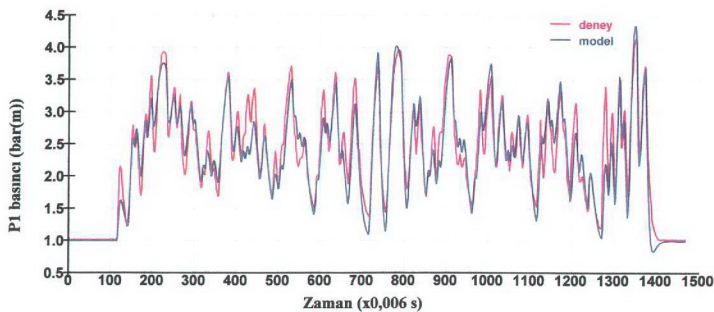
“p1p2\_1.m” dosyasında ise “anasim.m” dosyasından gelen verilerden  $P_1$  ve  $P_2$  basınçları hesaplanmaktadır. Ayrıntılar için Şekil 7.4’e bakınız.



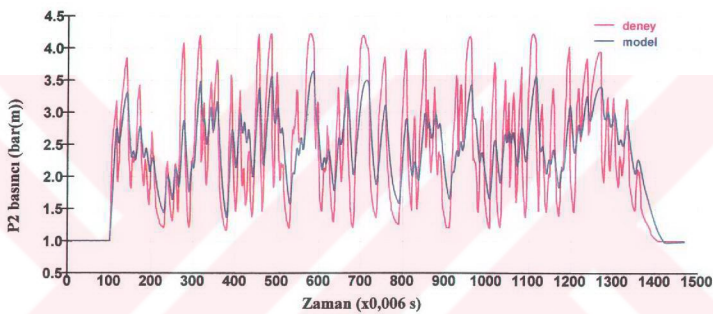
Şekil 7.4 “p1p2\_1.m” dosyası



Şekil 7.5 “dp12xv.m” dosyası



Şekil 7.6a  $P_1$  basıncı; deney ve simülasyon modeli sonuçları



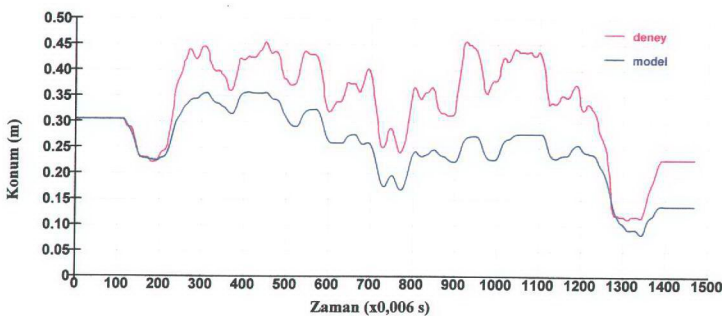
Şekil 7.6b  $P_2$  basıncı; deney ve simülasyon modeli sonuçları

`dp12xv.m` dosyası, hesaplanan basınçlardan, kuru sürtünmeleri de gözönüne alarak piston hız ve konumunun elde edilmesi içindir. Burada limited integrator kullanılarak –gerçek sistemde olduğu gibi– pistonun hareket aralığı sınırlanmıştır. Ayrintılar Şekil 7.5'te verilmektedir.

Deneyde kullanılan giriş sinyallerinden biri, simülasyon modeline aynen (araba başlangıç konumu dahil) uygulanarak, konum ve basınç değerleri hesaplanmıştır.

Deney ve simülasyon sonuçları  $P_1$  basıncı için Şekil 7.6a'da,  $P_2$  basıncı için Şekil 7.6b'de, konum için Şekil 7.7'de gösterilmektedir.

Bu bölümde yapılan simülasyon sonuçları incelendiğinde  $P_1$  basıncının deney ve model sonuçlarının oldukça uyumlu olmasına karşın,  $P_2$  basıncının simülasyon modelinin deney sonuçlarını  $P_1$  kadar iyi izleyemediği, yine piston konumuna ait



Şekil 7.7 Konum; deney ve simülasyon modeli sonuçları

deney ve model sonuçlarının benzer karakterler taşımlarına rağmen birbirile çok yakın olmadığı görülmektedir. Bu farklılaşmalarla yola açabilecek muhtemel sebepler aşağıdadır:

5 Volt genlikli bir deneye ait başlangıç koşulları ve PRBS sinyali 6 deneyde tanılanan parametrelerin ortalamalarının sürekli zamanlı modellere dönüştürülmesiyle simülasyon modelinde kullanılmakta ve sözkonusu deneyle kıyaslanmaktadır.

Tanılanan modeller türev modelleri olup, simülasyon programındaki alınan sonuçlar integre edilmiş değerlerdir. İntegrasyondan dolayı model ile gerçek sistem parametreleri arasındaki küçük farklar zamanla toplanarak deneyle model sonuçları arasındaki farkın açılmasına yol açmaktadır.

Sisteme üçgen dalga gönderilerek elde edilen kuru sürtünme katsayıları ortalama değerler olup, silindir üzerinde bir noktadan diğerine bir miktar farklılık gösterebilmektedir.

Simülasyonda her üç model birbirile etkileşimli olarak çalışıkları için birindeki farklılaşma diğer modellere girişleri de etkilemektedir.

Ayrik zamanlı modellerden sürekli zamanlı modellere dönüşüm yapılırken ayrik zamanlı model parametreleriyle eşdeğeri sürekli zamanlı model parametreleri arasında bir miktar farklılaşma olması mümkündür.

## **8. SONUÇLAR VE ÖNERİLER**

Pnömatik bir sistemin deneysel olarak tanılanarak modellenmesi ve simülasyonunu konu alan bu çalışmada gerçek bir sistemden veri toplanması, elde edilen verilerin işlenerek modelleme için hazırlanması, hazırlanan verilerden sistemin teorik/matematik modellerinden yola çıkılarak deneysel modellerin elde edilmesi, son olarak bir simülasyon ile karşılaştırılması ayrıntılı olarak irdelenmektedir.

Verilerin toplanması sırasında; sistemi temsil edecek verilerin kaydedilmesinin, deneysel modellemenin başarısında ve elde edilen modelin gerçeği ne ölçüde yansığı konusunda büyük önemi olduğu için; örnekleme frekansının seçimi, analog veya sayısal ortamda katlanmış (aliased) veriden sakinme yöntemleri, alçak geçiren filtreleme, türev alma ve örnekleme frekansını değiştirme gibi sayısal veri işleme teknikleri hem incelenmiş hem de sistem üzerinde uygulaması yapılmıştır.

Daha önce yapılmış değişik çalışmalarдан yararlanılarak; sisteme ait valf dinamiği, basınç değişimleri, piston dinamiği, viskoz ve kuru sürtünme etkilerinin matematik modelleri incelenerek deneysel modelleme sonucunda mümkün olduğunca lineer, farklı çalışma koşullarında parametre değişimleri azaltılmış/yok edilmiş dinamik modellerin elde edilmesi hedeflenmiştir. Bu doğrultuda; örneğin, basınç modellerindeki giriş verilerinin piston konumuna bölünmesi, böylece modelin piston konumundaki değişimlere duyarsızlaştırılması, yine; hız modelinde, kuru sürtünme etkilerinin yokedildiği giriş verisi kullanılarak elde edilen modeldeki kütle, viskoz sürtünme katsayısı değerlerinin gerçekçi olmasına ugraşılmıştır.

Modellemede kullanılmak üzere oransal valflerin akım-basınç ilişkileri ayrı bir deneyle ölçüldükten sonra doğrusal regresyon yapılarak birer fonksiyona dönüştürülmüştür. Böylece deney sistemindeki oransal elektropnömatik servovalflerin uygulanan akıma cevap olarak sağlamaya çalışıkları (referans) basınç değerlerinin fonksiyonu elde edilmiştir. Benzer şekilde; sisteme uygulanan üçgen dalga giriş sinyali ile arabanın durağan halden harekete geçtiği (yüzeyden koptuğu) ve hareket halinden durağan hale geçtiği (yüzeye yapıştığı) anlardaki silindir

odacıklarındaki basınçlar kaydedilerek, sisteme ait statik kuru sürtünme katsayısının ve dinamik kuru sürtünme katsayısının ortalama değerleri pistonun her iki yöndeki hareketi için ayrı ayrı hesaplanarak hız modelinde gözönüne alınmaktadır.

Gerçekçi bir model elde etmek için; sisteme ait matematiksel denklemler de gözönünde bulundurularak basit bir model yerine üç ayrı lineer birinci mertebe modelin birleşmesinden oluşan ve üç modelin birbirine olan etkilerini geri beslemelerle dikkate alan karmaşık bir model tesis edilmiştir.

Bu üç dinamik modelden ikisi pistonun her iki tarafındaki odacık basınçlarının dinamiğini ifade eden basınç modelleridir. Bu modeller; iki girişli tek çıkışlı birinci mertebeden lineer modellerdir. Girişlerden birisi -pistonun konumunu dikkate alarak- oransal valfin sisteme doldurduğu veya sistemden boşalttığı hava debisini, diğer ise -yine pistonun konumunu da dikkate alarak- piston hızının basınçlara etkisini modellemek için kullanılmaktadır. Piston hızının basınçlara etkisi, valflerin etkisiyle benzeşiktir. Bu bir örnekle açıklanmak istenirse; silindirin bir odacığını dolduran/boşaltan valf ile odacığın hacmini azaltan yada artıran yönde hareket halindeki bir piston, kısa bir zaman dilimi için, bir havuzu dolduran veya boşaltan iki bağımsız musluk gibi düşünülebilir. Burada havuzun su seviyesi odacıkta hava basıncına karşılık gelmektedir. Basınç modelinin girişleri sıfır değer aldığından odacık basıncının değişmemesi diğer bir deyişle basınç değişiminin sıfır olması gereklidir. (4.26) ve (4.31) denklemleri de teorik olarak bu yaklaşımı doğrulamaktadır. Bu yüzden basınç modeli çıkışı olarak basıncın türevi alınmıştır.

Piston dinamiğini ifade etmek için lineer birinci mertebe hız modeli kullanılmaktadır. Bu model tek giriş-tek çıkışlı olup; giriş olarak kuru sürtünme etkileri çıkarılmış ve her iki odacıkta basıncın farkı olan net hareket ettirici kuvvet, çıkış olarak ise piston hızı kullanılmaktadır. Hidrolik sistemlerdeki silindirler mekanik integratör olarak kabul edilirler. Pnömatikte de silindir odacıklarına dolan havanın kütlesel debisi ile piston konumu arasında birebir olmasa da integratöre benzer bir etki olduğu düşünülebilir. Hem bu açıdan hemde (4.3) denklemi dikkate alındığında net kuvvet ile piston hızı arasındaki ilişkiyi veren bir model aramak yerine net kuvvet ile piston hızı arasında bir model bulup konumu sonradan integre etmek daha mantıklı olmaktadır. Çünkü; tanılanacak model sıfır değerindeki girişe sıfır değerinde çıkış veren dinamik bir model olacağından hız modeli kullanmak daha

uygun olmaktadır. Tanılanan modellerin çıkışı basınç türevi veya piston hızı gibi türev değerleridir.

Tanılama amacıyla sisteme frekans içeriği zengin olan PRBS sinyali üç farklı genlikte ikişer defa uygulanmıştır. Yapılan altı deneye ait modelleme sonuçlarında tanılanan  $P_1$ ,  $P_2$  ve hız ayrik zamanlı parametrik model katsayılarının birbirine yakınlığı ve beyazlık testi sonuçları makul seviyelerdedir. Bu ayrik zamanlı parametrik modellerin, ayrik zamanlı durum-uzay modellerine dönüştürülmesiyle bulunan parametrelerin ortalaması, simülasyon için sürekli zamanlı durum-uzay modellerinin elde edilmesinde kullanılmaktadır.

Deneysel modellemenin tasarımları matematiksel modeller de gözönüne alınarak yapıldığı için, tanılanan parametrelerin matematiksel modelde karşılıkları, fiziksel anımları vardır. Dolayısıyla sisteme ait statik kuru sürtünme katsayısı, dinamik kuru sürtünme katsayısı, viskoz sürtünme katsayısı, hareketli kütle, valfe ait katsayılar gibi birçok parametre tanılanabilir. Dinamik kuru sürtünme katsayısı, viskoz sürtünme katsayısı gibi pnömatik devre parçaları üreten firmalar tarafından dahi bilinmemeyen, kullanıcıya fabrika çıkış değerleri verilemeyen büyüklükler -her ne kadar bu değerler zamanla aşınmaya, ortamın kirliliğine vs. bağlı olarak değişse de- tanılanabilirler. Pnömatik sistemlerin tasarımında bu değerlerin yaklaşık kabulleri yerine gerçek değerlerinin kullanılmasının başarılı bir tasarıma katkısı olacaktır. Özellikle aşırı sürtünmeli silindirlerde kuru sürtünmenin etkisi eklenerek üretilen kontrol sinyali sıfır civarındaki ölü bölgenin (cross-over distortion) küçülmesine, konum hassasiyetinin iyileşmesine katkıda bulunabilir.

Bir diğer önemli nokta da, odacıklardaki basınçlar üzerinde piston hızının da etkisi bulunduğu için, tanılanan modelden yola çıkararak, valfler için üretilen kontrol sinyaline hız tefafisi (velocity compensation) eklenebilir. Böylelikle hızdan kaynaklanan basınç düşmeleri veya artışları önlenebilir. Bu, özellikle yörüngeli kontrol uygulamalarında izleme hassasiyetini artıracaktır.

Gerek gerçek sistem, gerekse tanılama modeli -lineer modeller içermesine rağmen nonlineer özelliktedir. Tanılama modelinden elde edilen gerçek değerleri kullanarak, uygulandığında kapalı çevrimli sistemde ayrılma (decoupling) ve lineerleşme sağlayan bir nonlineer kontrol algoritması geliştirilebilir.

Malzeme yükleme-boşaltma sistemlerinde kütle değişikliğinin algılanması sağlanabilir.

Tanılanan modelin fiziki koşulları örneğin kütlesi artırılarak/azaltılarak, viskoz sürtünme katsayısı değiştirilerek, valf parametreleri veya silindir stroku farklı değerlere atanarak sistemde yapılması düşünülen değişikliklerin son karar öncesi simülasyonu yapılarak maliyetsiz bir şekilde performansı denenebilir.

Sistemde farklı zamanlarda yapılan tanımlama sonuçları karşılaştırılarak zamanla oluşan parametre değişimleri incelenebilir. Arızaların önceden tahmin edilmesi veya bakım programlarının daha gerçekçi sürelerle hazırlanması sağlanabilir.

## KAYNAKLAR

- [1] Koç, İ.M., 1998. Hassas ve katı pnömatik konum kontrolu, Yüksek Lisans Tezi, İ.T.Ü. Fen Bilimleri Enstitüsü, İstanbul.
- [2] Cihan, S., 1999. Pnömatik konum kontrolu, Yüksek Lisans Tezi, İ.T.Ü. Fen Bilimleri Enstitüsü, İstanbul.
- [3] Gamble, J.B., Vaughan, N.D., 1996. Comparison of sliding mode control with state feedback and PID control applied to a proportional solenoid valve, *Transactions of the ASME, Journal of Dynamic Systems, Measurement, and Control*, **118**, 434-438.
- [4] Lin, X., Spettel, F., Scavarda, S., 1996. Modelling and test of an electropneumatic servovalve controlled long rodless actuator, *Transactions of the ASME, Journal of Dynamic Systems, Measurement, and Control*, **118**, 457-462.
- [5] Ye, N., Scavarda, S., Jutard, A. 1992. Models of a pneumatic PWM solenoid valve for engineering applications, *Transactions of the ASME, Journal of Dynamic Systems, Measurement, and Control*, **114**, 680-688.
- [6] Deniz, U., 2001. Pnömatik kuvvet kontrolü, Bitirme Çalışması, İ.T.Ü. Makina Fakültesi, İstanbul.
- [7] Lai, J.Y., Menq, C.H., Singh, R. 1990. Accurate position control of a pneumatic actuator, *Transactions of the ASME, Journal of Dynamic Systems, Measurement, and Control*, **112**, 734-738.
- [8] Wang, Y.T., Singh, R., 1986. Pneumatic chamber nonlinearities, *Transactions of the ASME, Journal of Applied Mechanics*, **53**, 956-958.
- [9] Pandian, S.R., Hayakawa, Y., Kanazawa, Y., Kamayama, Y., Kawamura, S., 1997. Practical design of a sliding mode controller for pneumatic actuators, *Transactions of the ASME, Journal of Dynamic Systems, Measurement, and Control*, **119**, 666-674.
- [10] SMC, 1997. Magnetically coupled rodless cylinder with high precision guide, CY1H Series, SMC Corporation, Tokyo.
- [11] SMC, 1997. VEP (3 port) electropneumatic proportional valve catalog, SMC Corporation, Tokyo.

- [12] **Sony Magnescale Systems**, 1983. Scale unit general catalog, Sony Magnescale Inc., Tokyo.
- [13] **Sony**, 1988. Dedector MD20-1G5BR instruction manual, Sony Magnescale Inc., Tokyo.
- [14] **SMC**, 1994. Pressure sensor PSE 510 handling manual, SMC Corporation, Tokyo.
- [15] **Advantech**, 1990. Pc-Labcard user's manual, Advantech Co. Ltd., Taiwan.
- [16] **NSC**, 1987. Linear databook 2, National Semiconductor Corporation, Santa Clara.
- [17] **NSC**, 1987. Linear applications databook, National Semiconductor Corporation, Santa Clara.
- [18] **Antoniou, A.**, 1993. Digital filters, analysis, design and applications, Mc Graw Hill, Newyork.
- [19] **Ziemer, R.E., Tranter, W.H., Fannin, D.R.**, 1993. Signals and systems: continuous and discrete, Macmillan, Newyork.
- [20] **Özdaş, M.N., Dinibütün, A.T., Kuzucu, A.**, 1988. Otomatik kontrol, İ.T.Ü. Matbaası, Gümüşsuyu.
- [21] **Eğriçan, N.A., Atılgan, H.**, 1985. Çözümlü termodinamik problemleri, Emin Ofset, İstanbul.
- [22] **Özdemir, H.İ.**, 1981. İlaveli genel anorganik ve teknik kimya, Matbaa Teknisyenleri Basımevi, İstanbul.
- [23] **Adaptech**, 1996. Winpim system identification user's guide version 1.1, Adaptech, Saint Martin.
- [24] **Adaptech**, 1996. Wintrac data acquision and real-time control user's guide version 1, Adaptech, Saint Martin.
- [25] **Landau, I.D.**, 1988. System identification and control design using PIM+software, Prentice Hall, Englewood Cliffs, New Jersey.
- [26] **Isermann, R.**, 1981. Digital control systems, Springer-Verlag Berlin, Newyork.
- [27] **Adaptech**, 1996. Midsys identification software for multi-inputs/multi-outputs systems user's guide version 2, Adaptech, Saint Martin.
- [28] **Mościński, J., Ogonowski, Z.**, 1995. Advanced control with Matlab&Simulink, The University Press, Cambridge.

- [29] **Shahian, B., Hassul, M.**, 1993. Control system design using Matlab, Prentice hall Englewood Cliffs, New Jersey.
- [30] **Mathworks**, 1994. Simulink dynamic system simulation software release notes version 1.3, The Mathworks Inc. Massachusetts.



REJECTED NO REVIEWS MADE  
BY TUTOR

## **ÖZGEÇMİŞ**

Ahmet ZORLU 1968 yılında Tokat'ta doğdu. İlk, orta ve lise eğitimini Tokat'ta tamamladı. 1989 yılında İTÜ Gemi İnşaatı ve Deniz Bilimleri Fakültesi Gemi İnşaatı Bölümü'nden, 1992 yılında İTÜ Fen Bilimleri Enstitüsü Makina Anabilim Dalı Robotik Programı'ndan mezun oldu. Aynı yıl İTÜ Fen Bilimleri Enstitüsü Robotik Programı'nda doktora programına başladı. Türkiye Gemi Sanayii A.Ş. Pendik Tersanesi Dizayn Şubesi'nde 1993-1998 yılları arasında dizayn mühendisi, 1998-1999 yılları arasında ise Tekne Donatım Büro Şefi olarak çalıştı.

